

# UNIVERSIDADE FEDERAL DA PARAÍBA

# PROGRAMA DE PÓS-GRADUAÇÃO EM AGRONOMIA

# DISSERTAÇÃO

FISIOLOGIA, METABOLISMO ANTIOXIDANTE E CONSERVAÇÃO PÓS-COLHEITA DE MAMÃO 'SUNRISE SOLO' SOB COMBINAÇÕES DE SOLVENTES NATURAIS EUTETICOS PROFUNDOS COM RECOBRIMENTOS DE FÉCULA DE MANDIOCA

ALEX SANDRO BEZERRA DE SOUSA



# UNIVERSIDADE FEDERAL DA PARAÍBA CENTRO DE CIÊNCIAS AGRÁRIAS PROGRAMA DE PÓS-GRADUAÇÃO EM AGRONOMIA



# FISIOLOGIA, METABOLISMO ANTIOXIDANTE E CONSERVAÇÃO PÓS-COLHEITA DE MAMÃO 'SUNRISE SOLO' SOB COMBINAÇÕES DE SOLVENTES NATURAIS EUTETICOS PROFUNDOS COM RECOBRIMENTOS DE FÉCULA DE MANDIOCA

## ALEX SANDRO BEZERRA DE SOUSA

Sob a orientação da professora

SILVANDA DE MELO SILVA

Dissertação apresentada ao Programa de Pós-Graduação em Agronomia da Universidade Federal da Paraíba como exigência para obtenção do título de **Mestre em Agronomia**, área de concentração Agricultura Tropical

Areia-PB

Fevereiro de 2018

Ficha Catalográfica Elaborada na Seção de Processos Técnicos da Biblioteca Setorial do CCA, UFPB, Campus II, Areia – PB.

## S725f Sousa, Alex Sandro Bezerra de.

Fisiologia, metabolismo antioxidante e conservação pós-colheita de mamão 'sunrise solo' sob combinações de solventes naturais euteticos profundos com recobrimentos de fécula de mandioca / Alex Sandro Bezerra de Sousa. - Areia: UFPB/CCA, 2018.

xiii, 83 f.: il.

Dissertação (Mestrado em Agronomia) - Centro de Ciências Agrárias. Universidade Federal da Paraíba, Areia, 2018.

Bibliografia.

Orientadora: Silvanda de Melo Silva.

1. Mamão 'sunrise solo' – Metabolismo antioxidante 2. Mamão – Qualidade 3. Carica papaya – Conservação pós-colheita I. Silva, Silvanda de Melo (Orientadora) II. Título.

UFPB/CCA CDU: 634.651(043.3)

# UNIVERSIDADE FEDERAL DA PARAÍBA CENTRO DE CIÊNCIAS AGRÁRIAS PROGRAMA DE PÓS-GRADUAÇÃO EM AGRONOMIA

# CERTIFICADO DE APROVAÇÃO

TÍTULO: FISIOLOGIA, METABOLISMO ANTIOXIDANTE E CONSERVAÇÃO PÓS-COLHEITA DE MAMÃO 'SUNRISE SOLO' SOB COMBINAÇÕES DE SOLVENTES NATURAIS EUTETICOS PROFUNDOS COM RECOBRIMENTOS DE FÉCULA DE MANDIOCA

AUTOR: ALEX SANDRO BEZERRA DE SOUSA

Aprovado como parte das exigências para a obtenção de título de Mestre em agronomia (Agricultura Tropical) pela comissão organizadora:

Profa. Silvanda de Melo Silva, PhD
Orientadora
PPGA/CCA/UFPB

Profa. Dra. Adriana Ferreira dos Santos Examinadora CCTA/UFCG

Profa. Dra. Rejane Maria Nunes Mendonça

Examinadora

PPGA/CCA/UFPB

Profa. Dra. Dayse das Neves Moreira Examinadora

DQF/CCA/UFPB

Data da realização: 28 de fevereiro de 2018

Presidente da Comissão Examinadora Silvanda de Melo Silva, PhD

Orientadora

# Dedico...

Aos meus pais, **Adão** e **Donaria**, pelo carinho e incentivo incondicional, por serem os meus heróis e exemplos de honestidade e dignidade, sendo peças fundamentais na minha formação pessoal e profissional.

Aos meus irmãos, **Damião Alex** (Lelé), **José Maurilio** (Will) e **Maria Aparecida** (Narinha) por compartilharem comigo o sonho da formação acadêmica e por estarem ao meu lado durante todas as batalhas desta jornada.

Aos meus avós Maternos, **Otávio** e **Maria do Socorro (In memorian)** e paternos, **João (In memorian)** e **Verônica (In memorian)** pelas lições de vida e pelo apoio sempre.

# Agradeço...

A Deus, pelo dom da vida e por guiá-la por um caminho cheio de desafios e conquistas

Ao Programa de Pós-Graduação em Agronomia do CCA da UFPB pela oportunidade de realização do curso

A professora Silvanda de Melo Silva, pelo exemplo de profissionalismo, dedicação científica e pela confiança, incentivo e orientação

Aos avaliadores deste trabalho, Dra. Adriana Ferreira dos Santos, Dra. Dayse das Neves Moreira, Dra. Rejane Maria Nunes Mendonça, pelas contribuições

Aos meus amigos Assys, Bruno, Cristiany, Eduardo, Expedito, Fernando, George, Giselda, Gracinha, Hiago, Jardel, Jardel Melo, Kayonara, Luana, Luciana, Mateus, Marco Aurélio, Natália, Rosana, Raylson, Ricardo, Robério, Thiane, Tatiane, Vanda, Vanessa e Wesley pela amizade, apoio e incentivo sempre

Com carinho especial a Renato Pereira e a Mariany pela amizade, incentivo e companheirismo durante as fases iniciais do desenvolvimento deste trabalho.

Ao casal Dantas (Ana e Renato) pelo exemplo de honestidade, profissionalismo e dedicação acadêmica

A equipe do Laboratório de Biologia e Tecnologia Pós-Colheita, pela ajuda na realização das análises e pela relevante contribuição na minha formação profissional e pessoal. Tenho muito orgulho de fazer parte desse grupo de pesquisa. Em especial a Dona Rozani pelo carinho e pelos sábios conselhos de vida.

A todos que de alguma forma contribuíram para a realização deste trabalho. Muito Obrigado!

SOUSA, A. S. B. Fisiologia, metabolismo antioxidante e conservação pós-colheita de mamão 'Sunrise Solo' sob combinações de solventes naturais euteticos profundos com recobrimentos de fécula de mandioca. Areia, 2018. Dissertação (Mestrado em Agronomia). Centro de Ciências Agrárias, Universidade Federal da Paraíba. Orientador: Prof. Ph.D. Silvanda de Melo Silva.

#### **RESUMO**

Os recobrimentos biodegradáveis consistem numa tecnologia sustentável e de baixo custo, a exemplo daqueles a base de fécula de mandioca. No entanto, esses precisam ser incorporados de tecnologias que os tornem eficientes na conservação pós-colheita de frutos, mas sendo estáveis e inócuos aos seres humanos. Neste sentido, os solventes naturais euteticos profundos (NADES) são elaborados a partir de componentes naturais não tóxicos e que apresentam grande potencial na conservação pós-colheita de frutos, a exemplo do ácido oxálico. Além disso, os NADES consistem em tecnologia inovadora por apresentam propriedades plastificante, podendo substituir o glicerol, plastificante mais usado em recobrimentos a base de polímeros naturais. O mamão é um fruto muito consumido pela pela presença de compostos antioxidantes, mas é altamente perecível, apresentando rápida depreciação da qualidade na pós-colheita. A compreesão dos processos fisiológicos e da dinâmica no metabolismo antioxidante pode gerar bases para o desenvolvimento de tecnologias sustentáveis para ampliar a vida útil pós-colheita e manter a estabilidade dos agentes antioxidantes. Neste sentido, esta pesquisa foi dividida em dois experimentos: O Experimento I avaliou a fisiologia e conservação pós-colheita de mamão 'Sunrise Solo' sob associação de NADES de cloreto de colina e ácido oxálico com recobrimentos a base de fécula de mandioca (SNADES) durante o armazenamento na condição ambiente. O Experimento II teve o objetivo de avaliar o efeito da aplicação de SNADES nos compostos bioativos e metabolismo antioxidante de mamão 'Sunrise Solo' durante o armazenamento em condição ambiente. Os mamões foram colhidos e transportados para o LBTPC/CCA/UFPB, onde foram lavados, sanificados e submetidos aos recobrimentos. O experimento foi realizado em DIC, fatorial 4x 6, sendo 4 recobrimentos (SNADES, fécula de mandioca associada com NADES mais óleo essencial de laranja doce (NADES+O), fécula de mandioca associada com glicerol (S+Gly) e frutos sem recobrimentos (C)) e 6 períodos de avaliação (0, 2, 4, 6 e 8 dias) em condição ambiente. Os mamões recobertos com SNADES apresentaram redução na taxa respiratória, com retardo de 3 dias na ascendência climatérica quando comparados aos recobertos com SNADES+O e SGly e também maior atraso no desenvolvimento da coloração amarela, além de manterem a firmeza por mais tempo, como claros indicativos de retardo no amadurecimento. Além disso, o SNADES propiciou frutos mais saborosos e de excelente aparência. Os mamões recobertos com SNADES apresentaram melhor eficiência na captura H<sub>2</sub>O<sub>2</sub>, estando isso correlacionado com a maior atividade das enzimas CAT e APX no início do armazenamento, indicando frutos em melhor estado de conservação da qualidade. SNADES também resultou em mamões de melhor qualidade funcional com maiores teores de fenólicos extraíveis totais e maior atividade antioxidante por DPPH\*. Em conjunto, esses dados demonstram que o NADES de cloreto de colina e ácido oxálico apresenta potencial para ser incorporado a matriz polimérica como agente plastificante e funcional atuando na manutenção da qualidade e no retardo do amadurecimento, prolongando a vida útil pós-colheita de mamão 'Sunrise Solo' durante o armazenamento ao ambiente, bem como atua na melhoria da eficiência do sistema antioxidante enzimático e no incremento de compostos bioativos e atividade antioxidante.

**Palavras-Chave:** *Carica papaya* L., NADES, glicerol, metabolismo antioxidante, óleo essencial de laranja doce, qualidade

SOUSA, A. S. B. Physiology, antioxidant metabolism and postharvest conservation of 'Sunrise Solo' papaya under combinations of natural eutectic solvents with cassava starch based coatings. Areia, 2018. Master thesis (Masters in Agronomy). Centro de Ciências Agrárias, Universidade Federal da Paraíba. Advisor: Prof. Ph.D. Silvanda de Melo Silva.

#### **ABSTRACT**

Biodegradable coatings are a low-cost and sustainable technology, such as those based on cassava starch, these need to be incorporated into technologies that make them not only efficient in postharvest conservation of fruits, but also stable and innocuous to humans. Based on that, natural deep eutectic solvents (NADES) are made from natural, non-toxic components and have great potential in the conservation of fruits, such as oxalic acid. In addition, the NADES consist of innovative technology because they have plasticizer properties, being able to replace the glycerol, plasticizer most used in coatings based on natural polymers. Papaya is a highly consumed fruit due to the presence of antioxidant compounds, but it is highly perishable, presenting fast quality depreciation during postharvest. The understanding of the physiological processes and the dynamics in the antioxidant metabolism can generate bases for the development of technologies aimed at enhancing of the postharvest life and maintaining the stability of the antioxidant agents. This study was divided into two experiments. The first one aimed to evaluate the physiology and postharvest conservation of papaya under association of NADES of choline chloride and oxalic acid with cassava starch-based coatings (SNADES) during the storage under room conditions. The second experiment aimed to evaluate the effect of the application of SNADES on bioactive compounds and the antioxidant metabolism of 'Sunrise Solo' papaya during the storage under environmental conditions. The 'Sunrise Solo' papaya fruits were harvested and transported to the LBTPC /CCA /UFPB, where they were washed, sanitized and submitted to the edible coating. The experiment was performed in CRD, factorial 4x6 being 4 edible coating (SNADES, cassava starch associated with NADES plus sweet orange essential oil (NADES + O), associated cassava starch with glycerol (S + Gly) and uncoated fruits (C) ) and 6 periods of evaluation (0, 2, 4, 6, 8, and 10 days) during storage in the ambient condition. The fruits coated with SNADES presented a decrease in the respiratory rate, with a delay of 3 days when compared to the fruits coated with SNADES + O and SGly, presented a longer delay in the development of the yellow color, and maintained firmness for a longer period, indicating a delay in the ripening. The use of SNADES also provided tastier fruits and of excellent appearance. The SNADES coated papayas presented better efficiency in the H<sub>2</sub>O<sub>2</sub> capture, being correlated with the higher activity of the CAT and APX enzymes at the beginning of the storage, which indicates fruits in better state of quality conservation. SNADES also provided better functional quality papayas with higher extractable phenolic contents and higher antioxidant activity by DPPH. These data demonstrate that the NADES of choline chloride and oxalic acid has the potential to be incorporated into the polymer matrix as a plasticizer and functional agent for the maintenance of quality and maturation delay, extending the postharvest life of papaya during storage under environmental conditions, as well as improving the efficiency of the enzymatic antioxidant system and the increase of bioactive compounds and antioxidant activity.

**Keywords**: Antioxidant metabolism, *Carica papaya* L., glycerol, NADES, quality, sweet orange essential oil

# LISTA DE FIGURAS

# **ARTIGO I**

Graphcal abstract: Associação de solvente natural eutetico profundo de ácido oxálico e
cloreto de colina (NADES) com recobrimentos biodegradáveis a base de fécula de
mandioca retardam o amadurecimento do mamão 'Sunrise
Solo'
Fig. 1. Taxa respiratória-CO2 (A) e perda de massa (B) de mamão 'Sunrise Solo'
recobertos com a associação de solvente natural eutetico profundo 1% mais fécula de
mandioca 2,25% (▲ SNADES), com a associação de solvente natural eutetico profundo
1% mais oléo essecial de laranja doce $0,1%$ mais fécula de mandioca $2,25%$ (
- ■- · SNADES+O), com a associação de glicerol 1% mais fécula de mandioca 2,25% (
- x - SGly) e frutos sem recobrimento (- 0 − C) durante 10 dias de armazenamento em
condição ambiente (24±3°C e 85±5% UR)37
Fig. 2. Aspecto visual de mamões 'Sunrise Solo' recobertos com a associação de solvente
natural eutetico profundo 1% mais fécula de mandioca 2,25% (SNADES), com a
associação de solvente natural eutetico profundo 1% mais oléo essecial de laranja doce
$0,\!1\%$ mais fécula de mandioca 2,25% (SNADES+O), com a associação de $$ glicerol $1\%$
mais fécula de mandioca 2,25% (SGly) e frutos sem recobrimento (C) durante 10 dias de
armazenamento em condição ambiente (24±3°C e 85±5 %UR)37
<b>Fig. 3.</b> Diferença de cor - $\Delta E(A)$ , índice de cor - $IC(B)$ , clorofila total $(C)$ e fluorescência
de clorofila (Fv/Fm) (D) da casca de mamão 'Sunrise Solo' recobertos com a associação
de solvente natural eutetico profundo 1% mais fécula de mandioca 2,25% (A SNADES
), com a associação de solvente natural eutetico profundo 1% mais oléo essecial de laranja
doce 0,1% mais fécula de mandioca 2,25% (—■-· SNADES+O), com a associação de
glicerol 1% mais fécula de mandioca 2,25% ( $-*-sGly$ ) e frutos sem recobrimento (
— C) durante 10 dias de armazenamento em condição ambiente (24±3°C e 85±5
%UR)37

**Fig. 4.** Firmeza (A), sólidos solúveis – SS (B), acidez titulável- TA (C) e relação SS/TA (D) de mamão 'Sunrise Solo' recobertos com a associação de solvente natural eutetico profundo 1% mais fécula de mandioca 2,25% (---▲--- SNADES), com a associação de solvente natural eutetico profundo 1% mais oléo essecial de laranja doce 0,1% mais fécula

de mandioca 2,25% (— ■ · SNADES+O), com a associação de glicerol 1% mais fécula de mandioca 2,25% (— ★ - SGly) e frutos sem recobrimento (— O) durante 10 dias de armazenamento em condição ambiente (24±3°C e 85±5 % UR)......37

## **ARTIGO II**

**Figura 1.** Produção de espécies reativas de oxigênio (ROS) e as principais reações do sistema antioxidante enzimático (Adaptado de Gill and Tuteja, 2010)......48

**Figura 3.** Teores de compostos bioativos, (A) ácido ascórbico - AsA, (B) carotenóides totais – T Car., (C) flavonoides amarelos – Y flav e (D) fenólicos extraíveis totais – TEP de mamão 'Sunrise Solo' recobertos com a associação de solvente natural eutetico profundo 1% mais fécula de mandioca 2,25% (SNADES), com a associação de solvente

**Figura 6.** Correlação de variáveis relacionadas com o metabolismo antioxidante de mamão 'Sunrise Solo' recobertos com a associação de solvente natural eutetico profundo 1% mais fécula de mandioca 2,25% (SNADES), com a associação de solvente natural eutetico profundo 1% mais oléo essencial de laranja doce 0,1% mais fécula de mandioca 2,25% (SNADES+O), com a associação de glicerol 1% mais fécula de mandioca 2,25% (SGly) e frutos sem recobrimento (C) durante 10 dias de armazenamento em condição ambiente (24±3°C e 85±5% UR).

## LISTA DE ABREVIATURAS

Gly - Glicerol

NADES - Solvente natural eutetico profundo

OLD – Óleo essencial de laranja doce

C – Frutos sem recobrimentos biodegradáveis

SNADES - Recobrimentos biodegradáveis de fécula de mandioca combinado com solvente natural eutetico profundo

SNADES+O - Recobrimentos biodegradáveis de fécula de mandioca combinado com solvente natural eutetico profundo mais óleo essencial de laranja doce

ΔE - diferença de coloração

IC - Indice de coloração

SS – Sólidos solúveis

TA - Ácidez titulável

O2\*- - radical superóxido

SOD - superóxido dismutase

H<sub>2</sub>O<sub>2</sub> - peróxido de hidrogênio

CAT - catalase:

GPX - glutationa peroxidase;

GSSG - glutationa reduzida;

APX - ascorbato peroxidase;

AsA - ácido ascórbico;

MDHA - monodehidroascorbato

MDHAR - monodehidroascorbato redutase

DHA - dehidroascorbato

DHAR - dehidroascorbato redutase

GSH - glutationa na forma reduzida;

GR: Glutationa redutase

EDTA - ethylenediamine tetraacetic acid

PVP - Polivinilpirrolidona

BSA - Bovine serum albumin

NBT - nitroblue tetrazolium

DFI - 2,6-diclorofenolindofenol

ABTS - 2,2'-Azino-bis(3-ethylbenzothiazoline-6-sulfonic acid) diammonium salt

DPPH - 2,2-Diphenyl-1-(2,4,6-trinitrophenyl)hydrazyl

T Car. - carotenóides totais

Y flav - flavonoides amarelos

TEP - fenólicos extraíveis totais

ABTS\*+ - atividade antioxiante total usando o radical ABTS\*+ -

DPPH - atividade antioxiante usando o radical DPPH.

# **SUMÁRIO**

RESUMO	vii
ABSTRACT	viii
LISTA DE FIGURAS	ix
LISTA DE ABREVIATURAS	xii
INTRODUÇÃO GERAL	1
REFERÊNCIAS	5
ARTIGO I	8
Recobrimentos de Fécula de Mandioca Associada com NADES F Amadurecimento e Prolongam a Vida Útil Pós-Colheita de Mamão 'Sunrise	
Resumo	10
1. Introdução	11
2. Material e Métodos	14
2.1. Material Vegetal	14
2.2.Químicos	14
2.3. Formulação do solvente natural eutetico profundo (NADES)	14
2.4.Preparação dos recobrimentos biodegradáveis	15
2.5. Aplicação dos recobrimentos	15
2.6. Delineamento experimental	15
2.7. CO <sub>2</sub> e perda de massa	16
2.8. Diferença de cor (∆E), Índice de cor (IC), clorofila total e fluorescênce clorofila (FV/FM)	
2.9. Firmeza, sólidos solúveis (SS), acidez titulável (TA) e relação SS/TA	17
2.10. Análise sensorial	17
2.11 Análise estatística	18
3. Resultados e Discussão	18
3.1.Taxa respiratória e perda de massa	18
3.2. Diferença de $cor(\Delta E)$ , índice de $cor(IC)$ , clorofila total, fluorescênci (FM), fluorescência variável (FV) e relação FV/FM	
3.3. Firmeza, sólidos solúveis (SS), acidez titulável (TA), relação SS/TA	22
3.4. Qualidade sensorial	24
4. Conclusão	26
5. Agradecimentos	27

6. Conflito de interesses	27
7. Referências	27
ARTIGO II	40
Metabolismo Antioxidante de Mamão 'Sunrise Solo' Sob Recobrimentos Biodegr de Fécula de Mandioca Associada Com Solvente Natural Eutetico Profundo Essencial de Laranja Doce	e Óleo
Resumo	42
1. Introdução	44
2. Material e Métodos	47
2.1. Material Vegetal	47
2.2.Químicos	48
2.3. Formulação do solvente natural eutetico profundo (NADES)	48
2.4.Preparação dos recobrimentos biodegradáveis	48
2.5. Aplicação dos recobrimentos	49
2.6. Delineamento experimental	49
$2.7.$ Peróxido de hidrgênio $H_2O_2$	50
2.8.Extração e atividade das enzimas antioxidantes	50
2.9. Ácido ascórbico, carotenóides, flavonoides amarelos e polifenois extraíve totais	
2.10. Atividade antioxidante total por ABTS *+ e DPPH*	52
2.11. Análise estatistica	53
3. Resultados	53
3.1. Níveis de H <sub>2</sub> O <sub>2</sub> e atividade das enzimas antioxidantes	53
3.2. Teores ácido ascórbico, carotenoides, flavonoides amarelos, e fenólicos extraíveis totais	56
3.3. Atividade antioxidante total pela captura dos radicais ABTS*+ and DPPH	· 58
3.4. Heat map e Correlação	60
. Discussão	65
5. Conclusão	70
6. Agradecimentos	72
7. Conflito de interesses	72
8. Referências	72
CONCLUSÕES GERAIS	81

# INTRODUÇÃO GERAL

O mamão (*Carrica papaya* L.) é uma das frutíferas mais comercializadas e produzidas no mundo, com produção de 13,05 milhões de toneladas (FAOSTAT, 2018; SINGH & RAO, 2011). O Brasil apresenta grande destaque na produção de mamão, sendo o segundo maior produtor do mundo, com aproximadamente 1.4 milhão de toneladas, respondendo por 10,91% da produção mundial em 2016 (FAOSTAT, 2018). Neste ano, o Nordeste foi a maior região produtora de mamão do país, respondendo por 71,33% da produção nacional (IBGE, 2018). Dentre as cultivares de mamão produzidas no Brasil as do grupo 'Solo', como o mamão 'Sunrise Solo', são as mais produzidas devido ao alto potencial endogâmico e frutos de menor tamanho (≈ 0,35 a 0,70 kg) que são mais aceitos no mercado externo (NUNES et al., 2015).

O mamão é um fruto climatérico e, apesar de grande produção e potencial de expandir a comercialização, apresenta alta perecibilidade, cujo rápido amadurecimento envolve marcantes modificações bioquímicas e fisiológicas que refletem na qualidade e conservação pós-colheita (ALI et al., 2011; HUERTA-OCAMPO et al., 2012; SHADMANI et al., 2015). Além disso, a casca muito fina do fruto dificulta as operações de transporte e comercialização, causando perdas pós-colheita (EMBRABA, 2018). Diante disso, diversas tecnologias têm sido propostas buscando o prolongamento da vida útil pós-colheita do mamão, tais como, tratamentos hidrotérmicos (AYÓN-REYNA et al., 2017; SUPAPVANICH; PROMYOU, 2017), armazenamento refrigerado (GOMES; FABI; PURGATTO, 2016), elicitores (DEMARTELAERE et al., 2017) e aplicação de óxido nítrico (LI et al., 2014) e recobrimentos biodegradáveis (ALI et al., 2011; HAMZAH et al., 2013).

O armazenamento refrigerado é uma tecnologia das mais eficientes na extensão da vida útil pós-colheita de frutos e hortaliças, uma vez que a redução da temperatura pode reduzir a atividade metabólica e a taxa respiratória do mamão (GOMES et al., 2016). No entanto, o uso de refrigeração tem elevado custo e pode ser limitante em sistemas de produção mais carentes, como na agricultura familiar. Além disso, a redução da temperatura no armazenamento de mamão pode causar desordens fisiológicas em mamão, tais como o dano pelo frio caracterizado pelo aparecimento de cavidades e podridões na superfície e amadurecimento irregular (ZOU et al., 2014). Nessa perspectiva, aplicar tecnologias de conservação sustentáveis, que possibilitem prolongar a vida útil póscolheita do mamão e manter a qualidade sob a condição ambiente, são cada vez mais necessárias. Adicionalmente, a eficiência de tecnologias desta natureza na condição

ambiente, assegurariam seu sucesso sob refrigeração, sob temperaturas adequadas. Nesta premissa, os recobrimentos biodegradáveis têm sido explorados, devido a alta disponibilidade das matérias primas e baixo custo de produção (FALGUERA et al., 2011; HAN, 2014; GUIMARÃES et al., 2017). Entretanto, estes recobrimentos precisam agregar tecnologias inovadoras, eficientes com relação à conservação pós-colheita, além de serem sustentáveis ao meio ambiente e inócuas à saúde humana (AZERÊDO et al., 2016).

Os recobrimentos biodegradáveis podem ser formulados a partir de diversos materiais naturais e seguros ao ser humano, como proteínas e polissacarídeos (ACEVEDO-FANI et al., 2015; HAN et al., 2014), os quais podem atuar como barreira ao CO<sub>2</sub> e O<sub>2</sub> , ocasionando redução da taxa metabólica dos frutos (GONZALEZ-AGUILAR et al., 2010) . Neste contexto, a fécula de mandioca tem se destacado amplamente entre os materiais usados na formulação de recobrimentos biodegradáveis, devido sua elevada abundancia e baixo custo de produção e facilidade de extração (ORIANI et al., 2014; VERSINO et al., 2016).

Entretanto, na formulação de recobrimentos à base de polissacarídeos, como as féculas, é necessário a adição de agentes plastificantes, substâncias de baixo peso molecular que tem por finalidade aumentar a plasticidade, melhorando a estrutura e propriedade de barreira dos polímeros obtidos (HAN, 2014). Neste sentido, o glicerol tem sido o agente plastificante mais usado na formulação de filmes e recobrimentos biodegradáveis (BOCQUÉ et al., 2016). No entanto, como alternativa inovadora e natural à este plastificante, os solventes naturais euteticos profundos (NADES), que podem ser produzidos com grau alimentar, a partir de compostos naturais de baixa ou nenhuma toxicidade, têm sido explorados devido ao seu potencial como agente plastificante, melhorando as propriedades de permeabilidade a vapor de água e mecânicas de polímeros (COLOMINES et al., 2016; ZDANOWICZ; JOHANSSON, 2016; ZDANOWICZ; JOHANSSON, 2017).

Os NADES são formulados a partir da mistura de compostos catiônicos e aniônicos, naturais e não tóxicos ao seres humanos, sendo que a mistura (NADES) apresenta ponto de fusão inferior que seus componentes isolados (PAIVA et al., 2014). O cloreto de colina tem sido amplamente usado como componente catiônico na formulação de NADES, que pode ser combinado geralmente com ácidos orgânicos, que são bons doadores de hidrogênio (COLOMINES et al., 2016; ZDANOWICZ & JOHANSSON, 2016).

Neste sentindo, o ácido oxálico pode ser combinado com o cloreto de colina para a formulação de NADES (MARTÍNEZ et al., 2016) e têm demonstrado potencial de uso na conservação pós-colheita de frutos e hortaliças, atuando no retardo do amadurecimento (HUANG et al., 2013a; ÖZ; KAFKAS; BOZDOĞAN, 2016; RAZZAQ et al., 2015), na indução de resistência contra fungos (DENG et al., 2015; RUÍZ-JIMÉNEZ et al., 2014), por estimular o metabolismo secundário e a síntese de fenólicos (LI et al., 2014; RAZAVI; HAJILOU, 2016; RAZZAQ et al., 2015), e na mitigação de desordens fisiológicas (HUANG et al., 2013b; LI et al., 2016; RUÍZ-JIMÉNEZ et al., 2014), o que lhe confere caráter funcional. Diante disso, o uso de NADES como plastificante em recobrimentos biodegradáveis possibilita a incorporação eficiente de moléculas de grande potencial na conservação de frutos e hortaliças, como o ácido oxálico. No entanto, ainda não foram realizados estudos explorando o potencial do uso de NADES como agente plastificante e funcional em recobrimentos biodegradáveis, bem como o seu potencial em propiciar a manutenção da qualidade e prolongamento da vida útil pós-colheita durante o armazenamento de frutos.

Aditivos sustentáveis com potencial antimicrobianos também podem ser incorporados em recobrimentos biodegradáveis. Neste sentido, óleos essenciais de laranja doce tem sido explorado por apresentar elevado potencial antimicrobiano (GOMES et al., 2017) e elevada atividade antioxidante (ADEMOSUN et al., 2015), podendo a sua combinação com recobrimentos de fécula de mandioca adicionados ao NADES ser uma alternativa importante na manutenção da qualidade e prolongamento da vida útil de mamão.

O mamão apresenta elevado consumo devido suas excelentes características sensoriais, especialmente pela polpa de cor atrativa (alaranjada) pela presença de β-caroteno, significativos teores de ácido ascórbico e sabor agradável (bom equilíbrio entre açucares e ácidos orgânicos) (GALO et al., 2014). Além disso, o mamão é reconhecido pelo significativo potencial funcional, que é relacionado com o metabolismo antioxidante destes frutos, composto por dois sistemas: o enzimático (composto pelas enzimas, SOD, CAT, APX, POD, GR e MDHA) e o não enzimático (ácido ascórbico, carotenóides e fenólicos) (GALO et al., 2014; LATA et al., 2018). Essas caracteristicas são influenciadas pelas transformações metabolicas decorrentes do processo de maturação dos frutos, cujos impactos podem ser positivos e negativos a depender dos tratamentos aplicados nas operações de pós-colheita (FALGUERA et al., 2011). Diante disso, o entendimento de como a combinação de NADES como a matriz polimérica de recobrimentos de fécula de

mandioca afetam a fisiologia, caracteristicas físico-químicas e o metabolismo antioxidante de mamão 'Sunrise Solo' durante o armazenamento na condição ambiente, fornecerá informações fundamentais sobre o potencial desta tecnologia inovadora e limpa na manutenção da qualidade de frutos e hortalicas, abrindo possibilidades para seu amplo uso. Neste sentido, este trabalho foi dividido em dois experimentos. O primeiro teve o objetivo de avaliar a fisiologia e conservação pós-colheita de mamão 'Sunrise Solo' sob associações de NADES de cloreto de colina e ácido oxálico com recobrimentos a base de fécula de mandioca durante o armazenamento em condição ambiente. O segundo teve o objetivo de avaliar o efeito da aplicação da associação de NADES de cloreto de colina e ácido oxálico em recobrimentos biodegradáveis a base de fécula de mandioca nos compostos bioativos e metabolismo antioxidante de mamão 'Sunrise Solo' durante o armazenamento em condição ambiente.

# REFERÊNCIAS

ADEMOSUN, A. O. et al. Comparative Study of Chemical Composition, In Vitro Inhibition of Cholinergic and Monoaminergic Enzymes, and Antioxidant Potentials of Essential Oil from Peels and Seeds of Sweet Orange (*Citrus Sinensis* [L.] Osbeck) Fruits. **Journal of Food Biochemistry**, v. 4514, 2015.

ALI, A. et al. Effect of chitosan coatings on the physicochemical characteristics of Eksotika II papaya (*Carica papaya* L.) fruit during cold storage. **Food Chemistry**, v. 124, n. 2, p. 620–626, 2011.

AYÓN-REYNA, L. E. et al. Application of a hydrothermal-calcium chloride treatment to inhibit postharvest anthracnose development in papaya. **Postharvest Biology and Technology**, v. 124, p. 85–90, 2017.

BOCQUÉ, M. et al. Petro-based and bio-based plasticizers: Chemical structures to plasticizing properties. **Journal of Polymer Science, Part A: Polymer Chemistry**, v. 54, n. 1, p. 11–33, 2016.

COLOMINES, G. et al. Biofriendly ionic liquids for starch plasticization: a screening approach. **RSC Advances**, v. 6, n. 93, p. 90331–90337, 2016.

DEMARTELAERE, A. C. F. et al. Elicitors on the control of anthracnose and post-harvest quality in papaya fruits. **Pesquisa Agropecuaria Tropical**, v. 47, n. 2, p. 211–217, 2017.

EMBRAPA - Empresa Brasileira de Pesquisa Agropecuária. Mamão. Disponível em: < https://www.embrapa.br/mandioca-e-fruticultura/cultivos/mamao>. Acesso em: 20 de agosto de 2017

FAOSTAT - Food and agriculture organization of the united nations. FAOSTAT Database Gateway-FAO. Disponível em: <a href="http://www.fao.org/faostat/en/#home/">http://www.fao.org/faostat/en/#home/</a>. Acesso em: 01 de Janeiro 2018.

DENG, J. et al. Postharvest oxalic acid treatment induces resistance against pink rot by priming in muskmelon (*Cucumis melo* L.) fruit. **Postharvest Biology and Technology**, v. 106, p. 53–61, 2015.

FALGUERA, V. et al. Edible films and coatings: Structures, active functions and trends in their use. **Trends in Food Science and Technology**, v. 22, n. 6, p. 292–303, 2011.

GALO, J. DE Q. B. et al. Conservação pós-colheita de mamão 'Sunrise Solo' com uso de quitosana. **Revista Brasileira de Fruticultura**, v. 36, n. 2, p. 305–312, 2014.

GOMES, B. L.; FABI, J. P.; PURGATTO, E. Cold storage affects the volatile profile and expression of a putative linalool synthase of papaya fruit. **Food Research International**, v. 89, p. 654–660, 2016.

GOMES, M. DE S. et al. Effect of edible coatings with essential oils on the quality of red raspberries over shelf-life. **Journal of the Science of Food and Agriculture**, v. 97, n. 3, p. 929–938, 2017.

GONZALEZ-AGUILAR, G. A. et al. Improvement of the antioxidant status of tropical fruits as a secondary response to some postharvest treatments. **Trends in Food Science and Technology**, v. 21, n. 10, p. 475–482, 2010.

- GUIMARÃES, G. H. C. et al. Impact of cassava starch-alginate based coatings added with ascorbic acid and elicitor on quality and sensory attributes during pineapple storage. **African Journal of Agricultural Research**, v. 12, n. 9, p. 664–673, 2017.
- HAMZAH, H. M. et al. Carrageenan as an alternative coating for papaya (*Carica papaya* L. cv. Eksotika). **Postharvest Biology and Technology**, v. 75, p. 142–146, 2013.
- HAN, J. H. Edible Films and Coatings: A Review. [s.l.] Elsevier Ltd, 2014.
- HUANG, H. et al. Effect of oxalic acid on ripening attributes of banana fruit during storage. **Postharvest Biology and Technology**, v. 84, p. 22–27, 2013a.
- HUANG, H. et al. Effect of oxalic acid on antibrowning of banana (Musa spp., AAA group, cv. "Brazil") fruit during storage. **Scientia Horticulturae**, v. 160, p. 208–212, 2013b.
- HUERTA-OCAMPO, J. Á. et al. Proteomic analysis of differentially accumulated proteins during ripening and in response to 1-MCP in papaya fruit. **Journal of Proteomics**, v. 75, n. 7, p. 2160–2169, 2012.
- IBGE Instituto Brasileiro de Geografia e Estatística. **Produção Agrícola Municipal**. Disponível em: < https://www.google.com.br/search?q=ibge&oq=ibge&aqs=chrome..69i57j69i60j0j69i6 013.3564j0j7&sourceid=chrome&ie=UTF-8>. Acesso em 12 Janeiro de 2018.
- LATA, D. et al. Effect of eco-safe compounds on postharvest quality preservation of papaya (Carica papaya L.). **Acta Physiologiae Plantarum**, v. 40, n. 1, p. 8, 2018.
- LI, P. et al. Pre-storage application of oxalic acid alleviates chilling injury in mango fruit by modulating proline metabolism and energy status under chilling stress. **Food Chemistry**, v. 142, p. 72–78, 2014.
- LI, P. et al. Alleviation of chilling injury in tomato fruit by exogenous application of oxalic acid. **Food Chemistry**, v. 202, p. 125–132, 2016.
- MARTÍNEZ, R. et al. Bio-renewable enantioselective aldol reaction in natural deep eutectic solvents. **Green Chemistry.**, v. 18, n. 6, p. 1724–1730, 2016.
- NUNES, L. L. et al. Novos Híbridos de Mamoeiro Avaliados nas Condições de Cultivo Tradicional e no Semiárido Brasileiro. **Rev. Brasileira de Fruticultura**, v. 37, n. 1, p. 159–171, 2015.
- ORIANI, V. B. et al. Properties of cassava starch-based edible coating containing essential oils. **Journal of Food Science**, v. 79, n. 2, p. 189–194, 2014.
- ÖZ, A. T.; KAFKAS, E.; BOZDOĞAN, A. Combined effects of oxalic acid treatment and modified atmosphere packaging on postharvest quality of loquats during storage. **Turkish Journal of Agriculture and Forestry**, v. 40, n. 3, p. 433–440, 2016.
- PAIVA, A. et al. ChemInform Abstract: Natural Deep Eutectic Solvents Solvents for the 21st Century. **ACS Sustainable Chemistry & Engineering**, v. 45, n. 24, p. no-no, 2014.
- RAZAVI, F.; HAJILOU, J. Enhancement of postharvest nutritional quality and antioxidant capacity of peach fruits by preharvest oxalic acid treatment. **Scientia Horticulturae**, v. 200, p. 95–101, 2016.

RAZZAQ, K. et al. Effect of oxalic acid application on Samar Bahisht Chaunsa mango during ripening and postharvest. **LWT - Food Science and Technology**, v. 63, n. 1, p. 152–160, 2015.

RUÍZ-JIMÉNEZ, J. M. et al. Effect of oxalic acid on quality attributes of artichokes stored at ambient temperature. **Postharvest Biology and Technology**, v. 95, p. 60–63, 2014.

SHADMANI, N. et al. Chilling injury incidence and antioxidant enzyme activities of Carica papaya L. "Frangi" as influenced by postharvest hot water treatment and storage temperature. **Postharvest Biology and Technology**, v. 99, p. 114–119, 2015.

SUPAPVANICH, S.; PROMYOU, S. Hot water incorporated with salicylic acid dips maintaining physicochemical quality of "Holland" papaya fruit stored at room temperature. **Emirates Journal of Food and Agriculture**, v. 29, n. 1, p. 18–24, 2017.

VERSINO, F. et al. Starch-based films and food coatings: An overview. **Starch/Staerke**, v. 68, n. 11–12, p. 1026–1037, 2016.

ZDANOWICZ, M.; JOHANSSON, C. Mechanical and barrier properties of starch-based films plasticized with two- or three component deep eutectic solvents. **Carbohydrate Polymers**, v. 151, p. 103–112, 2016.

ZDANOWICZ, M.; JOHANSSON, C. Impact of additives on mechanical and barrier properties of starch-based films plasticized with deep eutectic solvents. **Starch/Staerke**, v. 69, n. 11–12, p. 1–10, 2017.

ZOU, Y. et al. The relationship between the expression of ethylene-related genes and papaya fruit ripening disorder caused by chilling injury. **PLoS ONE**, v. 9, n. 12, p. 1–24, 2014.

# **ARTIGO I**

Recobrimentos de Fécula de Mandioca Associada com NADES Retardam o Amadurecimento e Prolongam a Vida Útil Pós-Colheita de Mamão 'Sunrise Solo'

\_\_\_\_\_

Será submetido a LWT-Food Science and Technology

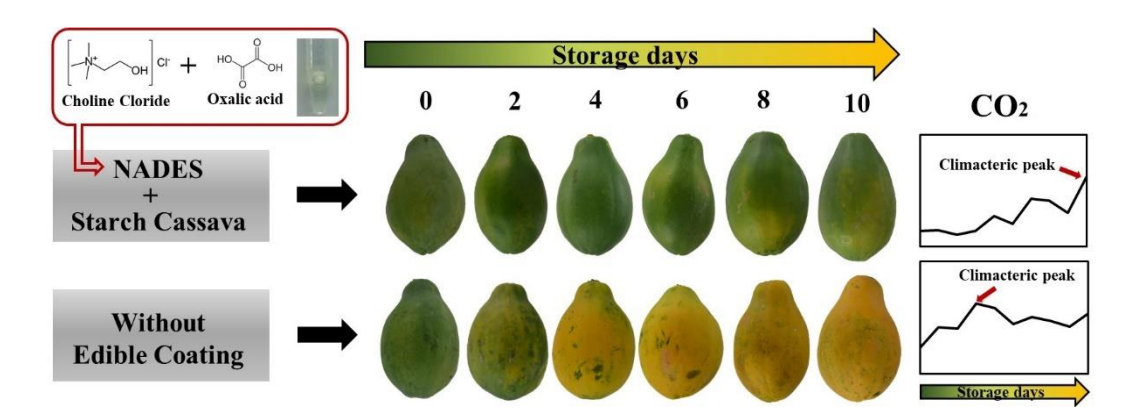
ISSN: 0023-6438

Qualis: A1

Fator de impacto: 2.239

- 1 Recobrimentos de Fécula de Mandioca Associada com NADES Retardam o
- 2 Amadurecimento e Prolongam a Vida Útil Pós-Colheita de Mamão 'Sunrise Solo'

3



4

- 5 **Graphcal abstract:** Associação de solvente natural eutetico profundo de ácido oxálico e
- 6 cloreto de colina (NADES) com recobrimentos biodegradáveis a base de fécula de
- 7 mandioca retardam o amadurecimento do mamão 'Sunrise Solo'.

8

9

# Highlights

- 10 NADES podem ser usados com agentes plastificantes funcionais retardando o
- 11 amadurecimento de mamão
- 12 Recobrimentos contendo NADES retardam o pico climatérico dos frutos e diminuem a
- perda de massa
- 14 Uso de NADES como plastificante retarda o desenvolvimento da cor e a degradação da
- 15 clorofila
- O uso de NADES nos recobrimentos proporciona frutos mais saborosos de elevada
- 17 aceitação sensorial

18

## Resumo

19

20

21

22

23

24

25

26

27

28

29

30

31

32

33

34

35

36

37

38

39

40

41

42

O mamão apresenta elevada aceitação e comercialização, no entanto possui curta vida útil pós-colheita. Recobrimentos biodegradáveis de fécula de mandioca associado com agentes plastificantes, tem sido intensamente estudados na manutenção da qualidade. Neste sentido, os solventes naturais euteticos profundos (NADES) apresentam propriedades plastificantes e são produzidos de compostos naturais não tóxicos e que apresentam potencial de uso na pós-colheita, como o ácido oxálico. Neste contexto, este trabalho tem como objetivo avaliar pela primeira vez a fisiologia e conservação póscolheita de mamão 'Sunrise Solo' sob associações de NADES com recobrimentos a base de fécula de mandioca (SNADES) durante o armazenamento em condição ambiente. Os mamões foram colhidos e transportados para o LBTPC/CCA/UFPB, onde foram lavados, sanificados, submetidos aos recobrimentos e armazenados em condição ambiente por 10 dias. O experimento foi realizado em DIC, sendo 4 recobrimentos (SNADES, fécula de mandioca associada com NADES mais óleo essencial de laranja doce (NADES+O), fécula de mandioca associada com glicerol (S+Gly) e frutos sem recobrimentos (C)), e avaliações a cada dois dias. Os dados foram submetidos a ANOVA, realizando análise de regressão polinomial. Os mamões recobertos com SNADES apresentaram redução na taxa respiratória e retardo no pico climatérico. Esses frutos também apresentaram maior atraso no desenvolvimento da coloração amarela, e mantiveram a firmeza elevada por mais tempo. O uso de SNADES retardou a redução nos teores de sólidos solúveis e relação SS/AT propiciando frutos mais saborosos. Além disso, os frutos com SNADES tiveram elevado aceite de comercialização e preferência de sabor. Diante do exposto, o NADES apresenta potencial para ser usado como agente plastificante e funcional em recobrimentos a base de fécula de mandioca, atuando na manutenção da qualidade e no

43 retardo do amadurecimento de mamão 'Sunrise Solo', prolongando a sua vida útil pós-

O mamão (Carrica papaya L.) é um fruto tropical consumido em todo o mundo

- 44 colheita durante o armazenamento em condição ambiente
- 45 **Palavras-Chave:** Carica papaya,, glicerol, NADES, qualidade, vida útil

46

47

48

67

como o mamão.

## 1. Introdução

49 (Singh & Sudhakar Rao, 2011), e o terceiro mais consumido no Brasil (Galo, Souza, 50 Kusdra, & Mattiuz, 2014). O seu sabor é caracterizado como doce agradável, o que o 51 torna um dos frutos mais exportados para os mercados Norte-americanos e Europeus 52 (Carvalho, Kist, Santos, Filter, & Cássio, 2017). Em 2016, o Brasil foi o segundo maior 53 produtor de mamão do mundo com uma produção de aproximadamente 1.4 milhão de 54 toneladas, respondendo por 10,91% da produção mundial (FAOSTAT, 2017). As 55 cultivares do grupo 'Solo', como a 'Sunrise Solo', são as mais produzidas no Brasil, 56 devido ao alto potencial endogâmico e menor tamanho dos frutos, que são mais aceitos 57 no mercado externo (Nunes, Pereira, Ribeiro Barros, De Brito Barros, & Ferreguetti, 58 2015). 59 Apesar de grande produção, o mamão sendo um fruto climatérico é altamente 60 perecível, cujo o amadurecimento envolve uma série de modificações fisiológicas e 61 bioquímicas que refletem em sua qualidade (Ali, Muhammad, Sijam, & Siddiqui, 2011). 62 A perecibilidade do mamão é o principal obstáculo no seu transporte a longas distâncias 63 e diversas tecnologias pós-colheita tem sido estudadas visando o prolongamento da sua 64 vida útil (Gonzalez-Aguilar, Villa-Rodriguez, Ayala-Zavala, c Yahia, 2010). Neste 65 contexto, a aplicação de recobrimentos biodegradáveis tem desempenhado importante 66 papel na conservação, distribuição e comercialização de frutos (Allegra et al., 2017), Os recobrimentos biodegradáveis são formulados a partir de matérias primas naturais e seguras ao ser humano a exemplos de polissacarídeos. Esses materiais podem atuar como barreiras ao CO<sub>2</sub> e O<sub>2</sub>, ocasionando redução da taxa metabólica dos frutos recobertos, bem como nos fatores responsáveis pelas transformações do amadurecimento (Gonzalez-Aguiar et al., 2010). A fécula de mandioca associada com glicerol como agente plastificante, tem sido amplamente explorado como recobrimento biodegradável (Praseptiangga, Utami, Khasanah, L, Evirananda, I, & Kawiji, 2017). O glicerol é o agente plastificante mais usado na confecção de recobrimentos biodegradáveis, no entanto outros compostos incluindo sorbitol, ácidos policarboxílicos, sacarose entre outros tem sido testados (Han et al., 2014). Adicionalmente, componentes plastificantes naturais, de grau alimentar e que possam exercer funções específicas na conservação póscolheita de frutos são altamente requeridos.

Neste sentido, os solventes naturais euteticos profundos (NADES) são sistemas da química verde formulados a partir de componentes naturais que apresentam baixa ou nenhuma toxicidade aos seres humanos (Smith et al., 2014; Paiva et al., 2014), e que mais recentemente tem sido reportados como potentes plastificantes, atuando na melhoria das propriedades de permeabilidade a vapor de água e a gases e mecânicas dos polímeros (Zdanowicz & Johansson, 2016; Zdanowicz & Johansson et al., 2017). Os NADES são formulados da mistura de compostos catiônicos e aniônicos, sendo que a mistura (NADES) apresenta ponto de fusão inferior aos seus componentes isolados (Paiva et al., 2014).

O cloreto de colina tem sido amplamente usado como componente catiônico na formulação de NADES, combinada geralmente com ácidos orgânicos que são bons doadores de hidrogênio (Colomines, Decaen, Lourdin, & Leroy, 2016; Zdanowicz & Johansson, 2016; Zdanowicz & Johansson, 2017). O ácido oxálico tem sido amplamente

utilizado para o prolongamento da vida útil dos frutos, reprimindo a produção de etileno e reduzindo o amolecimentos de frutos de mangas (Razzaq, Khan, Malik, Shahid, & Ullah, 2015) e mantendo a aparência da casca e prolongando a vida útil de bananas (Huang et al., 2013). Adicionalmente, o ácido oxálico pode ser usado na formulação de NADES com cloreto de colina (Martínez, Berbegal, Guillena, & Ramón, 2016). Neste sentido, o uso de NADES de cloreto de colina e ácido oxálico como plastificante em recobrimentos a base de fécula de mandioca pode ser uma alternativa para a manutenção da qualidade do mamão 'Sunrise Solo' durante o armazenamento.

Os óleos essenciais têm sido importantes componentes antimicrobianos naturais adicionados em recobrimentos visando o controle de doenças, limitando o uso de fungicidas sintéticos na pós-colheita. Nesse contexto, a adição de óleos essenciais em recobrimentos de fécula de mandioca tem inibido o crescimento antimicrobiano e retardado o amadurecimento em mamão (Praseptiangga et al., 2017). Adicionalmente, o óleo de laranja doce apresenta elevada atividade antibacteriana e antifúngica, além de possuir elevado conteúdo de compostos fenólicos que lhe conferem elevada atividade antioxidante (Franco-Vega et al., 2016). Baseado nisso, a adição de óleo de laranja doce pode vim conferir controle de doenças e ampliar as propriedades de conservação dos recobrimentos biodegradáveis de fécula de mandioca e NADES. Contudo, este trabalho tem como objetivo avaliar pela primeira vez a fisiologia e conservação pós-colheita de mamão 'Sunrise Solo' sob associações de NADES de cloreto de colina e ácido oxálico com recobrimentos a base de fécula de mandioca durante o armazenamento em condição ambiente.

## 2. Material e Métodos

Frutos de mamoeiros da cultivar 'Sunrise Solo' foram colhidos até 9:00 h da manhã, no estádio de maturidade comercial (fruto totalmente verde com traço amarelo de até 5%), de plantios comerciais no município de Sapé-PB, Brasil, sendo acondicionados em caixas plásticas e transportados para o Laboratório de Biologia e Tecnologia Pós-Colheita (LBTPC) do CCA/UFPB, localizado em Areia-PB.

A fécula de mandioca (*Manihot esculenta Crantz*) foi extraída no Laboratório de Biologia e Tecnologia Pós-Colheita conforme (Lima, Silva, Rocha, Nascimento, & Ramalho, 2012). O óleo essencial de laranja doce (*Citrus Aurantium dulces*) foi obtido da Ferquima Ind. e Com. Ltd. (Vargem Grande Paulista-SP, Brasil).

# 2.2.Químicos

Ácido oxálico, cloreto de colina e Tween 40 foram obtidos de Sigma Aldrich (São Paulo/SP, Brazil). Bicarbonato de sódio e glicerol foram adquiridos de Dinâmica Química Contemporânea LTDA (Diadema/SP, Brazil). Acetona e o hidróxido de sódio foram obtidos de Labsynth (Diadema/SP, Brazil).

## 2.3. Formulação do solvente natural eutetico profundo (NADES)

O solvente natural eutetico profundo (NADES) foi obtido da combinação de ácido oxálico com cloreto de colina. Os componentes foram colocados em balão de vidro selado, adicionados de água ultrapurificada, aquecidos e agitados até a formação de uma mistura eutetica líquida e translucida conforme Abbott, Boothby, Capper, Davies, & Rasheed, 2004. Em seguida, a mistura eutetica foi rotaevaporadorada e os H<sup>+</sup> livres no NADES foram neutralizados com bicarbonato de sódio, sendo o excesso e o sal formado removido por sucessivas centrifugações.

## 2.4. Preparação dos recobrimentos biodegradáveis

As soluções filmogênicas foram preparadas a partir de suspensões aquosas de fécula de mandioca a 2,25% (w/v), sob aquecimento controlado até atingir a temperatura de 70°C. O NADES á 1% (w/v) e o glicerol a 1% (w/v), foram adicionados na fase de resfriamento da solução filmogênica. O óleo essencial de laranja doce foi inicialmente adicionado a pequenas porções de NADES, Tween 40 e matriz filmogênica, e submetidos a força de cisalhamento com auxílio de ultra turrax. Sequencialmente, foram submetidos a ultrassom por 5 minutos e foram aplicado nas soluções filmogênicas, sob constante agitação, de modo a se obter a concentração final de 0,1%. Todas as concentrações usadas na formulação dos filmes foram determinadas com base em testes prévios.

## 2.5. Aplicação dos recobrimentos

No laboratório, os frutos foram lavados em água corrente e sanificados com solução de hipoclorito de sódio a 50 mg L<sup>-1</sup>, por 2 minutos. Após secagem em condição ambiente, os seguintes recobrimentos foram aplicados nos frutos: controle (C), sem recobrimento; fécula de mandioca 2,25%+glicerol 1% (SGly); fécula de mandioca 2,25%+NADES1% (SNADES) e fécula de mandioca 2,25%+NADES1%+óleo de laranja doce 0,1% (SNADES+O). Os frutos foram imersos nos respectivos recobrimentos por 1 minuto e secos em temperatura ambiente, sob telas de aço inox. Os recobrimentos utilizados foram definidos em experimento piloto prévio com diferentes concetrações de fécula de mandioca, agente plastificante (glicerol e NADES) e óleo essencial.

# 2.6. Delineamento experimental

Após secagem, os frutos foram armazenados em bandejas de poliestireno expandido e armazenados em condição ambiente (24±3°C e 85±5°C UR) durante 10 dias, sendo avaliados a cada 2 dias. O delineamento experimental foi o inteiramente casualizado em esquema fatorial 4X6, sendo 4 recobrimentos e seis períodos de avaliação, com 3

repetições, compostas por 2 frutos cada. Para as variáveis perda de massa e CO<sub>2</sub> utilizouse de parcelas subdivididas no tempo.

2.7. CO<sub>2</sub> e perda de massa

167

178

179

180

181

182

185

diferença

de

cor

após o armazenamento (Allegra et al., 2017).

- 168 Na determinação da taxa respiratória (CO<sub>2</sub>) os frutos foram acondicionados em 169 recipientes dotados de entrada e saída controlada de ar sob sistema de fluxo contínuo de 170 oxigênio. As leituras foram realizadas a cada 12 horas em um período de 10 dias. A coleta 171 foi realizada com seringa de 1 mL, sendo injetada 0,1 mL no analisador de CO<sub>2</sub> Sable 172 Systems PA-10. Os resultados foram expressos em mgCO<sub>2</sub>/h/Kg de fruto conforme 173 Nakamura, Sudhakar Rao, Shiiina, Nawa (2003). A perda de massa (%) foi determinada 174 pelo percentual acumulado obtido por diferença em relação à massa inicial (Lima et al., 175 2012).
- 2.8. Diferença de cor (∆E), Índice de cor (IC), clorofila total e fluorescência da
   clorofila (FV/FM)
  - Os parâmetros de cor L, a e b foram obtidos por duas leituras objetivas na região equatorial da superfície dos frutos usando o colorímetro Minolta. O índice de cor (IC) que indica o grau de variação do verde para o amarelo foi calculado conforme Motta, Melo Queiroz, Figueirêdo, & Sousa (2015) pela equação pela equação:  $IC = \frac{2000a}{L\sqrt{(a)^2+(b)^2}}$ . A

foi

calculada

pela

183  $\Delta E = \sqrt{(L_0 - L)^2 + (a_0 - a)^2 + (b_0 - b)^2}$ , considerando a diferença entre a cor medida na primeira avaliação  $(L_0, a_0 e b_0)$  com a cor medida 2, 4, 6, 8 e 10 (L, a, b) dias

 $(\Delta E)$ 

A clorofila total da casca foi determinada usando acetona 80% como solução extratora e realizando as leituras a 652 nm. Os resultados foram expressos em mg/100 g de casca conforme Engel & Poggiani, (1991).

equação:

A fluorescência da clorofila foi determinada usando fluorímetro Pocket PEA, tomando dois pontos equidistantes na região equatorial da superfície dos frutos para leituras. Foram obtidos os parâmetros de fluorescência máxima (Fm) e fluorescência variável (Fv) para o cálculo da relação Fv/Fm. Os frutos foram adaptados ao escuro durante 60 min e a intensidade luminosa estabelecida foi de 3000 μmol.m<sup>-2</sup>.s<sup>-1</sup> (Azerêdo et al., 2016).

- 2.9. Firmeza, sólidos solúveis (SS), acidez titulável (TA) e relação SS/TA
- A firmeza (N) foi determinada através do penetrômetro manual Magness Taylor

  Pressure Tester em duas leituras equidistantes na região equatorial dos frutos (Lima et al.,

  2012).
  - O sólidos solúveis (SS) foi determinado por leitura direta com refratômetro tipo Abbe com controle de temperatura (20 °C) (IAL, 2005). Acidez titulável (AT) foi quantificada por titulometria com solução de NaOH 0,1M, sendo os resultados expressos em g ácido cítrico/100g de polpa fresca (IAL, 2005). Relação SS/TA foi obtida mediante divisão dos índices de SS pelos resultados de TA (Lima et al., 2012).

## 204 2.10. Análise sensorial

Foi realizada analise sensorial, utilizando 10 painelistas treinados. As amostras foram compostas de 6 frutos por recobrimento, no período de 0 a 10 dias para as avaliações de aparência, e de 2 a 10 dias para as avaliações de flavor. As avaliações foram realizadas a cada 2 dias. Na avaliação de severidade de doenças utilizou-se escala de chave descritiva de aparência, com os seguintes graus de doença: 0= 0%; 1=>0 a 12,5%; 2=>12,5 a 25%; 3=>25 a 50% e 4=>50% (Tatagiba, Liberato, Zambolim, Ventura, & Costa, 2002). Para características de brilho da epiderme (0=ausente e 10=forte), aspecto desidratado (0=ausente e 10=forte) e comercialização (0=rejeito, 10= aceito e 6=limite de aceitação) e para as características de flavor, sabor característico (0=ausente e 10

=forte) e sabor estranho (0=ausente e 10=forte) o julgamento das amostras se deu através de ficha com escala de 10 cm (Queiroz & Treptow, 2006). A preferência de sabor dos avaliadores, foi avaliada por ordenação, onde 1=menos preferida e 4=mais.

## 2.11 Análise estatística

Os dados foram submetidos a análise de variância (ANOVA) pelo tese F (p  $\leq$ 0,05). Para os dias de armazenamento e para a interação entre recobrimentos e dias de armazenamento, aplicou-se análise de regressão polinomial até segundo grau, considerando ajustados modelos que apresentavam coeficiente de determinação ( $R^2$ ) igual ou superior a 60%. Para comparar os recobrimentos foi aplicado teste de Tukey (p  $\leq$  0,05). Utilizou-se o o software SAS® 9.3 (2011) para a realização dessas análises.

## 3. Resultados e Discussão

## 3.1.Taxa respiratória e perda de massa

O mamão é um fruto climatérico, caracterizado por apresentar pico na sua taxa respiratória (CO<sub>2</sub>) e produção de etileno durante o amadurecimento (Singh & Rao, 2011; Zerpa-Catanho et al., 2017). Neste trabalho mamões colhidos verdes com até 5% de traço amarelo sem recobrimento (C), apresentaram pico de CO<sub>2</sub> no 4° dia de armazenamento ao ambiente (64,13 mg/h/kg). Os mamões recobertos com fécula de mandioca combinada com glicerol (SGly), e com solvente natural eutetico profundo mais óleo essencial de laranja doce (SNADES+O) retardaram o pico climatérico em 3 dias no armazenamento ao ambiente, com taxa respiratória de 68,57 e 64,42 mg/h/kg, respectivamente. Por sua vez, quando o solvente natural eutetico profundo foi combinado com fécula de mandioca (SNADES) foi propiciado clara redução da taxa respiratória dos frutos retardando o pico

climatérico em seis dias no armazenamento na condição ambiente (62.77) (Figura 1A), indicando o potencial desta combinação no controle do armazenamento.

O pico climatérico regula uma série de modificações nos frutos como a coloração, a perda de massa, produção de compostos que conferem sabor e aroma aos frutos e aumento da atividade de enzimas envolvidas no amaciamento da polpa (Oliveira et al., 2015; Zerpa-Catanho et al., 2017). Neste sentido, o retardo do pico respiratório pode propiciar aos frutos SNADES manutenção da qualidade por um maior período de tempo, prolongando sua vida útil pós-colheita.

Os recobrimentos de SNADES e SGly reduziram a perda de massa dos frutos durante o armazenamento ao ambiente, apresentando em seu final valores 17,98% inferiores aos frutos recobertos com SNADES+O e controle (Fig.1B). A redução da perda de massa é um fator determinante na vida útil pós-colheita e na qualidade de frutos de mamão, uma vez que minimiza as mudanças negativas na aparência (Ali et al., 2011; Allegra et al., 2017).

O retardo no pico climatérico e a menor perda de massa dos frutos SNADES podem estar associado com as boas propriedades de barreiras que o NADES pode ter proporcionado ao polímero (Zdanowicz & Johansson, 2016), aumentando assim a concentração interna de CO<sub>2</sub> no mamão (Ali et al., 2011), ocasionando o atraso dos processos relacionados com o amadurecimento (Paul & Pandey, 2014) que resultam em menor perda de água dos frutos (Azene, Workneh, & Woldetsadik, 2014; Praseptiangga et al., 2017). Adicionalmente, a presença de ácido oxálico na composição do NADES, também pode ter contribuído na redução da taxa metabólica reduzindo a taxa respiratória e retardado o pico climatérico, como reportado em banana (Huang et al., 2013) e manga (Razzaq et al., 2013), ambos com redução da perda de massa desses frutos.

3.2. Diferença de  $cor(\Delta E)$ , índice de cor(IC), clorofila total, fluorescência máxima (FM), fluorescência variável (FV) e relação FV/FM

A coloração da casca e um dos principais atributos relacionados com a aceitação do consumidor e o melhor índice de maturidade de mamão (Singh & Rao, 2011; Narsaiah et al., 2015). O uso de recobrimento SNADES proporcionou a manutenção da coloração verde da superfície dos mamões 'Sunrise Solo' durante o armazenamento ao ambiente (Fig. 2), apresentando menores índices de cor CI (Fig. 3A) e de mudança de coloração—ΔΕ (Fig. 3B). Mamões recobertos com SGly e SNADES+O apresentaram evolução de coloração amarela mais rápida que os frutos com SNADES (Fig. 2), com maiores índice de CI e ΔΕ. Frutos do controle tiveram os maiores índices de CI e ΔΕ durante o armazenamento ao ambiente, apresentando no 4° dia coloração de casca amarela predominantemente desenvolvida (Fig. 2).

A atraso da cor em mamão pode ser resultado da redução da taxa metabólica, claramente demostrada pela redução da taxa respiratória dos frutos, que pode ter ocasionado uma mudança na atmosfera interna do fruto, acarretando no atraso do amadurecimento e consequente redução na mudança de cor (Ali et al., 2011). Neste sentido, o atraso na mudança de cor dos frutos recobertos com SNADES pode ser devido a baixa taxa metabólica que acarretou no retardo do amadurecimento. Adicionalmente, o ácido oxálico, presente na composição do NADES, também pode ter atuado no retardo do desenvolvimento da coloração dos frutos como reportado para banana (Huang et al., 2013) e nêspera (Öz, Kafkas, & Bozdoğan, 2016).

A degradação da clorofila promove o desenvolvimento da coloração amarela em mamão, logo deve ser minimizada durante o armazenamento (Huang et al., 2013; Lata, Aftab, Homa, Ahmad, & Siddiqui, 2018). Adicionalmente, os principais fatores relacionados com a degradação da clorofila são as mudanças no pH decorrente de

alterações nas membranas do vacúolo e vazamento de ácidos orgânicos, aumento do potencial oxidativo e da atividade da clorofilase, sendo que todos esses mecanismos são regulados pelo etileno e acelerados paralelos ao aumento da atividade respiratória e avanço do amadurecimento (Hörtensteiner & Kräutler, 2011). Neste sentido, mamões recobertos com SNADES apresentaram retardo marcante na da taxa respiratória e no pico climatérico (Fig 1A) e mostraram melhor preservação do conteúdo da clorofila total da casca durante o armazenamento, apresentando menor decréscimo e maiores teores no 10° dia (Fig. 3C). Por sua vez, os frutos controle e recobertos com SNADES+O apresentaram os maiores decréscimos nos teores de clorofila total.

A relação Fv/Fm (Fig. 3D) indica o rendimento quântico máximo do fotossistema II (PSII) e tem sido muito utilizada como índice de avaliação de danos em tecidos vegetais, uma vez que a atividade do PSII tende a ser diminuída sob condições de estresse (Yang, Song, Fillmore, Pang, & Zhang, 2011; Hägele et al., 2016). Mamões recobertos (SNADES, SGly e SNADES+O) mantiveram a relação FV/FM estável durante 10 dias de armazenamento na condição ambiente, por sua vez, os frutos sem recobrimento tiveram acentuada redução a partir do quarto dia de armazenamento, apresentando no último dia valores 9,36% inferiores aos frutos recobertos. Em banana Huang et al. (2013), reportou que durante o avanço do amadurecimento os complexos proteína-clorofila são degradados acarretando em diminuição da relação Fv/Fm. A diminuição da relação Fv/Fm, portanto, está relacionada com o amadurecimento e com o aumento da produção de etileno de banana (Yang et al. 2011) e é considerado um importante indicador de maturação para manga (Lechaudel, Urban, & Joas, 2010; Azerêdo et al., 2016). Adicionalmente, a relação Fv/Fm tem se destacado como um importante predictor da qualidade de frutos, apresentando potencial de uso em sistemas de análises não

destrutivas (Lechaudel et al., 2010; Lou, Hu, Zhang, Sun, & Lu, 2012; Azerêdo et al., 2016).

3.3. Firmeza, sólidos solúveis (SS), acidez titulável (TA), relação SS/TA

A utilização de recobrimentos SNADES manteve a firmeza mais elevada em frutos até o sexto dia de armazenamento na condição ambiente. Por sua vez, os frutos recobertos com SGly apresentaram expressiva redução da firmeza no 4° dia ao ambiente, enquanto frutos controle (C) e recobertos com SNADES+O apresentaram elevada redução de firmeza do 0 ao 4° dia, seguido de estabilização do 4° ao 10° dia (Fig. 4A).

A redução da firmeza do mamão está associada geralmente a atividades de enzimas da parede celular, como pectina metil esterase, poligalacturonase, α-manosidase, α-galactosidase, β-galactosidase, xilanase e celulase, que estão relacionadas com a degradação dos polissacarídeos estruturais e que podem ter sua atividade reduzida pela redução da taxa metabólica (Yao et al., 2012; Singh & Rao, 2011). A perda de firmeza também pode estar associada com a perda de água que causa a perda de turgor celular (Paniagua, East, Hindmarsh, & Heyes, 2013). Neste sentido, os processos que culminaram na redução da taxa respiratória dos frutos recobertos com SNADES podem ter contribuído para manter sua firmeza por mais tempo (Fig. 1A), diminuindo a atividade dessas enzimas e a menor perda de massa (Fig. 1B) mantevecélulas mais tugidas.

Os sólidos solúveis (SS) dos mamões recobertos com SNADES e SGly tiveram incrementos linear e apresentaram os maiores teores no 10° dia de armazenamento. Por sua vez, os frutos do controle e recobertos com SNADES+O apresentaram acréscimos até o sexto dia, seguidos de decréscimo até o 10° dia de armazenamento (Fig 4B). Azene et al. (2014) em mamão 'Solo' sob atmosfera modificada em condição ambiente apresentam maior teor de SS em relação aos do controle, que por sua vez tiveram redução do teor de SS no fim do armazenamento. O aumento nos teores de SS durante o armazenamento está

relacionado com a solubilização de carboidratos mais complexos em mais simples, decorrente do amadurecimento (Waghmare & Annapure, 2013). Por sua vez, o decréscimo posterior do SS como observado nos frutos controle e recobertos com SNADES+O, pode ser devido ao uso dos açucares como substrato para a respiração, pelo aumento da atividade do ciclo de Krebs seguido da senescência dos frutos (Ali, Ong, & Forney, 2014).

Os teores de acidez titulável (TA) apresentaram pequena variação entre os recobrimentos aplicados aos frutos. Frutos controle tiveram incremento no 4° dia, seguido de redução até 10° dia na condição ambiente. Frutos com recobrimentos apresentaram redução na TA e apresentarem teores similares aos frutos controle no 10° dia de armazenamento (Fig. 4C). Zerpa-Catanho et al. (2017), reportaram teores de AT em mamão 'Pococí' que estão próximos dos observados neste trabalho com teores variando de 0,08 a 0,15 g/100g. A diminuição na TA durante o armazenamento de mamão pode ser explicada pelo consumo dos ácidos orgânicos no ciclo de Krebs, que são utilizados como importantes substratos na gliconeogênese durante o amadurecimento de frutos (Narsaiah et al., 2015; Lata et al., 2018), para aumento desenvolvimento das características de qualidade dos frutos.

A relação SS/AT expressa o equilíbrio entre a doçura e a acidez dos frutos, simulando, em parte, o sabor do fruto que é percebido pelos consumidores (Lima et al., 2012). Mamões recobertos com SNADES e SGly apresentaram aumento linear e quadrático da relação SS/TA, respectivamente, com os maiores índices no 10° dia em condição ambiente. Os frutos controle tiveram incremento do 4° ao 8° dia, no entanto apresentaram declínio no 10° dia, com os menores índices (Fig 4D), que pode ter sido devido a depleção dos conteúdos de SS observado do 8° ao 10° dia. Neste sentido, Galo et al. (2014), também reportaram maior relação SS/AT em mamões ' Sunrise Solo'

recobertos com quitosana, quando comparados aos frutos sem recobrimento, que foi relacionando aos maiores níveis de SS.

## 3.4. Qualidade sensorial

Não houve incidência de podridões em frutos de todos os recobrimentos durante os 10 dias de armazenamento ao ambiente, portanto todos os frutos apresentaram severidade de doenças de 0%.

Os frutos controle tiveram média de brilho de epiderme 226% inferiores aos frutos recobertos. A percepção de brilho da epiderme dos frutos recobertos diminuiu ao longo do armazenamento. Entretanto, a utilização de SNADES preservou a percepção do brilho da epiderme frutos, que manteve maiores valores durante o armazenamento ao ambiente (Fig. 5A). Frutos recobertos com SNADES também apresentaram menores percepções pelos painelistas para aspecto desidratado durante o armazenamento, com médias 45% inferiores aos frutos recobertos com SGly, 61,16% inferiores aos frutos recobertos com SNADES+O e 67,80% inferiores aos frutos controle, no 10° dia de armazenamento ao ambiente (Fig. 5B).

O uso de recobrimentos SNADES e SGly mantiveram os frutos 37% e 29%, respectivamente, acima do limite de aceitação ao 10° dia ao ambiente, similar com a aceitação de comercialização dos frutos no início do armazenamento. Por sua vez, os mamões controle tiveram redução linear na aceitação de comercialização que a partir do 6° ficou abaixo do limite de aceitação. Os frutos recobertos com SNADES+O apresentou no 10° dia notas no limite da aceitação dos painelistas (Fig. 5C).

A intensidade de percepção do sabor característico dos frutos recobertos com SNADES e SGly apresentaram acréscimo linear (Fig 5D), com as maiores médias no último dia de armazenamento. Estes frutos também apresentaram a menor percepção de sabor estranho no 10° dia do armazenamento ao ambiente (Fig. 5E). Estes resultados

indicam, que o uso destes recobrimentos não modificaram o sabor dos frutos e os preservaram até os últimos dias de avaliação. Por sua vez, os painelistas perceberam a redução e menor intensidade do sabor característico dos frutos controle e revestido com SNADES+O durante o armazenamento com menores médias (Fig. 5D), bem como a maior percepção de sabor estranho no 10° dia ao ambiente (Fig. 5E).

Com relação a preferência de sabor dos provadores, os frutos revestidos com SNADES e SGly tiveram acréscimo durante o armazenamento com os maiores valores no último dia de armazenamento. Em contraste, os frutos sem recobrimento e revestido com SNADES+O tiveram decréscimo e apresentavam-se menos preferidos no dia 10 (Fig. 5F).

Em conjunto, esses dados demostram que a utilização de recobrimentos SNADES, em mamões 'Sunrise Solo', proporcionou a manutenção da aparência dos frutos e a elevada aceitação de comercialização durante o armazenamento na condição ambiente. Além disso, proporcionou a maior preferência de sabor pelos consumidores de mamões, em conjunto com os frutos SGly, devido o incremento do sabor característico durante o armazenamento e a ausência de sabores estranhos. Ali et al. (2011) também reportaram a superioridade da qualidade sensorial de mamão 'Eksotika II' recobertos com quitosana 1,5% quando comparados aos fruto sem recobrimento, ao final do armazenamento. Adicionalmente, no mercado de frutos frescas só é aceitável o emprego de tecnologias que sejam capazes de atender aos requisitos de segurança alimentar e aceitação dos consumidores (Ali et al., 2014). Neste sentido o fornecimento de frutos de melhor aparência, sabor e de longa vida útil utilizando recobrimentos inócuos a saúde, como os frutos recobertos com SNADES, é um desafio inovador na conservação pós-colheita de frutos. Ressalta-se que a perda de características que conferem a qualidade são também

relacionados com a regulação genética e bioquímica dos frutos (Gomes, Fabi, & Purgatto, 2016).

#### 4. Conclusão

Neste estudo é demonstrado pela primeira vez o efeito da associação de solvente natural eutetico profundo de cloreto de colina e ácido oxálico (NADES) com recobrimentos a base de fécula de mandioca na fisiologia e qualidade de mamão 'Sunrise Solo' durante o armazenamento.

Os mamões recobertos com combinação de NADES com fécula de mandioca (SNADES) apresentaram redução na taxa respiratória, com retardo de 6 dias no pico climatérico, quando comparadas aos frutos sem recobrimento, e de 3 dias quando comparados com os frutos recobertos com fécula de mandioca associado com NADES mais óleo de laranja doce (SNADES+O) e com glicerol (SGly), plastificante mais amplamente usado em recobrimentos a base de polímeros naturais. Frutos recobertos com SNADES também apresentaram maior atraso no desenvolvimento da coloração amarela resultante de menor taxa de degradação de clorofila, e mantiveram a firmeza por mais tempo, indicando retardo no amadurecimento do mamão 'Sunrise Solo'.

Adicionalmente, o emprego de SNADES retardou o declínio nos teores de sólidos solúveis e relação SS/AT, verificado nos frutos sem recobrimento e SNADES+O, propiciando frutos mais saborosos. Além disso, os frutos recobertos com SNADES apresentaram seis dias adicionais de aceite de comercialização, quando comparados com aos frutos sem recobrimento, apresentando elevado brilho e baixo índice de desidratação, bem como foram mais preferidos quanto ao sabor, em conjunto com os frutos recobertos com SGly, devido a elevada percepção de sabor característico e baixa percepção de sabor estranho.

435	Assim, o NADES apresenta potencial para ser usado como agente plastificante e
436	funcional em recobrimentos a base de fécula de mandioca, atuando na manutenção da
437	qualidade e no retardo do amadurecimento de mamão 'Sunrise Solo', prolongando a sua
438	vida útil pós-colheita durante o armazenamento ao ambiente.
439	
440	5. Agradecimentos
441	Os autores, agradecem ao Conselho Nacional de Pesquisa (CNPq) pelo apoio
442	financeiro (subsídios nº 403847 / 2013-3 e nº 401515 / 2014-1), e pela bolsa para o
443	primeiro autor.
444	
445	6. Conflito de interesses
446	Não há conflitos de interesse neste documento.
447	
448	7. Referências
449	Abbott, A. P., Boothby, D., Capper, G., Davies, D. L., & Rasheed, R. K. (2004). Deep
450	Eutectic Solvents formed between choline chloride and carboxylic acids: Versatile
451	alternatives to ionic liquids. Journal of the American Chemical Society, 126(29),
452	
	9142–9147. http://doi.org/10.1021/ja048266j
	9142–9147. http://doi.org/10.1021/ja048266j Ali, A., Muhammad, M. T. M., Sijam, K., & Siddiqui, Y. (2011). Effect of chitosan
453	
453 454	Ali, A., Muhammad, M. T. M., Sijam, K., & Siddiqui, Y. (2011). Effect of chitosan
453 454 455	Ali, A., Muhammad, M. T. M., Sijam, K., & Siddiqui, Y. (2011). Effect of chitosan coatings on the physicochemical characteristics of Eksotika II papaya (Carica
453 454 455 456	Ali, A., Muhammad, M. T. M., Sijam, K., & Siddiqui, Y. (2011). Effect of chitosan coatings on the physicochemical characteristics of Eksotika II papaya (Carica papaya L.) fruit during cold storage. <i>Food Chemistry</i> , 124(2), 620–626. http://doi.org/10.1016/j.foodchem.2010.06.085
453 454 455 456 457	Ali, A., Muhammad, M. T. M., Sijam, K., & Siddiqui, Y. (2011). Effect of chitosan coatings on the physicochemical characteristics of Eksotika II papaya (Carica papaya L.) fruit during cold storage. <i>Food Chemistry</i> , 124(2), 620–626. http://doi.org/10.1016/j.foodchem.2010.06.085  Ali, A., Ong, M. K., & Forney, C. F. (2014). Effect of ozone pre-conditioning on quality
453 454 455 456 457 458 459	Ali, A., Muhammad, M. T. M., Sijam, K., & Siddiqui, Y. (2011). Effect of chitosan coatings on the physicochemical characteristics of Eksotika II papaya (Carica papaya L.) fruit during cold storage. <i>Food Chemistry</i> , 124(2), 620–626. http://doi.org/10.1016/j.foodchem.2010.06.085

- 460 Allegra, A., Sortino, G., Inglese, P., Settanni, L., Todaro, A., & Gallotta, A. (2017). The
- effectiveness of Opuntia ficus-indica mucilage edible coating on post-harvest
- maintenance of "Dottato" fig (Ficus carica L.) fruit. Food Packaging and Shelf Life,
- 463 12(December 2016), 135–141. http://doi.org/10.1016/j.fpsl.2017.04.010
- 464 Azene, M., Workneh, T. S., & Woldetsadik, K. (2014). Effect of packaging materials and
- storage environment on postharvest quality of papaya fruit. *Journal of Food Science*
- 466 and Technology, 51(6), 1041–1055. http://doi.org/10.1007/s13197-011-0607-6
- 467 Azerêdo, L. P. M., Silva, S. M., Lima, M. A. C., Dantas, R. L., & Pereira, W. E. (2016).
- Qualidade de manga "tommy atkins" da produção integrada recoberta com fécula
- de mandioca associada a óleos essenciais e quitosana. Revista Brasileira de
- 470 Fruticultura, 38(1), 141–150. http://doi.org/10.1590/0100-2945-270/14
- 471 Bocqué, M., Voirin, C., Lapinte, V., Caillol, S., & Robin, J. J. (2016). Petro-based and
- bio-based plasticizers: Chemical structures to plasticizing properties. Journal of
- 473 Polymer Science, Part A: Polymer Chemistry, 54(1), 11–33.
- 474 http://doi.org/10.1002/pola.27917
- 475 Carvalho, C., Kist, B. B., Santos, C. E., Filter, M. T., & Cássio, F. (2017). Anuário
- 476 Brasileiro da Fruticultura Brazilian Fruit Yearbook. Editora Gazeta. Santa Cruz do
- 477 Sul: Editora Gazeta.
- 478 Colomines, G., Decaen, P., Lourdin, D., & Leroy, E. (2016). Biofriendly ionic liquids for
- starch plasticization: a screening approach. RSC Advances, 6(93), 90331–90337.
- 480 http://doi.org/10.1039/C6RA16573G
- 481 Engel, V. L., & Poggiani, F. (1991). Estudo da concentração de clorofila nas folhas e seu
- 482 espectro de absorção de luz em função do sombreamento em mudas de quatro
- 483 espécies FLORESTAIS NATIVAS. Revista Brasileira de Fisiologia Vegetal,

- 484 3(January 1991), 39–45.
- 485 FAOSTAT Food and agriculture organization of the united nations. *Roma: FAOSTAT*
- 486 Database Gateway-FAO. Disponível em: <a href="http://www.fao.org/faostat/en/#home/">http://www.fao.org/faostat/en/#home/>.
- 487 Acesso em: 01 Jan. 2017.
- 488 Franco-Vega, A., Reyes-Jurado, F., Cardoso-Ugarte, G., Sosa-Morales, M. E. Palou, E.
- 489 López-Malo, A. (2016). Sweet Orange (Citrus sinensis) Oils. Essential Oils in Food
- 490 Preservation, Flavor and Safety. Londres. Academic Press is an imprint of Elsevier,
- 491 783-790. https://doi.org/10.1016/B978-0-12-416641-7.00089-4
- 492 Galo, J. de Q. B., Souza, M. L. de, Kusdra, J. F., & Mattiuz, C. F. M. (2014). Conservação
- pós-colheita de mamão "Sunrise Solo" com uso de quitosana. Revista Brasileira de
- 494 Fruticultura, 36(2), 305–312. http://doi.org/10.1590/0100-2945-194/13
- Gomes, B. L., Fabi, J. P., & Purgatto, E. (2016). Cold storage affects the volatile profile
- and expression of a putative linalool synthase of papaya fruit. Food Research
- 497 *International*, 89, 654–660. http://doi.org/10.1016/j.foodres.2016.09.025
- 498 Gonzalez-Aguilar, G. A., Villa-Rodriguez, J. A., Ayala-Zavala, J. F., & Yahia, E. M.
- 499 (2010). Improvement of the antioxidant status of tropical fruits as a secondary
- response to some postharvest treatments. Trends in Food Science and Technology,
- 501 21(10), 475–482. http://doi.org/10.1016/j.tifs.2010.07.004
- 502 IAL Instituto Adolfo Lutz. (2005). Métodos físico-químicos para análise de alimentos.
- In O. Zenebon & N. S. Pascuet (4. Ed). Procedimentos e Determinações Gerais. São
- Paulo. Instituto Adolfo Lutz. p. 103–105
- Hägele, F., Baur, S., Menegat, A., Gerhards, R., Carle, R., & Schweiggert, R. M. (2016).
- 506 Chlorophyll Fluorescence Imaging for Monitoring the Effects of Minimal

- Processing and Warm Water Treatments on Physiological Properties and Quality
- Attributes of Fresh-Cut Salads. Food and Bioprocess Technology, 9(4), 650–663.
- 509 http://doi.org/10.1007/s11947-015-1661-2
- Hörtensteiner, S., & Kräutler, B. (2011). Chlorophyll breakdown in higher plants.
- Biochimica et Biophysica Acta Bioenergetics, 1807(8), 977–988.
- 512 http://doi.org/10.1016/j.bbabio.2010.12.007
- Han, J. H. (2014). *Edible Films and Coatings*: A Review. Innovations in Food Packaging:
- Second Edition. Elsevier Ltd. http://doi.org/10.1016/B978-0-12-394601-0.00009-6
- 515 Huang, H., Jing, G., Guo, L., Zhang, D., Yang, B., Duan, X., ... Jiang, Y. (2013). Effect
- of oxalic acid on ripening attributes of banana fruit during storage. Postharvest
- 517 Biology and Technology, 84, 22–27.
- 518 http://doi.org/10.1016/j.postharvbio.2013.04.002
- Lata, D., Aftab, M. A., Homa, F., Ahmad, M. S., & Siddiqui, M. W. (2018). Effect of
- eco-safe compounds on postharvest quality preservation of papaya (Carica papaya
- 521 L.). Acta Physiologiae Plantarum, 40(1), 8. http://doi.org/10.1007/s11738-017-
- 522 2584-5
- Lechaudel, M., Urban, L., & Joas, J. (2010). Chlorophyll fluorescence, a nondestructive
- method to assess maturity of mango fruits (Cv. "cogshall") without growth
- 525 conditions bias. Journal of Agricultural and Food Chemistry, 58(13), 7532–7538.
- 526 http://doi.org/10.1021/jf101216t
- Lima, A. B. de, Silva, S. de M., Rocha, A., Nascimento, L. C. do, & Ramalho, F. de S.
- 528 (2012). Conservação pós-colheita de manga "Tommy Atkins" orgânica sob
- recobrimentos bio-orgânicos. Revista Brasileira de Fruticultura, 34(3), 704–710.
- 530 http://doi.org/10.1590/S0100-29452012000300008

- Lou, H., Hu, Y., Zhang, L., Sun, P., & Lu, H. (2012). Nondestructive evaluation of the
- changes of total flavonoid, total phenols, ABTS and DPPH radical scavenging
- activities, and sugars during mulberry (Morus alba L.) fruits development by
- chlorophyll fluorescence and RGB intensity values. LWT Food Science and
- 535 Technology, 47(1), 19–24. http://doi.org/10.1016/j.lwt.2012.01.008
- Martínez, R., Berbegal, L., Guillena, G., & Ramón, D. J. (2016). Bio-renewable
- enantioselective aldol reaction in natural deep eutectic solvents. *Green Chemistry*,
- 538 18(6), 1724–1730. http://doi.org/10.1039/C5GC02526E
- 539 Motta, J. D., Melo Queiroz, A. J., Figueirêdo, R. M. F., & Sousa, K. D. S. M. (2015).
- 540 Índice de cor e sua correlação com parâmetros físicos e físico-químicos de goiaba,
- manga e mamão. Comunicata Scientiae, 6(1), 74–82. http://doi.org/1678-4499
- Nakamura, N., Sudhakar Rao, D. V., Shiiina, T., Nawa, Y. (2003). Effects of temperature
- and gas composition on respiratory behavior of tree-ripe 'Irwin' mango. Acta
- 544 *Horticulturae*, 600, 425-429. http://doi.org/10.17660/ActaHortic.2003.600.63
- Narsaiah, K., Wilson, R. A., Gokul, K., Mandge, H. M., Jha, S. N., Bhadwal, S., ... Vij,
- S. (2015). Effect of bacteriocin-incorporated alginate coating on shelf-life of
- minimally processed papaya (Carica papaya L.). Postharvest Biology and
- 548 *Technology*, 100, 212–218. http://doi.org/10.1016/j.postharvbio.2014.10.003
- Nunes, L. L. Da, Pereira, M. G., Ribeiro Barros, F., De Brito Barros, G., & Ferreguetti,
- G. A. (2015). Novos híbridos de mamoeiro avaliados nas condições de cultivo
- tradicional e no semiárido brasileiro. Revista Brasileira de Fruticultura, 37(1), 159–
- 552 171. http://doi.org/10.1590/0100-2945-069/14
- Oliveira, M. G., Mazorra, L. M., Souza, A. F., Silva, G. M. C., Correa, S. F., Santos, W.
- 554 C., ... Oliveira, J. G. (2015). Involvement of AOX and UCP pathways in the post-

- harvest ripening of papaya fruits. Journal of Plant Physiology, 189, 42–50.
- 556 http://doi.org/10.1016/j.jplph.2015.10.001
- Öz, A. T., Kafkas, E., & Bozdoğan, A. (2016). Combined effects of oxalic acid treatment
- and modified atmosphere packaging on postharvest quality of loquats during
- storage. Turkish Journal of Agriculture and Forestry, 40(3), 433–440.
- 560 http://doi.org/10.3906/tar-1509-12
- 561 Paiva, A., Craveiro, R., Aroso, I., Martins, M., Reis, R. L., & Duarte, A. R. C. (2014).
- ChemInform Abstract: Natural Deep Eutectic Solvents Solvents for the 21st
- 563 Century. ACS-Sustainable Chemistry & Engineering, 45(24), no-no.
- 564 http://doi.org/10.1002/chin.201424290
- Paniagua, A. C., East, A. R., Hindmarsh, J. P., & Heyes, J. A. (2013). Moisture loss is the
- major cause of firmness change during postharvest storage of blueberry. *Postharvest*
- 567 Biology and Technology, 79, 13–19.
- 568 http://doi.org/10.1016/j.postharvbio.2012.12.016
- Paul, V., & Pandey, R. (2014). Role of internal atmosphere on fruit ripening and
- storability A review. *Journal of Food Science and Technology*, 51(7), 1223–1250.
- 571 http://doi.org/10.1007/s13197-011-0583-x
- 572 Praseptiangga, D., Utami, R., Khasanah, L, U., Evirananda, I, P., & Kawiji. (2017). Effect
- of cassava starch-based edible coating incorporated with lemongrass essential oil on
- 574 the quality of papaya MJ9. IOP Conf. Series: Materials Science and Engineering,
- 575 176, 1–6. http://doi.org/10.1088/1757-899X/176/1/012054
- 576 Queiroz, M. I.; Treptow, R. O. Análise Sensorial para Avaliação da Qualidade dos
- 577 Alimentos. Rio Grande do Sul: Da Furg, 2006.

- 578 Smith E. L., Abbott, A. P., & Ryder, K. S. (2014). Deep eutectic solvents (DESs) and
- their aplications. *Chemical Reviews*, 114, 11060–11082.
- Tatagiba, J. S., Liberato, J. R., Zambolim, L., Ventura, J. A., & Costa, H. (2002). Control
- and favourable weather for anthracnose of papaya. Fitopatologia Brasileira, 27(2),
- 582 186–192. http://doi.org/10.1590/s0100-41582002000200011
- Razzag, K., Khan, A. S., Malik, A. U., Shahid, M., & Ullah, S. (2015). Effect of oxalic
- acid application on Samar Bahisht Chaunsa mango during ripening and postharvest.
- 585 LWT Food Science and Technology, 63(1), 152–160.
- 586 http://doi.org/10.1016/j.lwt.2015.03.069
- 587 Singh, S. P., & Sudhakar Rao, D. V. (2011). Papaya (Carica papaya L.). Postharvest
- Biology and Technology of Tropical and Subtropical Fruits. In E. Yahia (Vol. 4).
- Woodhead Publishing Limited, 86-126. http://doi.org/10.1533/9780857092618.86
- Versino, F., Lopez, O. V., Garcia, M. A., & Zaritzky, N. E. (2016). Starch-based films
- and food coatings: An overview. Starch/Staerke, 68(11–12), 1026–1037.
- 592 http://doi.org/10.1002/star.201600095
- Waghmare, R. B., & Annapure, U. S. (2013). Combined effect of chemical treatment
- and/or modified atmosphere packaging (MAP) on quality of fresh-cut papaya.
- 595 Postharvest Biology and Technology, 85, 147–153.
- 596 http://doi.org/10.1016/j.postharvbio.2013.05.010
- Yang, X., Song, J., Fillmore, S., Pang, X., & Zhang, Z. (2011). Effect of high temperature
- on color, chlorophyll fluorescence and volatile biosynthesis in green-ripe banana
- fruit. Postharvest Biology and Technology, 62(3), 246–257.
- 600 http://doi.org/10.1016/j.postharvbio.2011.06.011

601	Yao, B. N., Tano, K., Konan, H. K., Bédié, G. K., Oulé, M. K., Koffi-Nevry, R., & Arul,
602	J. (2012). The role of hydrolases in the loss of firmness and of the changes in sugar
603	content during the post-harvest maturation of Carica papaya L. var solo 8. Journal
604	of Food Science and Technology, 51(11), 3309–3316.
605	http://doi.org/10.1007/s13197-012-0858-x
606	Zdanowicz, M., & Johansson, C. (2016). Mechanical and barrier properties of starch-
607	based films plasticized with two- or three component deep eutectic solvents.
608	Carbohydrate Polymers, 151, 103–112.
609	http://doi.org/10.1016/j.carbpol.2016.05.061
610	Zerpa-Catanho, D., Esquivel, P., Mora-Newcomer, E., Sáenz, M. V., Herrera, R., &
611	Jiménez, V. M. (2017). Transcription analysis of softening-related genes during
612	postharvest of papaya fruit (Carica papaya L. "Pococí" hybrid). Postharvest Biology
613	and Technology, 125, 42–51. http://doi.org/10.1016/j.postharvbio.2016.11.002
614	Zdanowicz, M., & Johansson, C. (2017). Impact of additives on mechanical and barrier
615	properties of starch-based films plasticized with deep eutectic solvents.
616	Starch/Staerke, 69(11–12), 1–10. http://doi.org/10.1002/star.201700030
617	

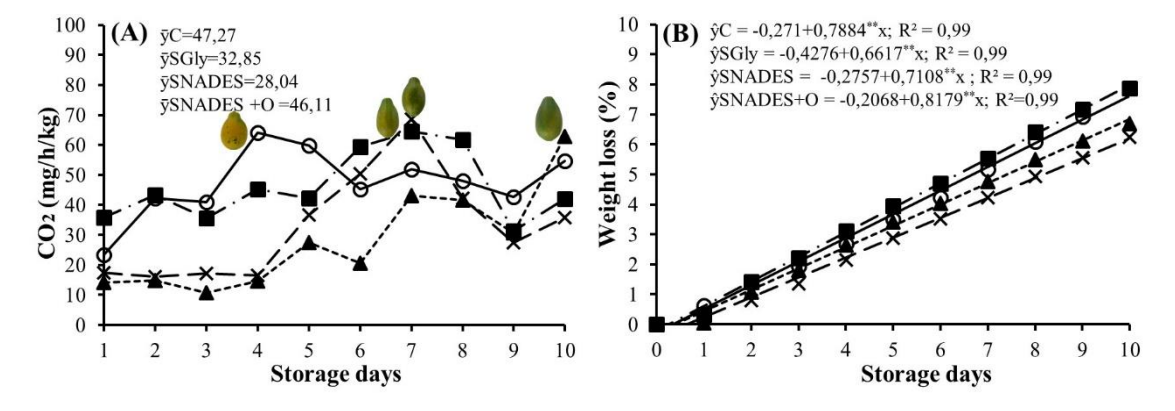
## Legendas de figuras

619

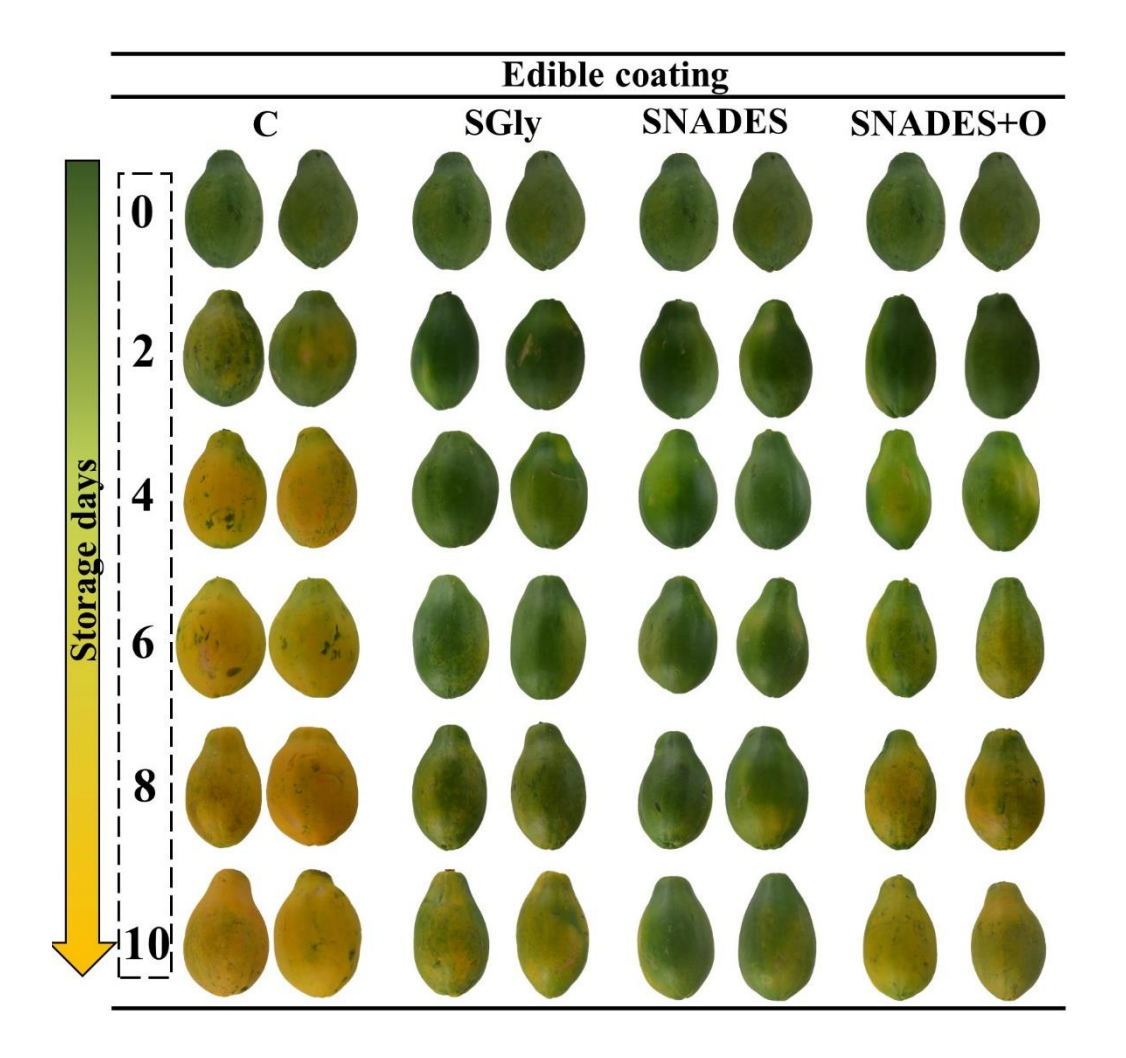
- 620 Fig. 1. Taxa respiratória-CO<sub>2</sub> (A) e perda de massa (B) de mamão 'Sunrise Solo'
- 621 recobertos com a associação de solvente natural eutetico profundo 1% mais fécula de
- mandioca 2,25% (---**A**--- SNADES), com a associação de solvente natural eutetico profundo
- 623 1% mais oléo essecial de laranja doce 0,1% mais fécula de mandioca 2,25% (
- 624 ■ SNADES+O), com a associação de glicerol 1% mais fécula de mandioca 2,25% (
- 625 x SGly) e frutos sem recobrimento (- C) durante 10 dias de armazenamento em
- 626 condição ambiente (24±3°C e 85±5% UR).
- 627 **Fig. 2.** Aspecto visual de mamões 'Sunrise Solo' recobertos com a associação de solvente
- 628 natural eutetico profundo 1% mais fécula de mandioca 2,25% (SNADES), com a
- associação de solvente natural eutetico profundo 1% mais oléo essecial de laranja doce
- 0,1% mais fécula de mandioca 2,25% (SNADES+O), com a associação de glicerol 1%
- mais fécula de mandioca 2,25% (SGly) e frutos sem recobrimento (C) durante 10 dias de
- armazenamento em condição ambiente (24±3°C e 85±5% UR).
- **Fig. 3.** Diferença de cor ΔE (A), índice de cor IC (B), clorofila total (C) e fluorescência
- de clorofila (Fv/Fm) (D) da casca de mamão 'Sunrise Solo' recobertos com a associação
- de solvente natural eutetico profundo 1% mais fécula de mandioca 2,25% (---**A**--- SNADES
- 636 ), com a associação de solvente natural eutetico profundo 1% mais oléo essecial de laranja
- doce 0,1% mais fécula de mandioca 2,25% (-■- SNADES+O), com a associação de
- 638 glicerol 1% mais fécula de mandioca 2,25% (-\*-SGly) e frutos sem recobrimento (
- 639 C) durante 10 dias de armazenamento em condição ambiente (24±3°C e 85±5%
- 640 UR).
- 641 **Fig. 4.** Firmeza (A), sólidos solúveis SS (B), acidez titulável- TA (C) e relação SS/TA
- 642 (D) de mamão 'Sunrise Solo' recobertos com a associação de solvente natural eutetico

643	profundo 1% mais fécula de mandioca 2,25% (
644	solvente natural eutetico profundo 1% mais oléo essecial de laranja doce 0,1% mais fécula
645	de mandioca 2,25% (—■ SNADES+O), com a associação de glicerol 1% mais fécula de
646	mandioca 2,25% (-×-SGly) e frutos sem recobrimento (-⊖-C) durante 10 dias de
647	armazenamento em condição ambiente (24±3°C e 85±5% UR).
648	Fig. 5. Brilho (A), aspecto desidratado (B), comercialização (C), sabor característico (D),
649	sabor estranho (E) e preferência (F) de mamão 'Sunrise Solo' recobertos com a associação
650	de solvente natural eutetico profundo 1% mais fécula de mandioca 2,25% ( <b>A</b> SNADES
651	), com a associação de solvente natural eutetico profundo 1% mais oléo essecial de laranja
652	doce 0,1% mais fécula de mandioca 2,25% (-■- SNADES+O), com a associação de
653	glicerol 1% mais fécula de mandioca 2,25% (-∗-SGly) e frutos sem recobrimento (
654	— C) durante 10 dias de armazenamento em condição ambiente (24±3°C e 85±5%
655	UR).
656	Para brilho, aspecto desidratado, sabor característico e sabor estranho utilizou-se escala de intensidade de
657	10 cm, onde 0=ausente e 10 =forte; para comercialização utilizou-se escala de aceitação de 10 cm onde
658	0=rejeito e 10 é aceito e 6 é o limite de aceitação; para preferência utilizou-se ordenação, onde 1= menos
659	preferido e 4= mais preferido.

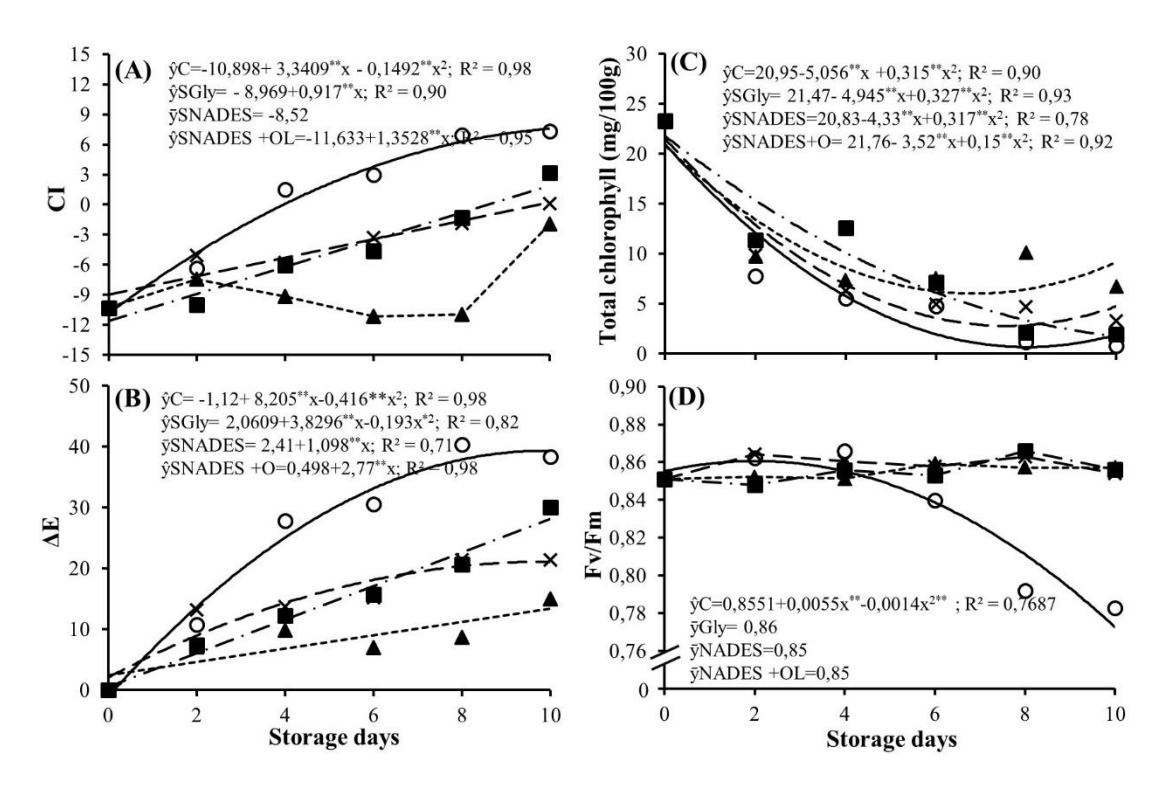
## 661 Figuras



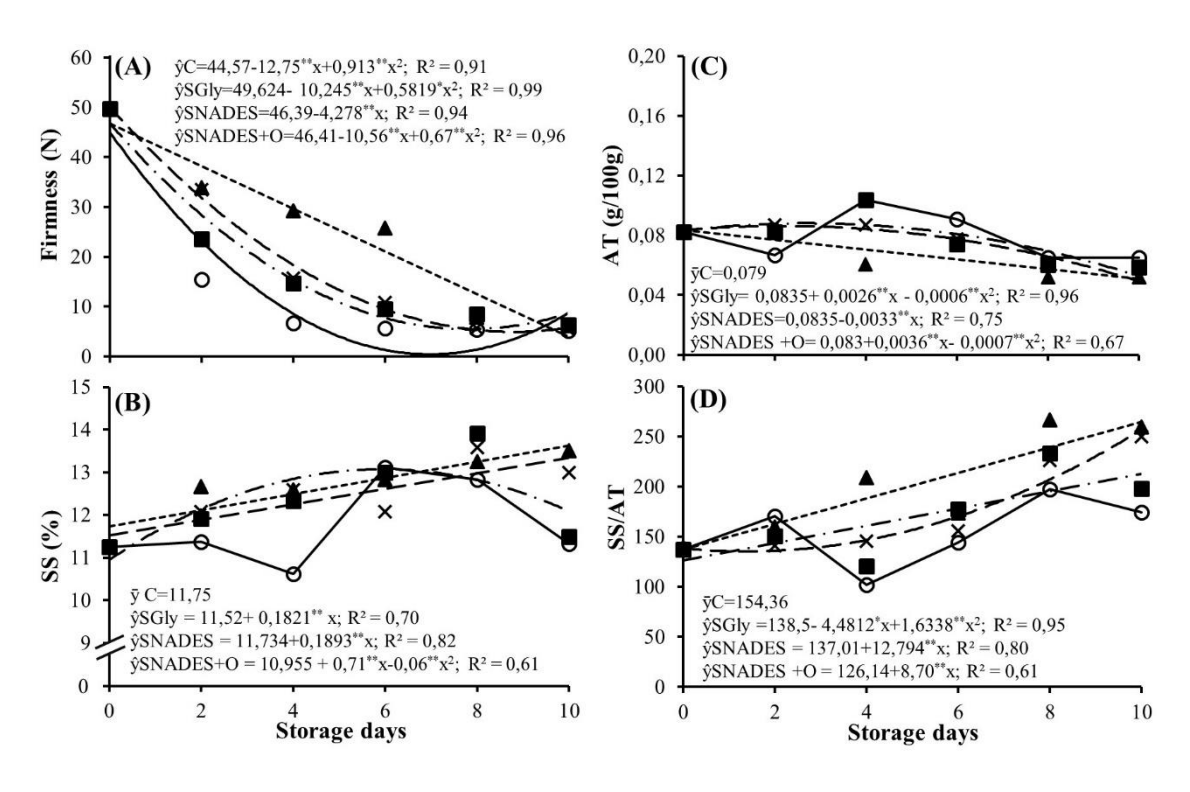
**Fig. 1.** 



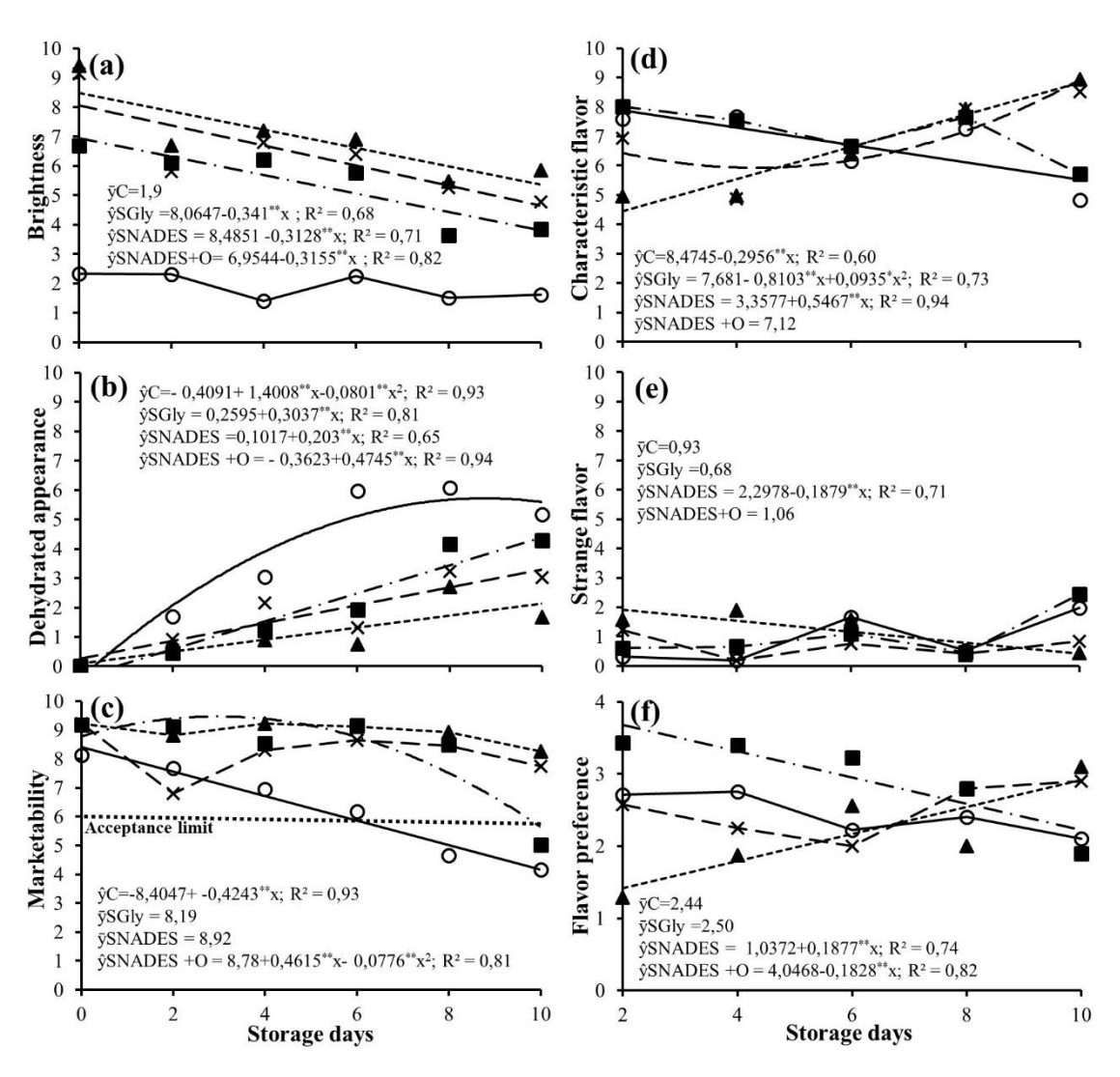
**Fig. 2.** 



**Fig. 3.** 



**Fig 4.** 



**Fig. 5** 

# ARTIGO II

Metabolismo Antioxidante de Mamão 'Sunrise Solo' Sob Recobrimentos Biodegradáveis de Fécula de Mandioca Associada Com Solvente Natural Eutetico Profundo e Óleo Essencial de Laranja Doce

\_\_\_\_\_

Será submetido a Postharvest Biology and Technology

ISSN: 0925-5214

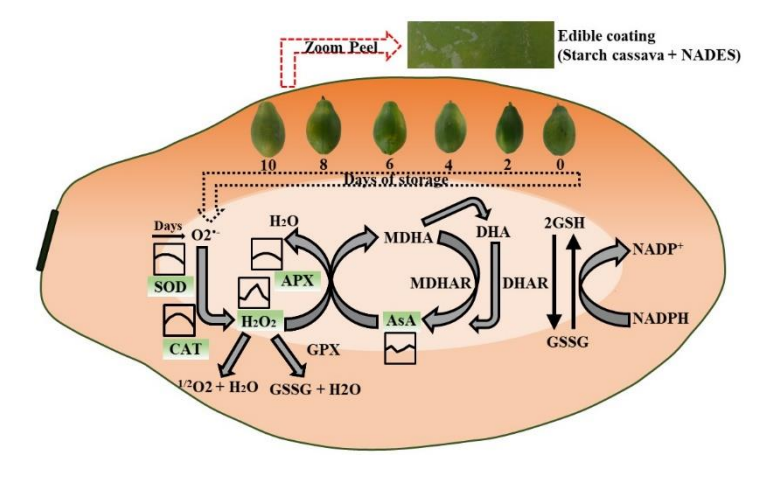
Qualis: A1

Fator de impacto: 3.248

- 1 Metabolismo Antioxidante de Mamão 'Sunrise Solo' Sob Recobrimentos
- 2 Biodegradáveis de Fécula de Mandioca Associada com Solvente Natural Eutetico
- 3 Profundo e Óleo Essencial de Laranja Doce

4

5



6

- 7 Graphical abstract: Mudanças no metabolismo antioxidante de frutos do mamoeiro
- 8 'Sunrise Solo' sob recobrimentos biodegradáveis de fécula de mandioca combinada com
- 9 solvente natural eutetico profundo de cloreto de colina e ácido oxálico (NADES),
- durante10 dias de armazenamento (24±3°C, 85±5% UR).

11

12

13

## Highlights

- 14 NADES podem ser usados como agente plastificante e funcional em recobrimentos
- 15 biodegradáveis
- 16 Recobrimentos contendo NADES melhoram a eficiência na captura de H<sub>2</sub>O<sub>2</sub> em mamão
- 17 O uso de NADES como plastificante proporcionou mamões com maior teor de fenólicos
- 18 e atividade antioxidante
- 19 Recobrimentos contendo NADES e óleo essencial de laranja doce proporcionaram
- 20 maiores acumulos de carotenóides

## Resumo

21

22

23

24

25

26

27

28

29

30

31

32

33

34

35

36

37

38

39

40

41

42

43

44

45

O mamão apresenta elevados teores de antioxidantes, no entanto, é um fruto altamente perecível e com grandes mudanças bioquímicas no amadurecimento. Por sua vez, o equilibrio na dinâmica do metabolismo antioxidante pode garantir o potencial funcional dos frutos por um longo periodo. Recobrimentos biodegradáveis de fécula de mandioca utilizando o glicerol como agente plastificante tem sido testados no prolongamento da vida útil de frutos. No entanto, verifica-se que solventes naturais eutéticos profundos (NADES) apresentam potencial de plastificante e são produzidos de compostos naturais com grande potencial na pós-colheita, como o ácido oxálico. Neste contexto, esse trabalho tem como objetivo avaliar pela primeira vez o efeito da aplicação da associação de NADES de cloreto de colina e ácido oxálico em recobrimentos biodegradáveis a base de fécula de mandioca nos compostos bioativos e metabolismo antioxidante de mamão 'Sunrise Solo' durante o armazenamento ao ambiente. Os frutos foram colhidos e transportados para o LBTPC/CCA/UFPB, onde foram lavados, sanificados, submetidos aos recobrimentos SNADES, fécula de mandioca associada com NADES mais óleo essencial de laranja doce (NADES+O), fécula de mandioca associada com glicerol (SGly) e sem recobrimentos, e armazenados por 10 dias em condição ambiente. As avaliações foram feitas a cada dois dias em DIC. Os dados foram submetidos a ANOVA, realizando análise de regressão polinomial e correlação. Os mamões revestidos com SNADES tiveram menores níveis de H2O2 e maior teor de fenólicos extraíveis totais (TEP) e atividade antioxidante (DPPH\*) no fim do armazenamento. O recobrimento SNADES+O favoreceu maiores acúmulos de carotenoide totais (T. car.), entretanto, propiciou menor TEP e atividade antioxidante (DPPH') no fim do armazenamento. O NADES estudado apresenta potencial para ser usado como agente plastificante e funcional em recobrimentos biodegradáveis de fécula

- de mandioca, atuando na melhoria da eficiência do sistema antioxidante enzimático e no
- incremento de compostos bioativos e atividade antioxidante de mamão.
- 48 Palavras-Chave: Carica papaya, Citrus Aurantium dulces, glicerol, metabolismo
- 49 antioxidante, NADES, recobrimentos biodegradáveis

## 1. Introdução

O mãmão (*Carica papaya L*) é um fruto amplamente cultivado em todo mundo, especialmente em regiões tropicais, apresentando importantes propriedades antioxidantes e elevada demanda nos mercados internacionais (Ali et al., 2014; Singh and Sudhakar Rao, 2011). No Brasil o mamão é a quinta fruta mais produzida com um total de aproximadamente 1,46 milhão de toneladas (Carvalho et al., 2017). Dentre as cultivares de mamão produzidas no Brazil as do grupo solo, como a 'Sunrise Solo', representam 80% da área de plantio, isso devido a elevada aceitação pelos consumidores internacionais (Luz Nunes et al., 2015).

Todavia, o mamão é um fruto climaterico, sendo altamente perecivel e apresentando

Todavia, o mamão é um fruto climaterico, sendo altamente perecivel e apresentando depreciação da qualidade durante o manuseio, armazenamento, transporte, distribuição e varejo (Shadmani et al., 2015). Neste sentido, diversas tecnologias pós-colheita têm sido desenvolvidas para preservar a qualidade de produtos frescos, incluindo luz ultravioleta, recobrimentos biodegradáveis, tratamentos hidrotérmicos entre outros (Gonzalez-Aguilar et al., 2010; Rivera-Pastrana et al., 2014; Shadmani et al., 2015; Supapvanich and Promyou, 2017). Dentre essas os recobrimentos biodegradáveis tem ganhado grande destaque, devido ao carater sustentável, disponibilidade dos componentes e por não causarem danos a saude de humanos e nem ao meio ambiente (Falguera et al., 2011).

A fécula de mandioca tem se destacado amplamente entre os polissacarídeos usados na formulação de recobrimentos biodegradáveis, devido sua elevada abundância no Brasil e ao baixo custo de produção e extração (Oriani et al., 2014). Entretanto, devido a estrutura de matriz a formulação de recobrimentos a base de polissacarídeos necessita da adição de agentes plastificantes, substâncias de baixo peso molecular e que tem por finalidade aumentar a plasticidade dos polímeros (Han, 2014). Neste contexto, o glicerol, um subproduto da indústria do biodiesel, têm sido o agente plastificante mais usado na

formulação de filmes e recobrimentos biodegradáveis (Bocqué et al., 2016). Entretanto, mais recentemente, como novas proposições da química verde, os solventes naturais euteticos profundos (NADES) podem se constituir em alternativa como potentes plastificantes na formulação de recobrimentos biodegradáveis, uma vez que são produzidos de componentes naturais sustentáveis de baixa ou nenhuma toxicidade (Zdanowicz and Johansson, 2016; Zdanowicz and Johansson, 2017).

Os NADES são misturas de dois ou mais componentes naturais em que a temperatura de fusão da mistura (líquida) é muito inferior à temperatura de fusão dos componentes individuais (sólidos) (Abbott et al., 2004; Mouden et al., 2017). Além disso, esses podem ser formulados a partir de diferentes compostos desde que um deles seja um bom doador de hidrogênio e o outro um bom receptor (Paiva et al., 2014). Nesse sentido, o cloreto de colina tem sido um dos composto mais utilizados como cátion na formação dos NADES (Smith et al., 2014; Zdanowicz and Johansson, 2016; Zdanowicz and Johansson, 2017), bem como, os ácidos orgânicos tem apresentado destaque como ânion (Smith et al., 2014).

O ácido oxálico têm sido usado amplamente na conservação pós-colheita como amenizador de estresses oxidativos (Razavi and Hajilou, 2016; Razzaq et al., 2015), estimulado o metabolismo secundário e a síntese de fenólicos (Li et al., 2014; Razavi and Hajilou, 2016; Razzaq et al., 2015), induzido a resistência contra fungos (Ruíz-Jiménez et al., 2014; Deng et al., 2015) e aliviando danos fisiológicos (Huang et al., 2013; Ruíz-Jiménez et al., 2014; Li et al., 2016). Além disso, têm sido eficientemente combinado com colina para a formação de NADES (Smith et al., 2014). Neste contexto, o uso de NADES como plastificante de recobrimentos biodegradáveis podem incorporar eficientemente moléculas de grande potencial na conservação de frutos e hortaliças, como o ácido oxálico, no entanto ainda não foram realizados estudos explorando o potencial do

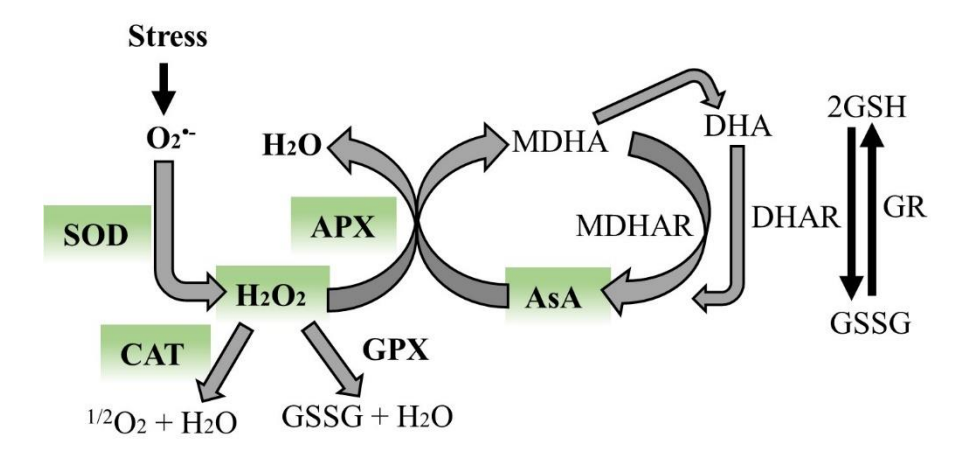
NADES como agente plastificante e funcional de recobrimentos biodegradáveis na manutenção da qualidade de frutos.

Adicionalmente, os recobrimentos biodegradáveis ainda podem ser incorporados de componentes aditivos que possuem propriedades antiescurescimento, antifúngica, antioxidantes entre outras (Villa-Rodriguez et al., 2015). Os óleos essencias vegetais podem fornecer aos filmes e recobrimentos propriedades antioxidantes e antimicrobianas, dependendo da sua composição e das interações com a matriz polimérica (Atarés and Chiralt, 2016). Neste contexto, o óleo essencial de laranja doce tem apresentado elevado potencial antimicrobiano (Torres-Alvarez et al., 2016) e capacidade antioxidante via inibição da peroxidação lipídica induzida por Fe<sub>2</sub><sup>+</sup> (Ademosun et al., 2015).

O mamão é um fruto que apresenta elevado consumo pela qualidade e pela presença de fitoquímicos antioxidantes benéficos para a saúde humana (Ali et al., 2014). Esses compostos fazem parte do metabolismo antioxidante dos frutos que é composto por dois sistemas o enzimático (Fig.1) e o não enzimático (ácido ascórbico, carotenóides e fenólicos), que são responsaveis pela conversão de espécies reativas de oxigênio (ROS) em produtos menos tóxicos (Karuppanapandian et al., 2011). Todavia, a compreesão do equilibrio da dinâmica no metabolismo pode gerar bases para o desenvolvimento de procedimentos voltados para seu potencial funcional (Corpas et al., 2018).

Neste sentido, o uso de recobrimentos biodegradáveis mais eficientes em manter esta dinâmica podem ser promissores para proteger a estabilidade dos agentes antioxidantes, garantindo o potencial antioxidante de frutas e hortaliças por um longo periodo (Villa-Rodriguez et al., 2015). Diante do apresentado, esse trabalho tem como objetivo avaliar pela primeira vez o efeito da aplicação da associação de NADES de cloreto de colina e ácido oxálico em recobrimentos biodegradáveis a base de fécula de

mandioca nos compostos bioativos e metabolismo antioxidante de mamão 'Sunrise Solo' durante o armazenamento em condição ambiente.



**Figura 1.** Produção de espécies reativas de oxigênio (ROS) e as principais reações do sistema antioxidante enzimático (Adaptado de Gill and Tuteja, 2010).

O<sub>2</sub>·: radical superóxido; SOD: superóxido dismutase; H2O2: peróxido de hidrogênio; CAT: catalase; GPX: glutationa peroxidase; GSSG: glutationa reduzida; APX: ascorbato peroxidase; AsA: ácido ascórbico; MDHA: monodehidroascorbato ;MDHAR: monodehidroascorbato redutase; DHA: dehidroascorbato; DHAR: dehidroascorbato redutase; GSH: glutationa na forma reduzida; GR: Glutationa redutase

## 2. Material e Métodos

#### 2.1. Material Vegetal

Mamões da cultivar 'Sunrise Solo' foram colhidos até as 9:00 h da manhã, no estádio de maturidade comercial (fruto verde com traço amarelo de até 5%), em plantios comerciais no município de Sapé-PB, Brasil, sendo acondicionados em caixas plásticas e transportados para o Laboratório de Biologia e Tecnologia Pós-Colheita (LBTPC) do CCA/UFPB, Areia-PB.

A fécula de mandioca (Manihot esculenta Crantz) foi extraída no Laboratório conforme (Lima et al., 2012). O óleo essencial de laranja doce (*Citrus Aurantium dulces*) foi obtido do fabricante Ferquima Ind. e Com. Ltd. (Vargem Grande Paulista-SP, Brasil).

## 145 *2.2.Químicos*

161

162

163

164

165

166

167

168

146 Ácido oxálico, cloreto de colina e Tween 40 foram obtidos de Sigma Aldrich (São 147 Paulo/SP, Brazil). Bicarbonato de sódio e glicerol foram adquiridos de Dinâmica Química 148 Contemporânea LTDA (Diadema/SP, Brazil). Ácido tricloroaxético de Sigma Aldrich 149 (São Paulo/SP, Brazil). Peróxido de hidrogênio, fosfato de potassio monobásico, fosfato 150 de potassio bibásico, iodeto de potássio e ethylenediamine tetraacetic acid (EDTA) foram 151 obtidos de Dinâmica Química Contemporânea LTDA (Diadema/SP, Brazil). 152 Polivinilpirrolidona (PVP), ácido ascórbico e metionina de Labsynth (Diadema/SP, 153 Brazil). Bovine serum albumin (BSA), nitroblue tetrazolium (NBT), riboflavina, 2,6-154 diclorofenolindofenol 0,002% (DFI) foram comprados de Sigma Aldrich (São Paulo/SP, 155 Brazil). Os solventes orgânicos P.A. hexano, etano, ácido cloridrico, metanol, e acetona. 156 foram obtidos de Labsynth (Diadema/SP, Brazil). Folin-Ciocalteau e bicarbonato de 157 sódio de Dinâmica Química Contemporânea LTDA (Diadema/SP, Brazil). Ácido galico, 158 2,2'-Azino-bis(3-ethylbenzothiazoline-6-sulfonic acid) diammonium salt (ABTS), trolox 159 e 2,2-Diphenyl-1-(2,4,6-trinitrophenyl)hydrazyl (DPPH) foram comprados de Sigma 160 Aldrich (São Paulo/SP, Brazil).

## 2.3. Formulação do solvente natural eutetico profundo (NADES)

O solvente natural eutetico profundo (NADES) foi obtido da combinação de ácido oxálico com cloreto de colina. Os componentes foram colocados em balão de vidro selado, adicionados de água ultrapurificada, aquecidos e agitados até a formação de uma mistura eutetica líquida e translucida conforme Abbott, Boothby, Capper, Davies, & Rasheed, 2004. Em seguida, a mistura eutetica foi rotaevaporadorada e os H<sup>+</sup> livres no NADES foram neutralizados com bicarbonato de sódio, sendo o excesso e o sal formado removido por sucessivas centrifugações.

#### 2.4.Preparação dos recobrimentos biodegradáveis

As soluções filmogênicas foram preparadas a partir de suspensões aquosas de fécula de mandioca a 2,25% (w/v), sob aquecimento controlado até atingir a temperatura de 70°C. O NADES á 1% (w/v) e o glicerol a 1% (w/v), foram adicionados na fase de resfriamento da solução filmogênica. O óleo essencial de laranja doce foi inicialmente adicionado a pequenas porções de NADES, Tween 40 e matriz filmogênica, e submetidos a força de cisalhamento com auxílio de ultra turrax. Sequencialmente, foram submetidos a ultrassom por 5 minutos e foram aplicado nas soluções filmogênicas, sob constante agitação, de modo a se obter a concentração final de 0,1%. Todas as concentrações usadas na formulação dos filmes foram determinadas com base em testes prévios.

## 2.5. Aplicação dos recobrimentos

No LBTPC, os frutos foram lavados em água corrente e sanificados com solução de hipoclorito de sódio a 50 mg L<sup>-1</sup>, por 2 minutos. Após secagem em condição ambiente, os seguintes recobrimentos foram aplicados nos frutos: controle (C), sem recobrimento; fécula de mandioca 2,25%+Glicerol 1% (SGly); fécula de mandioca 2,25%+NADES1% (SNADES) e fécula de mandioca 2,25%+NADES1%+óleo de laranja doce 0,1% (SNADES+O). Os frutos foram imersos nos respectivos recobrimentos por 1 minuto e secos em temperatura ambiente, sob telas de aço inox.

## 2.6. Delineamento experimental

Após secagem, os frutos foram acondicionados em bandejas de poliestireno expandido e armazenados em condição ambiente (24±3°C e 85±5°C UR) durante 10 dias, sendo avaliado a cada 2 dias. O delineamento foi o inteiramente casualizado em esquema fatorial 6x4, sendo seis períodos de avaliação e 4 recobrimentos, com 3 repetições, compostas por 2 frutos cada.

#### 2.7.Peróxido de hidrogênio H<sub>2</sub>O<sub>2</sub>

Os níveis de peróxido de hidrogênio (H<sub>2</sub>O<sub>2</sub>) foram derterminados conforme Nukuntornprakit et al. (2015). Cinco gramas de polpa congelada foram homogeneizadas em almofariz previamente resfriado, com 5 mL de ácido tricloroaxético 0,1%. O homogenizado foi centrifugado a 7690g po 20 min a 4°C. Um mL do extrato foi adicionado em 3 mL de tampão de fosfato de potassio 5mM (pH 7,0) e 1 mL de iodeto de potássio. A absorbância do ensaio foi mensurada a 390nm using a spectrophotometer GenesysTM (10S UV-188 VIS). O conteúdo de H<sub>2</sub>O<sub>2</sub> foi derterminado por uma curva padrão preparada com uma solução estoque de 10mM e os resultados foram expresso em μmol de H<sub>2</sub>O<sub>2</sub> por grama de polpa fresca (FW).

#### 2.8.Extração e atividade das enzimas antioxidantes

Todos os ensaios enzimáticos foram determinados pelo mesmo extrato. Três gramas de polpa foram homogeneizadas com 5 mL de tampão fosfato de potássio 100 mM (pH 7,0), contendo contendo 0,1 mM de EDTA e 1% de PVP. Na sequencia, a solução foi centrifugada a 7690g por 20 minutos a 4 °C e o sobrenadante foi usado nas analises enzimaticas. A concentração de proteína dos extratos enzimáticos foi determinada conforme (Bradford, 1976), com leituras a 595 nm e curva padrão de bovine serum albumin-BSA (2,5 á 60 μg mL<sup>-1</sup>).

A atividade da superóxido dismutase (SOD, EC 1.15.1.1) foi determinada pela capacidade de inibição da redução fotoquímica do nitroblue tetrazolium (NBT) conforme Lv et al. (2011). A mistura de reação (1,5 mL) continha 50 mM de tampão fosfato de potássio (pH 7,8), 13 mM de metionina, 100 mM de EDTA, 2 μM de riboflavina, 75 μM de NBT e 50 μL do extrato enzimático. A riboflavina foi adicionada por ultimo, e a reação foi iniciada ligando duas luzes de 30W, permanecendo assim por 5 minutos. A atividade da enzima foi mensurada a 560 nm e uma unidade de SOD foi definida como a quantidade

necessária de enzima que inibe a fotorreducção de NBT em 50% (U mg<sup>-1</sup> protein), sob essas condições experimentais.

Atividade da catalase (CAT, EC 1.11.1.6) foi mensurada pelo monitoramemto da oxidação do H<sub>2</sub>O<sub>2</sub>, através da diminuição da absorbância a 240 nm de acordo com Nukuntornprakit et al. (2015). A mistura de reação (1,5 mL) continha 67 mM de tampão fosfato de potassio (pH 7,0), 12 mM de H<sub>2</sub>O<sub>2</sub> e 100μL do extrato enzimático. A atividade da enzima foi mensurada considerando o coeficiente de extinção de 39.4 mM<sup>-1</sup> cm<sup>-1</sup> e uma unidade de atividade da CAT foi definida como a quantidade de enzima que oxida 1 μmol de peróxido de hidrogênio por minuto por mg proteina (U mg<sup>-1</sup> protein), sob essas condições experimentais.

A atividade da ascorbato peroxidase (APX, EC 1.11.1.11) foi determinada conforme Yang et al. (2009). A mistura de ensaio (1,5 ml) continha 50mM de tampão de fosfato de potassio (pH 7,0), 1 mM de peróxido de hidrogênio, 0,3mM de ácido ascórbico e 100μL de extrato enzimático. O decrescimo de absorbãncia a 290 nm foi acompanhado durante 3 minutos e a atividade enzimática foi calculada com o coeficiente de extinção de 2,8 mM<sup>-1</sup> cm<sup>-1</sup>. Uma unidade de atividade da APX foi definida como a quantidade de enzima que oxida 1 μmol de ácido ascórbico por minuto por mg proteina (U mg<sup>-1</sup> protein), sob essas condições experimentais.

2.9. Ácido ascórbico, carotenóides, flavonoides amarelos e polifenois extraíveis totais

Os niveis de ácido ascórbico foram determinados usando AOAC (2005), 2 gramas de polpa foram homogeneizados com 50 mL de ácido oxálico 0,5 % e foram titulados com solução de DFI (2,6-diclorofenolindofenol 0,002%) até que uma cor rosa se mantivesse por 15s. Os resultados foram expressos em mg 100g-1 de polpa fresca (FW). Os teores de carotenóides totais foram determinados de acordo com Higby, (1962) e modificado usando a solução de extração Hexano PA. As leituras foram realizadas em

espectrofotômetro Genesys 10S UV-VIS a 450 nm e os resultados foram expressos em mg 100g<sup>-1</sup> de polpa fresca (FW).

As concentrações de flavonoides amarelos foram mensuradas conforme Francis, (1982) utilizando solução de extração de etanol PA:HCl 1,5 M (85:15 v:v). Após centrifugação a 7690g durante 15 min, os extratos foram filtrados através de papel Whatman N.1 e lidos em espectrofotômetro a 374 nm. Os resultados foram expressos em mg 100 g<sup>-1</sup> FW.

Os teores de compostos fenólicos extraíveis totais (TEP) foi determinado utilizando o reagente Folin-Ciocalteu como descrito por (Dantas et al., 2015). O extrato foi obitido usando metanol 50% e acetona 70%. Em seguida, uma alíquota do extrato fenólico foi adicionada para 1 mL do reagente Folin-Ciocalteau, 2 mL de carbonato de sódio a 20% e 2 mL de água destilada. As leituras foram realizadas a 700 nm após 30 min de incubação sob condição ambiente e ausência de luz. Os resultados foram calculados com base em uma curva padrão de ácido gálico 98% (0-50 µg) e expressos como equivalentes de ácido gálico (GAE) mg 100 g<sup>-1</sup> de FW.

2.10. Atividade antioxidante total por ABTS \*+ e DPPH\*

A atividade antioxidante total dos extratos fenólicos utilizando o radical ABTS<sup>\*+</sup> foi obtida utilizando três diferentes diluições, em triplicata, onde foram adicionados 3 mL do radical ABTS<sup>\*+</sup> previamente ajustado com etanol P.A. para uma absorbância de 700 ±0,05. As amostras foram lidas a 734 nm em espectrofotômetro Genesys 10S UV-VIS, após 6 minutos da adição do radical. Foi utilizada uma curva padrão Trolox e os resultados foram expressos como TEAC (Trolox Equivalent Antioxidant Capacity) em μM de Trolox g<sup>-1</sup> de polpa fresca (Dantas et al., 2015).

A atividade antioxidante total usando o radical DPPH\* foi determinada de acordo com Dantas et al. (2015). Uma alíquota de 100 µL foi retirada de três diluições (600, 800

e 1000 μL/mL) em triplicata, ao qual foram adicionados 3,9 mL do radical (0,06mM). Como controle, foram utilizados 100 μL da solução de controle (álcool metílico 50% + 70% de acetona + água, razão 4: 4: 2) em vez de extrato fenólico. As leituras foram realizadas a 515 nm em espectrofotômetro, 30 minutos após a adição do radical DPPH\*, e considerando a estabilização da absorbância como base. A atividade antioxidante foi calculada como a concentração de extrato necessário para reduzir em 50% a concentração inicial do radical DPPH\* (EC50), sendo os resultados expressos em g de polpa fresca g-1 de DPPH\*.

## 2.11. Análise estatistica

Os dados foram submetidos a análise de variância (ANOVA) pelo tese F (p  $\leq$ 0,05). Para o período de armazenamento (dias) e a interação entre período de armazenamento e recobrimentos, aplicou-se análise de regressão polinomial até segundo grau, os modelos foram considerados ajustados quando apresentavam coeficiente de determinação ( $R^2$ ) igual ou superior a 60%. Para comparar os recobrimentos foi aplicado teste de Tukey (p  $\leq$ 0,05), essas análises foram realizadas usando o software SAS® 9.3 (2011). Um heat map foi constrúido utilizando o software JMP® 10.0.0. Foi realizada também análise de correlação de Pearson entre os parâmetros do metabolismo antioxidante dos frutos, utilizando o pacote corrplot do software  $R^{\odot}$  (Wei and Viliam, 2017).

## 3. Resultados

3.1. Níveis de  $H_2O_2$  e atividade das enzimas antioxidantes

Os mamões recobertos com fécula de mandioca combinada com solvente natural eutetico profundo (SNADES) apresentaram aumento nos teores de peróxido de hidrogênio (H<sub>2</sub>O<sub>2</sub>) até o sexto dia de armazenamento na condição ambiente, que em seguida, declinou em 28% até o dia 10, onde obtiveram valores inferiores a todos os

demais. Os frutos do controle (C), apresentaram comportamento similar aos frutos recobertos com SNADES, exceto por apresentarem aumento de 21% no conteúdo de  $H_2O_2$  no último dia de armazenamento ao ambiente, o que pode estar relacionado com o aumento das taxas de reações degenerativas resultantes do processo de senescência desses frutos. Os frutos recobertos com fécula de mandioca 2,25% associada com glicerol (SGly) e com solvente natural eutetico profundo mais óleo essencial de laranja (SNADES+O) apresentaram teores mais baixos de  $H_2O_2$  com pouca variação durante o armazenamento ao ambiente (Fig. 2A).

A atividade da superóxido dismutase (SOD) apresentou elevado incremento no segundo dia de armazenamento independentemente do recobrimento aplicado. Mamões recobertos com SNADES mantiveram a alta atividade até o 4° dia, seguindo de brusca redução até o 10° dia de armazenamento ao ambiente, com os menores valores. Frutos recobertos com SNADES+O mostraram redução na atividade da SOD a partir do dia 2 ao dia 8, quando novamente aumentou. Para os frutos recobertos com SGly, a atividade da SOD apresentou redução após o dia 2, seguido de aumento (dia 4) e estabilidade até o 10° dia de armazenamento ao ambiente. Os frutos sem recobrimento tiveram um outro grande aumento na atividade da SOD no dia 6, seguida de diminuição (dia 8), seguida de incremento dia (10) (Fig. 2B).

A atividade da catalase (CAT) em mamões recobertos com SGly e SNADES apresentou comportamento quadrático durante o armazenamento ao ambiente, com incremento no dia 2 e declínio a partir do dia 6. Por sua vez, os frutos recobertos com SNADES tiveram superior atividade da CAT durante quase todo armazenamento ao ambiente (dias 2 a 8). Os mamões recobertos com SNADES+O, obtiveram pequena variação na atividade da CAT apresentando um aumento no dia 2, decréscimo (dia 4) e estabilidade até o fim do armazenamento ao ambiente. O controle (C) teve um aumento

linear da atividade durante o armazenamento ao ambiente, apresentando em seu final um valor 39% superior aos frutos recobertos (Fig. 2C).

A atividade da ascorbato peroxidase (APX) em frutos recobertos com SNADES e SNADES+O apresentou comportamento quadrático durante o armazenamento ao ambiente, com incremento no início e declínio a partir do 6° dia. Mamões recobertos com SGly apresentaram aumento linear da atividade da APX até o dia 6, seguida de redução de 25% para o último dia de armazenamento ao ambiente. Adicionalmente, frutos que receberam recobrimentos apresentaram no 10° dia do armazenamento ao ambiente menores atividades da APX quando comparados ao controle. Por sua vez, frutos sem recobrimento tiveram aumento na atividade da APX no quarto dia de armazenamento, seguida de declínio até o dia 8 e aumento de 36% no 10° dia de armazenamento ao ambiente (Fig. 2D).



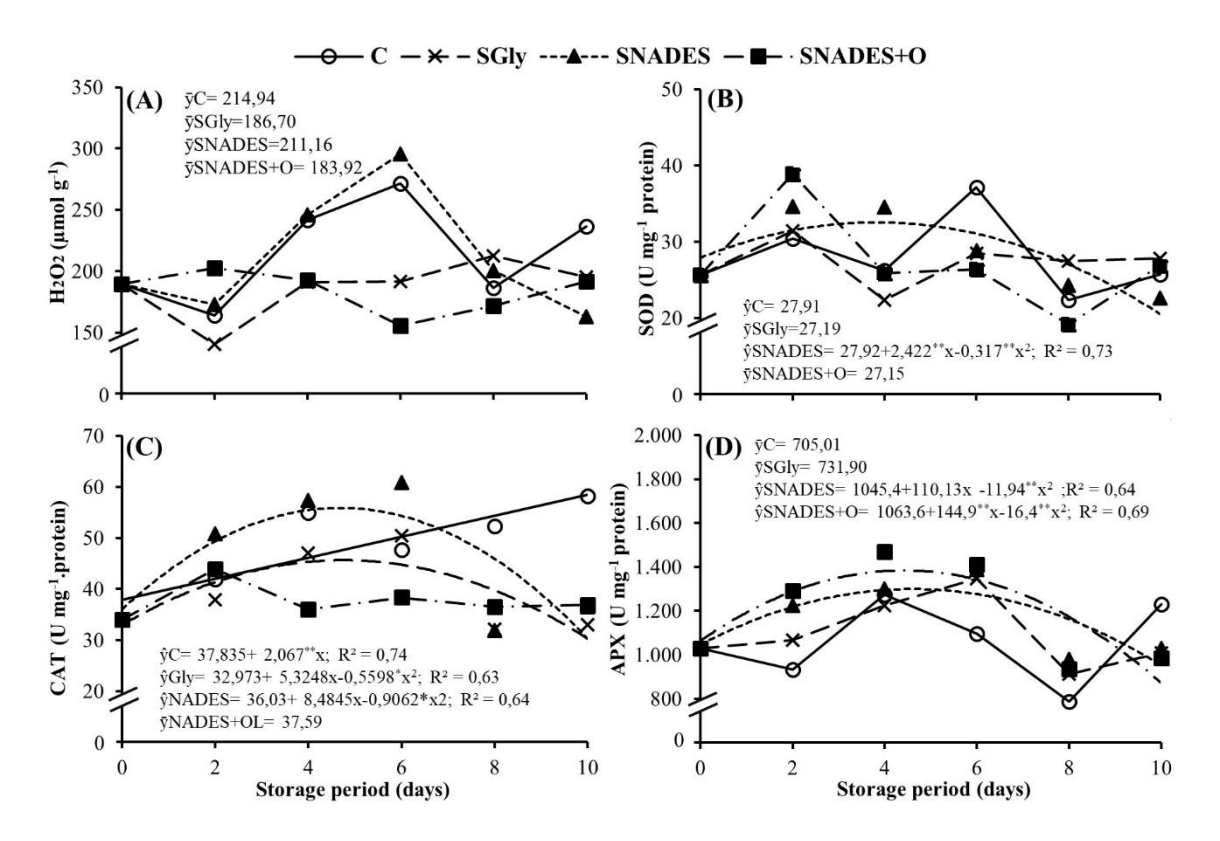


Figura 2. Teores de peróxido de hidrogênio – H<sub>2</sub>O<sub>2</sub> (A) e atividade das enzimas

antioxidantes (B) superóxido dismutase – SOD, (C) catalase – CAT e (D) ascorbato peroxidase-APX, de mamão 'Sunrise Solo' recobertos com a associação de solvente natural eutetico profundo 1% mais fécula de mandioca 2,25% (SNADES), com a associação de solvente natural eutetico profundo 1% mais oléo essencial de laranja doce 0,1% mais fécula de mandioca 2,25% (SNADES+O), com a associação de glicerol 1% mais fécula de mandioca 2,25% (SGly) e frutos sem recobrimento (C) durante 10 dias de armazenamento em condição ambiente (24±3°C e 85±5%UR).

3.2. Teores ácido ascórbico, carotenoides, flavonoides amarelos, e fenólicos extraíveis totais

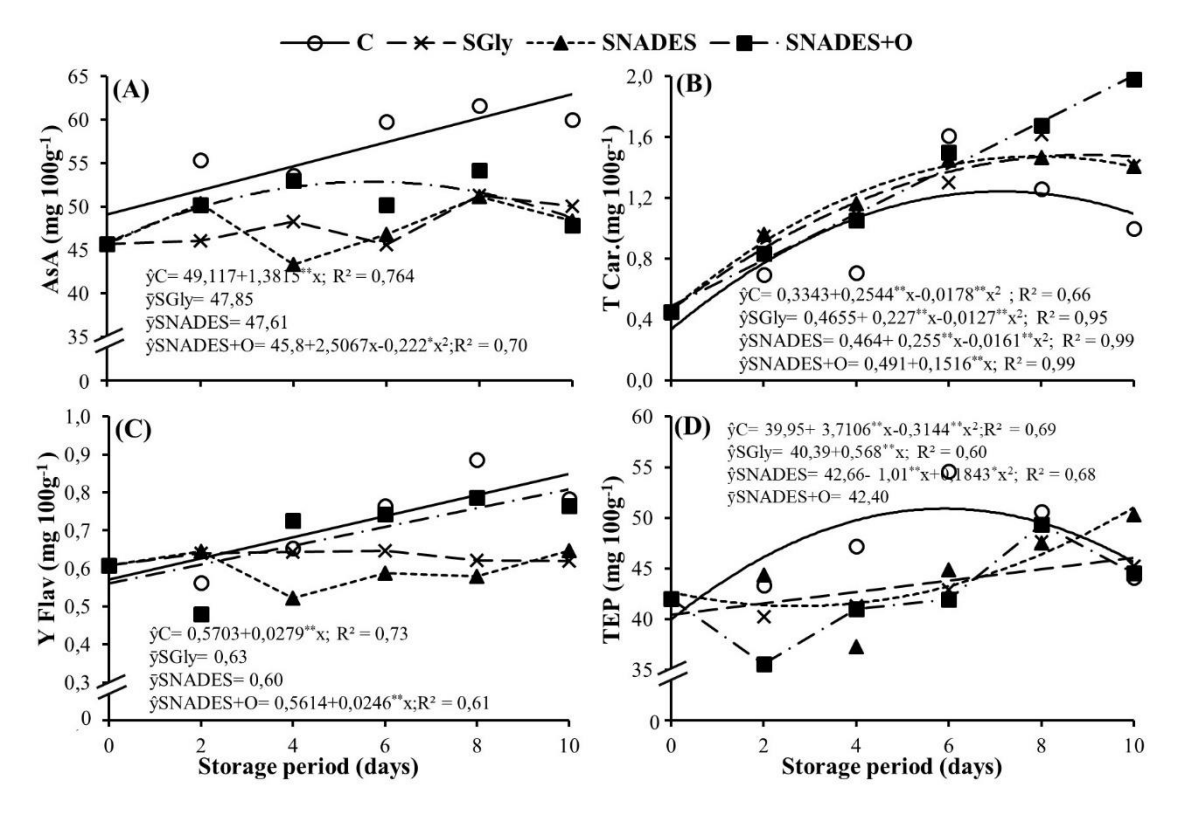
Os frutos sem recobrimento (controle, C) apresentaram aumento linear no conteúdo de ácido ascórbico (AsA), com teor no 10° dia de armazenamento ao ambiente em média 18% superior aos frutos com recobrimento. Frutos recobertos com fécula de mandioca associada com glicerol (SGly) e com solvente natural eutetico profundo (SNADES) mantiveram os níveis de AsA durante armazenamento ao ambiente, com incrementos de 8,8% e 5,5%, respectivamente. O teor de AsA apresentaram comportamento quadrático em mamões recobertos com fécula de mandioca combinada com solvente natural eutetico profundo mais óleo essencial de laranja (SNADES+O), com incremento no início no armazenamento ao ambiente e um leve decréscimo do dia 8 ao 10 (Fig. 3A).

Os teores de carotenoides totais (T car.) aumentaram durante o armazenamento ao ambiente independente dos recobrimentos aplicados, no entanto, frutos recobertos com SNADES+O apresentaram acréscimo linear e foram os que mais acumularam carotenoides, apresentando nos últimos dias de armazenamento ao ambiente maiores conteúdos quando comparados aos demais. Mamões recobertos com SGly e com SNADES tiveram comportamento quadrático no incremento de T car. e apresentaram os

segundos maiores valores no 10° dia de armazenamento ao ambiente. Frutos sem recobrimento também apresentaram comportamento quadrático para o acumulo de T car durante o armazenamento ao ambiente, no entanto esses frutos apresentaram um menor incremento quando comparado aos demais (Fig. 3B).

O conteúdo de flavonoide amarelo (Y flav) aumentou de forma linear em mamões sem recobrimentos e recobertos com SNADES+O, apresentando maiores teores aos 10 dias de armazenamento ao ambiente quando comparado aos demais. Os Y flav de frutos recobertos com SGly mantiveram-se constantes durante o armazenamento ao ambiente com teor médio de 0,63 mg 100<sup>-1</sup>. Frutos revestidos com SNADES também apresentaram pequena variação nos teores de Y flav ao longo do armazenamento ao ambiente, com um pequeno declínio no dia 4 seguido de acréscimo até 10° dia e com teor médio de de 0,60 mg 100<sup>-1</sup> (Fig. 3C).

Os mamões recobertos com SNADES tiveram acréscimo quadrático nos teores de fenólicos extraíveis totais (TEP) e apresentaram os maiores teores no 10° dia de armazenamento ao ambiente com média de 50,29 mg 100g<sup>-1</sup>. Frutos recobertos com SGly apresentaram aumento linear nos níveis de TEP. Os mamões sem recobrimento tiveram comportamento quadrático de TEP durante o armazenamento na condição ambiente, com elevado incremento até o dia 6 (54,6 mg 100g<sup>-1</sup>) e posterior decréscimo de 19% no 10° dia. Os TEP dos frutos recobertos com SNADES+O apresentaram aumento linear do dia 2 ao 8 e decréscimo no dia 10 (Fig. 3D).



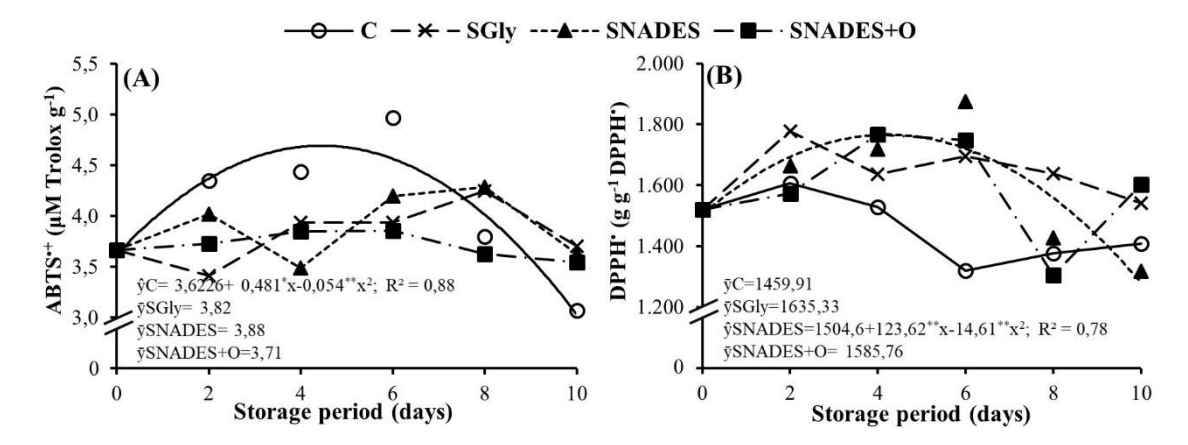
**Figura 3.** Teores de compostos bioativos, (A) ácido ascórbico - AsA, (B) carotenóides totais – T Car., (C) flavonoides amarelos – Y flav e (D) fenólicos extraíveis totais – TEP de mamão 'Sunrise Solo' recobertos com a associação de solvente natural eutetico profundo 1% mais fécula de mandioca 2,25% (SNADES), com a associação de solvente natural eutetico profundo 1% mais oléo essencial de laranja doce 0,1% mais fécula de mandioca 2,25% (SNADES+O), com a associação de glicerol 1% mais fécula de mandioca 2,25% (SGly) e frutos sem recobrimento (C) durante 10 dias de armazenamento em condição ambiente (24±3°C e 85±5% UR).

## 3.3. Atividade antioxidante total pela captura dos radicais ABTS\*+ and DPPH\*

A atividade antioxidante pela captura do radical ABTS<sup>\*+</sup>(ABTS<sup>\*+</sup>) nos mamões sem recobrimento (Controle, C) apresentou comportamento quadrático durante o armazenamento ao ambiente, com aumento da atividade até o 6° dia, seguido de declinio de 38% até o dia 10. Adicionalmente, frutos sem recobrimentos tiveram menores valores

de captura do ABTS<sup>++</sup> quando comparadas aos recobertos, no 10° dia de armazenamento ao ambiente. Mamões recobertos com fécula de mandioca associada a solvente natural eutetico profundo (SNADES) tiveram aumento no sequestro do radical ABTS<sup>++</sup> no 6° e 8° dia de armazenamento ao ambiente, seguido de redução 10° dia. Frutos recobertos com fécula de mandioca combinada a glicerol (SGly) apresentaram aumento linear do 2° dia ao 8° e redução de 13% no 10° dia de armazenamento ao ambiente. Para os frutos recobertos com fécula de mandioca combinada com SNADES mais óleo de laranja (SNADES+O) observa-se pequena variação na atividade antioxidante por ABTS<sup>++</sup> durante o armazenamento ao ambiente, com leve redução de 7,9% % do 6° ao 10° dia (Fig. 4A).

A atividade antioxidante medida pela captura do radical DPPH' (DPPH'), foi expressa em g g<sup>-1</sup> de DPPH', ou seja quanto menor a quantidade de gramas de polpa necessárias para para reduzir gramas de DPPH' maior será a atividade antioxidante. Neste contexto, Os frutos sem recobrimento tiveram a maior atividade antioxidante DPPH' com incremento do 2° até o 6° dia de armazenamento ao ambiente, seguido de declinio de 6,36 % até 10° dia. A capacidade de sequestro do radical DPPH' de mamões recobertos com SNADES apresentou comportamento quadrático durante o armazenamento ao ambiente, tendo no ultimo dia a maior atividade antioxidante quando comparada aos demais. Mamões recobertos com SGly apresentaram incremento na captura do DPPH' do 4° até 10° dia. No entanto, os seus valores no fim do armazenamento ao ambiente foram 8,6% inferiores aos frutos recobertos com SNADES. Por sua vez, frutos recobertos com SNADES+O tiveram diminução na capacidade de sequestro do DPPH' do 2° ao 6° dia de armazenamento ao ambiente, seguido de aumento de 25% no dia 8 e declinio de 18% no dia 10,indicando uma menor atividade antioxidante no fim do armazenamento na condição ambiente (Fig. 4B).



**Figura 4.** Atividade antioxidante total pelas metodologias de captura dos radicais (A) ABTS<sup>\*+</sup> e (B) DPPH\* de mamão 'Sunrise Solo' recobertos com a associação de solvente natural eutetico profundo 1% mais fécula de mandioca 2,25% (SNADES), com a associação de solvente natural eutetico profundo 1% mais oléo essencial de laranja doce 0,1% mais fécula de mandioca 2,25% (SNADES+O), com a associação de glicerol 1% mais fécula de mandioca 2,25% (SGly) e frutos sem recobrimento (C) durante 10 dias de armazenamento em condição ambiente (24±3°C e 85±% UR).

## 3.4. Heat map e Correlação

Um heat map foi montado visando mostrar com maior detalhamento as mudanças no metabolismo antioxidante de mamões 'Sunrise Solo' sob diferentes recobrimentos biodegradáveis e armazenado por 10 dias na condição ambiente(Fig. 5).

Frutos sem recobrimento (controle, C) tiveram aumento nos níveis de peróxido de hidrogênio ( $H_2O_2$ ) a partir do quarto dia de armazenamento ao ambiente (P4), logo após o expressivo aumento da atividade da superóxido dismutase (SOD) no dia 2 (P2). No P4 também ocorreu aumento na atividade das enzimas catalase (CAT) e ascorbato peroxidase (APX) destes frutos. Durante o  $6^\circ$  dia (P6) observou-se o aumento expressivo nos niveis de ácido ascórbico (AsA), carotenóides totais (T. Car), flavonoides amarelos (Y Flav) e polifenois extraiveis totais (TEP) que resultou em maior atividade antioxidante

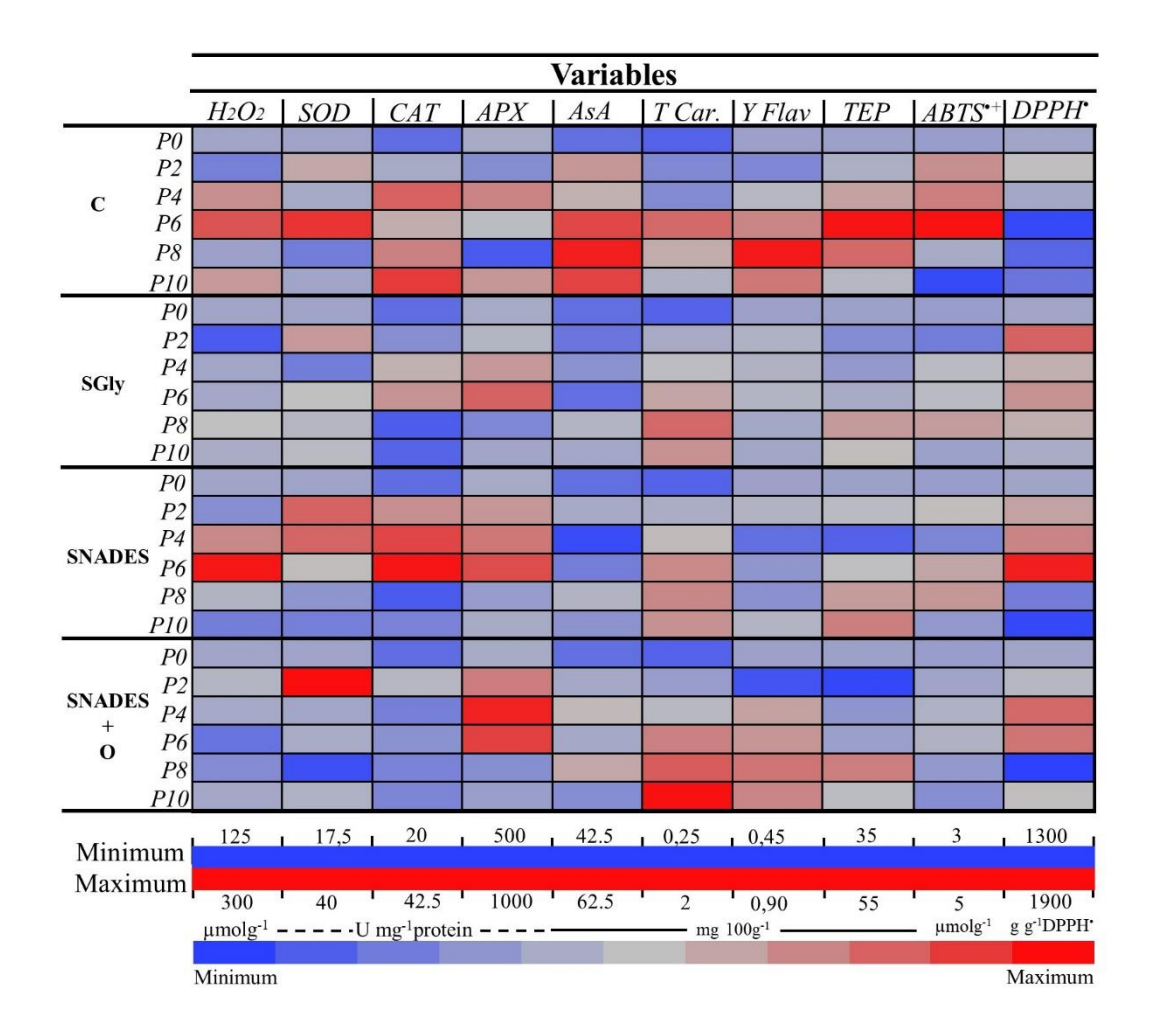
por ABTS<sup>\*+</sup> e DPPH<sup>\*</sup>, neste periodo ainda observa-se um novo pico de atividade da SOD. Por sua vez, ao final do armazenamento ao ambiente, dias 8 (P8) e 10 (P10) ocorreu a redução dos conteudos de TEP, T Car. e das atividades antioxidantes ABTS<sup>\*+</sup> e DPPH<sup>\*</sup>, bem como, um novo aumento dos níveis de H<sub>2</sub>O<sub>2</sub> e da atividade das enzimas CAT e APX. Adicionalmente, os teores de AsA e Y flav desses frutos se manteram altos até os ultimos dias de armanzenamentos ao ambiente e foram superioresque nos frutos com recobrimentos.

Frutos recobertos com fécula de mandioca combinada com glycerol (SGly) apresentaram expressivo aumento na atividade da SOD no P2 e incrementos nos níveis de H<sub>2</sub>O<sub>2</sub> a partir do 4° dia (P4) de armazenamento ao ambiente. Do período P4 ao P6, observou-se um aumento expressivo da atividade das enzimas CAT e APX nos frutos. Por sua vez, ao final do armazenamento ao ambiente (8 e 10) ocorreu uma brusca redução da atividade dessas enzimas. No dia 8 ocorreu um expressivo aumento nos conteúdos de T Cat., TEP e da atividade antioxidante por DPPH e ABTS\*+. Entretanto, esse aumento não persiste até o ultimo dia de armazenamento, quando observou-se uma forte redução dos níveis desses compostos e da atividade antioxidante.

Mamões recobertos com fécula de mandioca associada com solvente natural eutetico profundo (SNADES) apresentaram elevado aumento da atividade da enzima SOD nos dias 2 e 4 e expressivo incremento dos níveis de H<sub>2</sub>O<sub>2</sub> nos dias 4 e 6. Nos dias 2, 4 e 6 também ocorreu o aumento da atividade das enzimas CAT e APX. Por sua vez, no final do armazenamento ao ambiente (dias 8 e 10), houve o decrescimo dos níveis de H<sub>2</sub>O<sub>2</sub> e das atividades das enzimas SOD, CAT e APX e o aumento expressivo no conteúdo de T car., Y Flav, TEP e da atividade antioxidante por ABTS<sup>++</sup> (dia 8) e DPPH<sup>+</sup>. Adicionalmente, os frutos recobertos com SNADES tiveram menores teores de H<sub>2</sub>O<sub>2</sub> e maiores teores TEP e maior atividade antioxidante DPPH<sup>+</sup> no 10° dia de armazenamento

ao ambiente quando comparados aos demais, demonstrando grande eficiência do sistema antioxidante na captura do  $H_2O_2$  e, portanto, superior qualidade funcional.

Os frutos recobertos com com fécula de mandioca associada com solvente natural eutetico profundo mais óleo de laranja (SNADES+O) apresentaram expressivo aumento na atividade da SOD, CAT e APX no 2° dia de armazenamento ao ambiente, bem como elevado aumento nos níveis de  $H_2O_2$  no P4. Nos periodos P8 e P10, ocorreu uma brusca redução da atividade da ascorbato peroxidase e um intenso incremento nos teores de Y flav. e T Car, que já vinham aumentando desde o P4. Os teores de TEP e a atividade antioxidante por ABTS\*+ e DPPH\*+, tiveram incremento no P8. No entanto apresentaram, brusca diminuição no ultimo dia de armazenamento ao ambiente (P10).



**Figure 5.** Heat map mostrando com detalhamento as diferenças no metabolismo antioxidante de mamão 'Sunrise Solo' recobertos com a associação de solvente natural eutetico profundo 1% mais fécula de mandioca 2,25% (SNADES), com a associação de solvente natural eutetico profundo 1% mais oléo essencial de laranja doce 0,1% mais fécula de mandioca 2,25% (SNADES+O), com a associação de glicerol 1% mais fécula de mandioca 2,25% (SGly) e frutos sem recobrimento (C) durante 10 dias de armazenamento em condição ambiente (24±3°C e 85±5% UR).

P0: 0 dias; P2: 2 dias; P4: 4 dias; P6: 6 dias; P8: 8 dias; P10: 10 dias. H<sub>2</sub>O<sub>2</sub>: peróxido de hidrogênio; SOD: superóxido dismutase; CAT: catalase; APX: ascorbato peroxidase; AsA: ácido ascórbico; T Car.: carotenóides totais; Y flav: flavonoides amarelos; TEP: fenólicos extraíveis totais. ABTS\*+: atividade antioxiante total usando o radical ABTS\*+; DPPH\*: atividade antioxiante usando o radical DPPH\*.

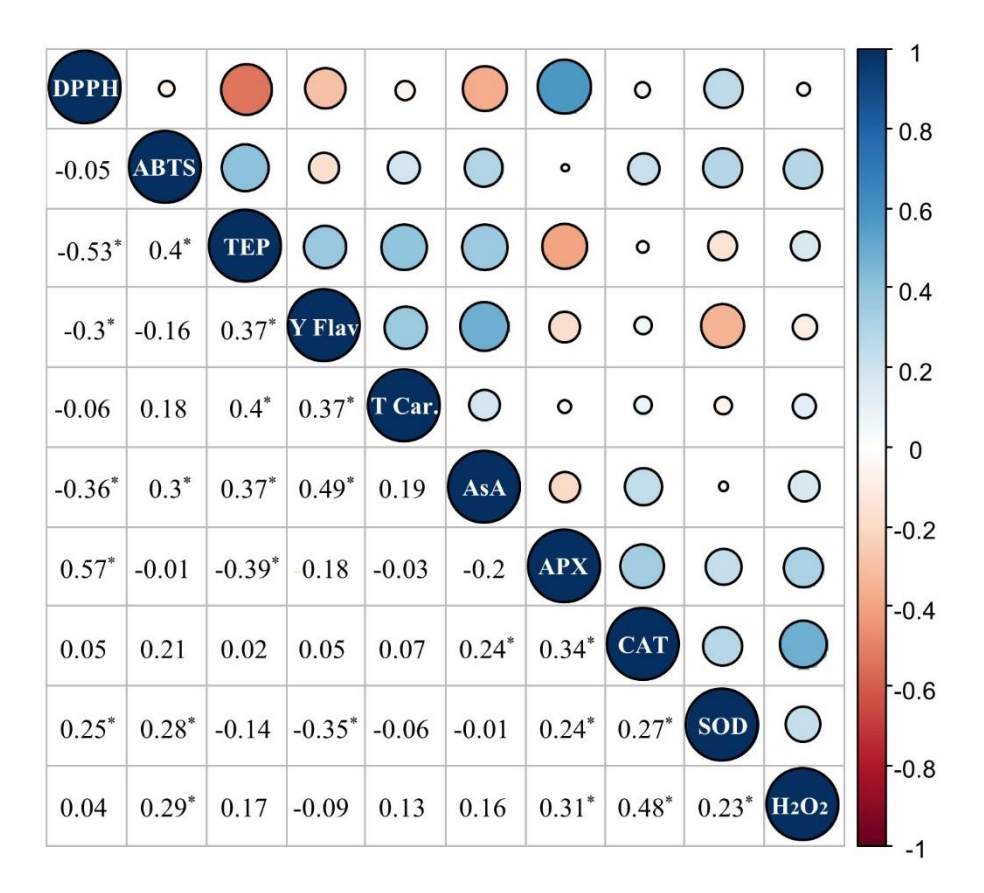
Na figura 6 é mostrada as principais correlações das variáveis relacionadas com o metabolismo antioxidante de mamão 'Sunrise Solo' sob com diferentes recobrimentos e armazenados ao ambiente durante 10 dias. Os teores de peroxido de hidrogênio estão correlacionados positivamente com a atividade das enzimas antioxidantes superóxido dismutase (SOD), catalase (CAT) e ascorbato peroxidase (APX) e com a atividade antioxidante por ABTS\*+.

A atividade da SOD, enzima responsável pela dismutação de íons superóxidos em  $H_2O_2$  (Fig 1.) está correlacionado positivamente com a atividade das enzimas CAT e APX que são responsáveis pela redução do  $H_2O_2$  a água (Fig. 1). A SOD também apresenta correlação positiva com o conteúdo de flavonoides amarelos (Y Flav), atividade antioxidante por ABTS\*+.e com os maiores valores de grama de polpa por grama de DPPH\*, indicando assim que quando SOD tá alta há uma menor captura desse radical. A CAT apresenta correlação positiva com a atividade da APX e com os níveis de ácido

ascórbico (AsA). A APX se correlacionou negativamento com os teores de fenólicos extraiveis totais (PET) e positivamente com valores de g de polpa com DPPH\*.

Os teores de AsA apresentam correlação positiva com os conteúdos de T Flav, TEP e atividade antioxidante ABTS<sup>\*+</sup> e correlação negativa com os valores de grama de polpa por grama de DPPH\*, indicando incremento da atividade antioxidante quando AsA é alto. Os conteúdos de carotenóides totais (T car.) mostraram correlação positiva apenas com os teores de Y Flav e TEP. O TEP tiveram correlação positiva com a atividade antioxidante por ABTS<sup>\*+</sup> e negativa com os valores de g g DPPH\*.





**Figura 6.** Correlação de variáveis relacionadas com o metabolismo antioxidante de mamão 'Sunrise Solo' recobertos com a associação de solvente natural eutetico profundo 1% mais fécula de mandioca 2,25% (SNADES), com a associação de solvente natural eutetico profundo 1% mais oléo essencial de laranja doce 0,1% mais fécula de mandioca 2,25% (SNADES+O), com a associação de glicerol 1% mais fécula de mandioca 2,25%

(SGly) e frutos sem recobrimento (C) durante 10 dias de armazenamento em condição ambiente (24±3°C e 85±5% UR). n=72.

\*signifativo a 5% de probabilidade pelo teste T. H<sub>2</sub>O<sub>2</sub>: peróxido de hidrogênio; SOD: superóxido dismutase;

CAT: catalase; APX: ascorbato peroxidase; AsA: ácido ascórbico; T. Car.: carotenóides totais; Y flav:

flavonoides amarelos; TEP: fenólicos extraíveis totais. ABTS\*+: atividade antioxiante total usando o radical

ABTS\*+; DPPH\*: atividade antioxiante usando o radical DPPH\*.

#### 4. Discussão

O mamão é uma fruto climatérico, cujo o amadurecimento é caracterizado por uma explosão oxidativa (Corpas et al., 2018). Portanto, estes frutos tendem a ter um aumento da produção de peróxido de hidrogênio (H<sub>2</sub>O<sub>2</sub>) durante o amadurecimento (Pandey et al., 2013) como observado aqui nas figura 2A e figura 5. Adicionalmente, os frutos recobertos com fécula de mandioca combinada com solvente natural eutetico profundo (SNADES), apresentaram incremento inicial nos níveis de H<sub>2</sub>O<sub>2</sub> até o 6° dia, entretanto a partir deste dia apresentou decréscimo e teve os menores teores de captura do H<sub>2</sub>O<sub>2</sub> pelas enzimas catalase (CAT) e ascorbato peroxidase (APX) (Corpas et al., 2018; Wang and Gao, 2013) que apresentaram elevadas atividade até o 6° dia (Fig. 5). Os frutos sem recobrimento (controle, C) apresentaram comportamento similar aos recobertos com SNADES, exceto pelo expressivo aumento dos níveis de H<sub>2</sub>O<sub>2</sub> no 10° dia de armazenamento ao ambiente (Fig. 2A), que está relacionado com o aumento da intensidade dos processo de amadurecimento provavelmente em consequência do incremento na peroxidação lipídica (Resende et al., 2012; Repetto et al., 2012).

A superóxido dismutase (SOD) é a primeira linha de defesa contra as espécies reativas de oxigênio e catalisa a dismutação do ânion superóxido  $(O_2^-)$  em moléculas de  $H_2O_2$  (Huan et al., 2016) como é mostrado na figura 1. A Catalase é a principal enzima responsável pela decomposição do  $H_2O_2$  sem a utilização de outros redutores (Fig. 1)

(Karuppanapandian et al., 2011). Pandey et al (2013) reportaram o incremento linear da atividade da catalase durante o avanço da maturação do mamão 'Pusa Majesty', como claramente mostrado neste trabalho em mamões sem recobrimento (Fig. 2C). O aumento da atividade da CAT provavelmente tem como objetivo reduzir os danos ocasionados pelos níveis tóxicos de H<sub>2</sub>O<sub>2</sub> no metabolismo dos tecidos (Karuppanapandian et al., 2011). A APX é a enzima responsável pela desintoxicação de H<sub>2</sub>O<sub>2</sub> usando o ácido ascórbico como substrato doador (Fig. 1) (Corpas et al., 2018). Resende et al (2012), verificaram em mamão 'Golden' comportamento similar ao observado nesse experimento para a APX (Fig. 2D), com aumento da atividade no início e declínio no final do armazenamento. Adicionalmente, , como aqui também é reportado (Fig. 6) a atividade das enzimas antioxidantes são relacionadas positivamente com os teores de H<sub>2</sub>O<sub>2</sub> (Karuppanapandian et al., 2011; Pandey et al., 2013), ou seja, uma vez que os teores de H<sub>2</sub>O<sub>2</sub> estão baixos ocorre a diminuição da atividade destas enzimas, como foi observado para as atividade da SOD, CAT e APX durante o armazenamento ao ambiente de mamões recobertos com fécula de mandioca combinada com solvente natural eutetico profundo (SNADES) e com solvente natural eutético profundo mais óleo de laranja (SNADES+O) (Fig 5). Por sua vez, mamões sem recobrimento (C) deste estudo apresentaram aumento das atividades destas enzimas no final do armazenamento, em decorrência de apresentarem altos valores de H<sub>2</sub>O<sub>2</sub> (Fig. 5).

542

543

544

545

546

547

548

549

550

551

552

553

554

555

556

557

558

559

560

561

562

563

564

565

566

Durante os primeiros estágios do amadurecimento o sistema antioxidante protege os frutos contra os danos oxidativos, através de um complexo sistema que inclui as enzimas antioxidantes como a SOD, CAT e APX (Resende et al., 2012). Portanto uma maior atividade destas enzimas tendem a ser observadas no início do armazenamento, como é observado em frutos recobertos com SGly (recobrimentos biodegradáveis a base de fécula de mandioca associada a glicerol), com SNADES+O e em maior intensidade

nos frutos recobertos com SNADES (Fig. 5). A medida que ocorreu a diminuição na atividade dessas enzimas observou-se a intensificação da síntese de flavonoides amarelos e compostos fenólicos totais (Fig. 5), que foram correlacionados negativamente com a atividade da SOD e APX, respectivamente (Fig. 6).

O aumento da atividade das enzimas SOD, CAT e APX tem sido relacionado com a aliviação de estresses sofridos por mamão 'Frangi' (Shadmani et al., 2015), sendo que frutos que apresentaram maior capacidade de captura de espécies reativas de oxigênio, ou seja, apresentavam uma melhor eficiência dos seus mecanismos antioxidantes, como aqui mostrado para frutos recobertos com SNADES (Fig. 5), podem se destacar por apresentarem uma maior vida útil pós-colheita (Copas et al., 2018). Por sua vez, o acumulo de espécies reativas de oxigênio, como o H<sub>2</sub>O<sub>2</sub> no 10° dia de armazenamento em mamões sem recobrimento (C) (Fig. 5), estão relacionados com as reações degenerativas associadas ao processo de senescência dos frutos (Tian et al., 2013).

Foi demostrado que frutos sem recobrimento apresentaram incremento linear nos teores de ácido ascórbico (AsA) durante o armazenamento ao ambiente e apresentaram maiores teores quando comparado com mamões recobertos, que mantiveram os níveis de AsA praticamente estáveis durante o armazenamento (Fig. 3. A). Azene et al. (2014), reportaram comportamentos similares, com maiores níveis de AsA para mamões sem embalagem quando comparados aos embalados. Os teores de AsA tendem a aumentar durante o amadurecimento de mamão, logo frutos com elevados níveis de AsA possivelmente estão em avançado estádio de amadurecimento (Gayosso-García Sancho et al., 2011). O ácido ascórbico desempenha importante papel na desintoxicação de espécies reativas de oxigênio como o peróxido de hidrogênio (Ali et al., 2014). Dessa forma o aumento dos seus teores contribui para o aumento da capacidade antioxidante

hidrofílica do mamão (Singh and Sudhakar Rao, 2011), que aqui apresentou correlação negativa com os níveis de g g<sup>-1</sup> DPPH (Fig. 6).

Como mostrado na figura 3B e figura 5 os mamão recobertos com SNADES+O apresentaram maiores acúmulos de carotenoides (T car) durante o armazenamento ao ambiente, seguido de frutos recobertos com SNADES e SGly. Por sua vez, os mamões sem recobrimento apresentaram menor incremento nos níveis de T car. durante o armazenamento. Isso pode ser decorrente do aumento da oxidação dos T car., uma vez que esses frutos apresentaram maiores níveis de H<sub>2</sub>O<sub>2</sub> ao final do armazenamento (Fig 5) (Ramel et al., 2012). Atualmente é recomendado o aumento da ingestão de alimentos ricos em carotenoides com suplementos nutricionais, uma vez que esses apresentam uma série de benefícios a saúde, como a possibilidade de prevenção e tratamento de muitas doenças crônicas, em particular alguns tipos de câncer e doenças cardiovasculares, patologias oculares e cutâneas (Cicero and Colletti, 2017). Neste contexto, a utilização de tecnologias inovadoras e inócuas a saúde, como o recobrimento biodegradável SNADES+O, que permitem a manutenção desses compostos durante o armazenamento de mamão, são indispensáveis para o fornecimento de produtos com alto potencial funcional.

Os níveis de flavonoides amarelos (Y Flav) tiveram incremento durante o armazenamento e foram maiores nos frutos sem recobrimento e recobertos com SNADES+O (Fig. 3C). Os flavonoides atuam na prevenção da formação de radicais OH\* (Karuppanapandian et al., 2011) e seus incrementos estão relacionados com a ativação da defesa vegetal e com a coloração (Bubols et al., 2013). Llogo frutos mais estressados e com coloração de polpa mais desenvolvida tendem a ter maiores valores destes compostos. Adicionalmente, os flavonóides amarelos contribuem com o incremento dos fenólicos extraíveis totais, conforme demostrado aqui pela correlação positiva (Fig. 5).

Os teores de fenólicos extraíveis totais (TEP) dos frutos sem recobrimento tiveram redução ao final do armazenamento e apresentaram menores valores quando comparados aos frutos recobertos com SNADES, que mostraram incrementos até o 10° dia de armazenamento e com maiores valores quando comparados aos demais (Fig. 3D e Fig. 5). O aumento nos níveis de fenólicos totais tem sido associado com o aumento na atividade da enzima fenilalanina amônia-liase (PAL) que está relacionada com o sistema de defesa vegetal (Neves et al., 2015). Por sua vez, a diminuição dos teores de fenólicos totais está relacionado com uma maior atividade da enzima polifenoloxidase (PPO), responsável pela oxidação dos fenólicos (Rinaldo et al., 2010). Assim, altos teores de H<sub>2</sub>O<sub>2</sub> podem aumentar intensamente a atividade da PPO resultando em decréscimo nos teores fenólicos totais (Lin et al., 2016), como é observado em mamões sem recobrimentos (Fig. 5). A polpa de frutos tropicais ricos em fenólicos exercem capacidade de eliminação de radicais livres e protegem os glóbulos vermelhos e células de préadipose 3T3-L1 contra o estresse oxidativo, podendo serem futuramente usadas em terapias alternativas na prevenção dos distúrbios metabólicos causados pela obesidade (Septembre-Malaterre et al., 2016). Nesse contexto, a utilização de recobrimentos biodegradáveis como o SNADES que preservam o incremento dos níveis de TEP se caracteriza como uma alternativa eficiente para a manutenção da qualidade funcional do mamão durante o armazenamento ao ambiente. Na figura 5 foi demonstrado que mamões sem recobrimento apresentam redução da

616

617

618

619

620

621

622

623

624

625

626

627

628

629

630

631

632

633

634

635

636

637

638

639

640

Na figura 5 foi demonstrado que mamoes sem recobrimento apresentam redução da atividade antioxidante (ABTS\*+ e DPPH\*) no final do armazenamento na condição ambiente. Por sua vez, frutos recobertos com SNADES apresentaram maiores atividades antioxidante por ABTS\*+ (quando comparadas ao controle) e DPPH\* (quando comparado a frutos de todos os recobrimentos) no final do armazenamento ao ambiente. Ali et al. (2014), reportaram comportamento similar aos deste experimento, com decréscimo da

atividade antioxidante no final do armazenamento do mamão 'Sekaki'. A atividade antioxidante de frutos está diretamente relacionada com os níveis de compostos fenólicos (Gayosso-García Sancho et al., 2011; Ali et al., 2014), como foi aqui também reportado nas figuras 5 e 6. No entanto, a atividade antioxidante proporcionada pelos TEP depende das estruturas químicas dos compostos que estes possuem (Ali et al., 2014) e não tão somente do seu conteúdo. A atividade antioxidante também apresentou correlação positiva com os teores de AsA (Gayosso-García Sancho et al., 2011) e com Y flav (Fig. 5). Portanto, a ativação do sistema antioxidante como resposta a estresses pós-colheita, como em fruto recobertos com SNADES (Fig. 5), pode ocasionar na melhoria e manutenção das propriedades antioxidantes de frutas tropicais (Gonzalez-Aguiar et al., 2010).

O ácido oxálico tem sido reportado como uma alternativa promissora para manter a qualidade nutricional e aumentar o potencial antioxidante dos frutos, incrementando os níveis de fenólicos, atividade das enzimas antioxidantes (SOD, CAT e APX) e atividade antioxidante total (Razavi and Hajilou, 2016; Razzaq et al., 2015). Neste contexto, a adição do ácido oxálico na composição do NADES pode ter ocasionado a maior eficiência na captura das espécies reativas de oxigênio (relacionado com maior atividade das enzimas SOD, CAT e APX no início do armazenamento) de frutos recobertos com SNADES e com os maiores valores de TEP e atividade antioxidante aos 10 dias de armazenamento ao ambiente (Fig. 5).

#### 5. Conclusão

Neste trabalho foi mostrado pela primeira vez o efeito da aplicação associada de solvente natural eutetico profundo de cloreto de colina e ácido oxálico (NADES) no

metabolismo antioxidante de mamão 'Sunrise Solo' durante o armazenamento na condição ambiente.

Os mamões recobertos com fécula de mandioca combinada com NADES (SNADES) apresentaram melhor eficiência na captura do peróxido de hidrogênio (H<sub>2</sub>O<sub>2</sub>), estando isso correlacionado com a maior atividade das enzimas CAT e APX no início do armazenamento, indicando frutos em melhor estado de conservação da qualidade.

O uso de SNADES proporcionou aos 10 dias de armazenamento ao ambiente mamões de melhor qualidade funcional com maiores teores de fenólicos extraíveis totais e maior atividade antioxidante por DPPH\*. Além disso, este recobrimento agiu na preservação dos teores de ácido ascórbico, de flavonoides amarelos e da atividade antioxidante por ABTS\*+, de modo similar aos recobrimentos de fécula de mandioca com glicerol (SGly).

Nas condições deste experimento, a incorporação de óleo de laranja nos recobrimentos SNADES (SNADES+O) permitiu superiores acúmulos de carotenoides totais (T car.) durante o armazenamento dos mamões. Entretanto, propiciou menores teores de TEP e atividade antioxidante por DPPH e maior nível de H<sub>2</sub>O<sub>2</sub> no fim do armazenamento.

Em conjunto, o NADES de cloreto de colina e ácido oxálico apresenta potencial para ser incorporado a matriz polimérica como agente plastificante e funcional em recobrimentos biodegradáveis a base de fécula de mandioca, atuando na melhoria da eficiência do sistema antioxidante enzimático e no incremento de compostos bioativos (TEP e T car.) e atividade antioxidante (DPPH\*) de mamão . Adicionalmente, este trabalho abre novas perspectivas na forma como moléculas de interesse (agentes antiescurescimento, antimicrobianos, antioxidantes entre outros) podem ser incorporadas

689	mais eficientemente aos recobrimentos biodegradáveis, tendo em vista que os NADES
690	podem ser elaborados a partir de uma grande variedade de moléculas.
691	
692	6. Agradecimentos
693	Os autores, agradecem ao Conselho Nacional de Pesquisa (CNPq) pelo apoio
694	financeiro (subsídios nº 403847 / 2013-3 e nº 401515 / 2014-1), e pela bolsa para o
695	primeiro autor.
696	
697	7. Conflito de interesses
698	Não há conflitos de interesse neste documento.
699	
700	8. Referências
701	Abbott, A.P., Boothby, D., Capper, G., Davies, D.L., Rasheed, R.K., 2004. Deep Eutectic
702	Solvents formed between choline chloride and carboxylic acids: Versatile
703	alternatives to ionic liquids. J. Am. Chem. Soc. 126, 9142-9147.
704	https://doi.org/10.1021/ja048266j
705	Ademosun, A.O., Oboh, G., Olupona, A.J., Oyeleye, S.I., Adewuni, T.M., Nwanna, E.E.,
706	2015. Comparative Study of Chemical Composition, In Vitro Inhibition of
707	Cholinergic and Monoaminergic Enzymes, and Antioxidant Potentials of Essential
708	Oil from Peels and Seeds of Sweet Orange (Citrus Sinensis [L.] Osbeck) Fruits. J.
709	Food Biochem. 4514. https://doi.org/10.1111/jfbc.12187
710	Ali, A., Ong, M.K., Forney, C.F., 2014. Effect of ozone pre-conditioning on quality and
711	antioxidant capacity of papaya fruit during ambient storage. Food Chem. 142, 19-
712	26. https://doi.org/10.1016/j.foodchem.2013.07.039

- 713 AOAC Association of Official Analytical Chemistry. Official methods of analysis of
- the association of Official Analytical Chemistry, 2005. Washington, WA, 17th edn.
- 715 Atarés, L., Chiralt, A., 2016. Essential oils as additives in biodegradable films and
- 716 coatings for active food packaging. Trends Food Sci. Technol. 48, 51–62.
- 717 https://doi.org/10.1016/j.tifs.2015.12.001
- Azene, M., Workneh, T.S., Woldetsadik, K., 2014. Effect of packaging materials and
- storage environment on postharvest quality of papaya fruit. J. Food Sci. Technol. 51,
- 720 1041–1055. https://doi.org/10.1007/s13197-011-0607-6
- 721 Bocqué, M., Voirin, C., Lapinte, V., Caillol, S., Robin, J.J., 2016. Petro-based and bio-
- based plasticizers: Chemical structures to plasticizing properties. J. Polym. Sci. Part
- 723 A Polym. Chem. 54, 11–33. https://doi.org/10.1002/pola.27917
- Bradford, M.M., 1976. A rapid and sensitive method for the quantitation of microgram
- quantities of protein utilizing the principle of protein-dye binding. Anal. Biochem.
- 726 72, 248–254. https://doi.org/10.1016/0003-2697(76)90527-3
- 727 Bubols, G.B., da Rocha Vianna, D., Medina-Remon, A., von Poser, G., Maria Lamuela-
- Raventos, R., Lucia Eifler-Lima, V., Cristina Garcia, S., 2013. The Antioxidant
- Activity of Coumarins and Flavonoids. Mini-Reviews Med. Chem. 13, 318–334.
- 730 https://doi.org/10.2174/1389557511313030002
- 731 Carvalho, C., Kist, B.B., Santos, C.E., Filter, M.T. e C.F., 2017. Anuário Brasileiro da
- Fruticultura Brazilian Fruit Yearbook, Editora Gazeta.
- 733 Cicero, A.F.G., Colletti, A., 2017. Effects of Carotenoids on Health: Are All the Same?
- Results from Clinical Trials. Curr. Pharm. Des. 23, 1–1.
- 735 https://doi.org/10.2174/1381612823666170207095459

- 736 Corpas, F.J., Freschi, L., Rodríguez-ruiz, M., Mioto, P.T., González-gordo, S., 2018.
- 737 Nitro-oxidative metabolism during fruit ripening 1–15.
- 738 https://doi.org/10.1093/jxb/erx453
- 739 Dantas, A.L., Silva, S. de M., Dantas, R.L., Pereira, W.E., Lima, R.P., Mendonça,
- R.M.N., Santos, D., 2015. Influence of combined sources of nitrogen fertilization on
- quality of cv. Vitória pineapple. African J. Agric. Res. 10, 3814–3824.
- 742 https://doi.org/10.5897/AJAR2015.10182
- 743 Deng, J., Bi, Y., Zhang, Z., Xie, D., Ge, Y., Li, W., Wang, J., Wang, Y., 2015. Postharvest
- oxalic acid treatment induces resistance against pink rot by priming in muskmelon
- 745 (Cucumis melo L.) fruit. Postharvest Biol. Technol. 106, 53–61.
- 746 https://doi.org/10.1016/j.postharvbio.2015.04.005
- Falguera, V., Quintero, J.P., Jiménez, A., Muñoz, J.A., Ibarz, A., 2011. Edible films and
- coatings: Structures, active functions and trends in their use. Trends Food Sci.
- 749 Technol. 22, 292–303. https://doi.org/10.1016/j.tifs.2011.02.004
- 750 Francis, F.J., 1982. Analysis of Anthocyanins, in: Anthocyanins As Food Colors.
- 751 ACADEMIC PRESS, INC., pp. 181–207. https://doi.org/10.1016/B978-0-12-
- 752 472550-8.50011-1
- Gayosso-García Sancho, L.E., Yahia, E.M., González-Aguilar, G.A., 2011. Identification
- and quantification of phenols, carotenoids, and vitamin C from papaya (Carica
- 755 papaya L., cv. Maradol) fruit determined by HPLC-DAD-MS/MS-ESI. Food Res.
- 756 Int. 44, 1284–1291. https://doi.org/10.1016/j.foodres.2010.12.001
- 757 Gill, S.S., Tuteja, N., 2010. Reactive oxygen species and antioxidant machinery in abiotic
- stress tolerance in crop plants. Plant Physiol. Biochem. 48, 909–930.
- 759 https://doi.org/10.1016/j.plaphy.2010.08.016

- Gonzalez-Aguilar, G.A., Villa-Rodriguez, J.A., Ayala-Zavala, J.F., Yahia, E.M., 2010.
- Improvement of the antioxidant status of tropical fruits as a secondary response to
- some postharvest treatments. Trends Food Sci. Technol. 21, 475–482.
- 763 https://doi.org/10.1016/j.tifs.2010.07.004
- Han, J.H., 2014. Edible Films and Coatings: A Review, Innovations in Food Packaging:
- 765 Second Edition. Elsevier Ltd. https://doi.org/10.1016/B978-0-12-394601-0.00009-6
- 766 Higby, W.K., 1962. A Simplified Method for Determination of Some Aspects of the
- Carotenoid Distribution in Natural and Carotene-Fortified Orange Juice. J. Food Sci.
- 768 27, 42–49. https://doi.org/10.1111/j.1365-2621.1962.tb00055.x
- Huan, C., Jiang, L., An, X., Yu, M., Xu, Y., Ma, R., Yu, Z., 2016. Potential role of reactive
- oxygen species and antioxidant genes in the regulation of peach fruit development
- 771 and ripening. Plant Physiol. Biochem. 104, 294–303.
- 772 https://doi.org/10.1016/j.plaphy.2016.05.013
- Huang, H., Jing, G., Guo, L., Zhang, D., Yang, B., Duan, X., Ashraf, M., Jiang, Y., 2013.
- Effect of oxalic acid on ripening attributes of banana fruit during storage. Postharvest
- 775 Biol. Technol. 84, 22–27. https://doi.org/10.1016/j.postharvbio.2013.04.002
- Karuppanapandian, T., Moon, J.C., Kim, C., Manoharan, K., Kim, W., 2011. Reactive
- oxygen species in plants: Their generation, signal transduction, and scavenging
- 778 mechanisms. Aust. J. Crop Sci. 5, 709–725.
- Li, P., Yin, F., Song, L., Zheng, X., 2016. Alleviation of chilling injury in tomato fruit by
- 780 exogenous application of oxalic acid. Food Chem. 202, 125–132.
- 781 https://doi.org/10.1016/j.foodchem.2016.01.142
- Li, P., Zheng, X., Liu, Y., Zhu, Y., 2014. Pre-storage application of oxalic acid alleviates
- chilling injury in mango fruit by modulating proline metabolism and energy status

- 784 under chilling stress. Food Chem. 142, 72–78.
- 785 https://doi.org/10.1016/j.foodchem.2013.06.132
- Lima, A.B. de, Silva, S. de M., Rocha, A., Nascimento, L.C. do, Ramalho, F. de S., 2012.
- 787 Conservação pós-colheita de manga "Tommy Atkins" orgânica sob recobrimentos
- 788 bio-orgânicos. Rev. Bras. Frutic. 34, 704–710. https://doi.org/10.1590/S0100-
- 789 29452012000300008
- Lin, Y., Lin, H., Lin, Y., Zhang, S., Chen, Y., Jiang, X., 2016. The roles of metabolism
- of membrane lipids and phenolics in hydrogen peroxide-induced pericarp browning
- of harvested longan fruit. Postharvest Biol. Technol. 111, 53-61.
- 793 https://doi.org/10.1016/j.postharvbio.2015.07.030
- Luz Nunes, L., Pereira, M.G., Ribeiro Barros, F., De Brito Barros, G., Ferreguetti, G.A.,
- 795 2015. Novos Híbridos de Mamoeiro Avaliados nas Condições de Cultivo Tradicional
- 796 e no Semiárido Brasileiro. Rev. Bras. Frutic 37, 159–171.
- 797 https://doi.org/10.1590/0100-2945-069/14
- Lv, W.-T., Lin, B., Zhang, M., Hua, X.-J., 2011. Proline Accumulation Is Inhibitory to
- 799 Arabidopsis Seedlings during Heat Stress. Plant Physiol. 156, 1921–1933.
- 800 https://doi.org/10.1104/pp.111.175810
- 801 Mouden, S., Klinkhamer, P.G.L., Choi, Y.H., Leiss, K.A., 2017. Towards Eco-friendly
- 802 Crop protection: Natural Deep Eutectic Solvents and Defensive Secondary
- 803 Metabolites. Phytochem. Rev. 16, 935–951. https://doi.org/10.1007/s11101-017-
- 804 9502-8
- Nejadmansouri, M., Mohammad, S., Hosseini, H., Niakosari, M., 2016. Physicochemical
- properties and storage stability of ultrasound- mediated WPI-stabilized fi sh oil
- nanoemulsions. Food Hydrocoll. 61. https://doi.org/10.1016/j.foodhyd.2016.07.011

- Neves, L.C., Tosin, J.M., Benedette, R.M., Cisneros-Zevallos, L., 2015. Post-harvest
- nutraceutical behaviour during ripening and senescence of 8 highly perishable fruit
- species from the Northern Brazilian Amazon region. Food Chem. 174, 188–196.
- 811 https://doi.org/10.1016/j.foodchem.2014.10.111
- 812 Oriani, V.B., Molina, G., Chiumarelli, M., Pastore, G.M., Hubinger, M.D., 2014.
- Properties of cassava starch-based edible coating containing essential oils. J. Food
- 814 Sci. 79, 189–194. https://doi.org/10.1111/1750-3841.12332
- Paiva, A., Craveiro, R., Aroso, I., Martins, M., Reis, R.L., Duarte, A.R.C., 2014.
- 816 ChemInform Abstract: Natural Deep Eutectic Solvents Solvents for the 21st
- 817 Century. ChemInform 45, no-no. https://doi.org/10.1002/chin.201424290
- Pandey, V.P., Singh, S., Jaiswal, N., Awasthi, M., Pandey, B., Dwivedi, U.N., 2013.
- Papaya fruit ripening: ROS metabolism, gene cloning, characterization and
- molecular docking of peroxidase. J. Mol. Catal. B Enzym. 98, 98–105.
- 821 https://doi.org/10.1016/j.molcatb.2013.10.005
- Ramel, F., Birtic, S., Ginies, C., Soubigou-Taconnat, L., Triantaphylides, C., Havaux, M.,
- 823 2012. Carotenoid oxidation products are stress signals that mediate gene responses
- to singlet oxygen in plants. Proc. Natl. Acad. Sci. 109, 5535–5540.
- 825 https://doi.org/10.1073/pnas.1115982109
- 826 Razavi, F., Hajilou, J., 2016. Enhancement of postharvest nutritional quality and
- antioxidant capacity of peach fruits by preharvest oxalic acid treatment. Sci. Hortic.
- 828 (Amsterdam). 200, 95–101. https://doi.org/10.1016/j.scienta.2016.01.011
- 829 Razzag, K., Khan, A.S., Malik, A.U., Shahid, M., Ullah, S., 2015. Effect of oxalic acid
- application on Samar Bahisht Chaunsa mango during ripening and postharvest. LWT
- Food Sci. Technol. 63, 152–160. https://doi.org/10.1016/j.lwt.2015.03.069

- Repetto, M., Semprine, J., Boveris, A., 2012. Lipid Peroxidation: Chemical Mechanism,
- 833 Biological Implications and Analytical Determination, in: Lipid Peroxidation. A
- Catala (Rijeka: InTechEurope), pp. 3–30. https://doi.org/dx.doi.org/10.5772/45943
- Resende, E.C.O., Martins, P.F., de Azevedo, R.A., Jacomino, A.P., Bron, I.U., 2012.
- Oxidative processes during 'Golden' papaya fruit ripening. Brazilian J. Plant Physiol.
- 837 24, 85–94. https://doi.org/10.1590/S1677-04202012000200002
- Rinaldo, D., Mbéguié-A-Mbéguié, D., Fils-Lycaon, B., 2010. Advances on polyphenols
- and their metabolism in sub-tropical and tropical fruits. Trends Food Sci. Technol.
- 21, 599–606. https://doi.org/10.1016/j.tifs.2010.09.002
- Rivera-Pastrana, D.M., Gardea, A.A., Yahia, E.M., Martínez-Téllez, M.A., González-
- Aguilar, G.A., 2014. Effect of UV-C irradiation and low temperature storage on
- bioactive compounds, antioxidant enzymes and radical scavenging activity of papaya
- 844 fruit. J. Food Sci. Technol. 51, 3821–3829. https://doi.org/10.1007/s13197-013-
- 845 0942-x
- Ruíz-Jiménez, J.M., Zapata, P.J., Serrano, M., Valero, D., Martínez-Romero, D., Castillo,
- S., Guillén, F., 2014. Effect of oxalic acid on quality attributes of artichokes stored
- 848 at ambient temperature. Postharvest Biol. Technol. 95, 60–63.
- 849 https://doi.org/10.1016/j.postharvbio.2014.03.015
- 850 Septembre-Malaterre, A., Stanislas, G., Douraguia, E., Gonthier, M.P., 2016. Evaluation
- of nutritional and antioxidant properties of the tropical fruits banana, litchi, mango,
- papaya, passion fruit and pineapple cultivated in Réunion French Island. Food Chem.
- 853 212, 225–233. https://doi.org/10.1016/j.foodchem.2016.05.147
- 854 Shadmani, N., Ahmad, S.H., Saari, N., Ding, P., Tajidin, N.E., 2015. Chilling injury
- incidence and antioxidant enzyme activities of Carica papaya L. "Frangi" as

- influenced by postharvest hot water treatment and storage temperature. Postharvest
- 857 Biol. Technol. 99, 114–119. https://doi.org/10.1016/j.postharvbio.2014.08.004
- 858 Singh, S.P., Sudhakar Rao, D. V., 2011. Papaya (Carica papaya L.), Postharvest Biology
- and Technology of Tropical and Subtropical Fruits. Woodhead Publishing Limited.
- 860 https://doi.org/10.1533/9780857092618.86
- 861 Smith E. L., Abbott, A.P., Ryder, K.S., 2014. Deep eutectic solvents (DESs) and their
- aplications. Chem. Rev. 114, 11060–11082.
- 863 Supapvanich, S., Promyou, S., 2017. Hot water incorporated with salicylic acid dips
- maintaining physicochemical quality of "Holland" papaya fruit stored at room
- temperature. Emirates J. Food Agric. 29, 18–24. https://doi.org/10.9755/ejfa.2016-
- 866 07-966
- 867 Tian, S., Qin, G., Li, B., 2013. Reactive oxygen species involved in regulating fruit
- senescence and fungal pathogenicity. Plant Mol. Biol. 82, 593–602.
- 869 https://doi.org/10.1007/s11103-013-0035-2
- 870 Torres-Alvarez, C., Núñez González, A., Rodríguez, J., Castillo, S., Leos-Rivas, C.,
- Báez-González, J.G., 2016. Chemical composition, antimicrobial, and antioxidant
- activities of orange essential oil and its concentrated oils. CyTA J. Food 15, 1–7.
- https://doi.org/10.1080/19476337.2016.1220021
- Villa-Rodriguez, J.A., Palafox-Carlos, H., Yahia, E.M., Ayala-Zavala, J.F., Gonzalez-
- Aguilar, G.A., 2015. Maintaining Antioxidant Potential of Fresh Fruits and
- Vegetables After Harvest. Crit. Rev. Food Sci. Nutr. 55, 806-822.
- 877 https://doi.org/10.1080/10408398.2012.685631
- Wang, S.Y., Gao, H., 2013. Effect of chitosan-based edible coating on antioxidants,
- antioxidant enzyme system, and postharvest fruit quality of strawberries (Fragaria x

880 71–79. Duch.). LWT Sci. Technol. 52, aranassa Food 881 https://doi.org/10.1016/j.lwt.2012.05.003. 882 WEI, T.; VILIAM, S. R package "corrplot": Visualization of a Correlation Matrix. 883 Disponivel em: <a href="https://github.com/taiyun/corrplot">https://github.com/taiyun/corrplot</a>>. 884 Yang, Z., Zheng, Y., Cao, S., 2009. Effect of high oxygen atmosphere storage on quality, 885 antioxidant enzymes, and DPPH-radical scavenging activity of Chinese bayberry 886 fruit. J. Agric. Food Chem. 57, 176–181. https://doi.org/10.1021/jf803007j 887 Zdanowicz, M., Johansson, C., 2017. Impact of additives on mechanical and barrier 888 properties of starch-based films plasticized with deep eutectic solvents. 889 Starch/Staerke 69, 1–10. https://doi.org/10.1002/star.201700030 890 Zdanowicz, M., Johansson, C., 2016. Mechanical and barrier properties of starch-based 891 films plasticized with two- or three component deep eutectic solvents. Carbohydr. 892 Polym. 151, 103–112. https://doi.org/10.1016/j.carbpol.2016.05.061 1 1

# **CONCLUSÕES GERAIS**

Neste estudo foi demonstrado pela primeira vez o efeito da associação de solvente natural eutetico profundo de cloreto de colina e ácido oxálico (NADES) com recobrimentos a base de fécula de mandioca na fisiologia, no metabolismo antioxidante e na conservação pós-colheita de mamão 'Sunrise Solo' durante o armazenamento.

Os mamões recobertos com combinação de NADES com fécula de mandioca (SNADES) apresentaram redução na taxa respiratória, atraso no desenvolvimento da coloração amarela e manutenção da firmeza por mais tempo, indicando retardo no amadurecimento do mamão 'Sunrise Solo'. Além disso, o SNADES propiciou frutos saborosos (altos teor de SS, alta relação SS/AT, elevada percepção de sabor característico, baixa percepção de sabor estranho e alta preferência de sabor) e de excelente aparência (menor desidratação e maior brilho e elevada aceitação durante todo armazenamento).

Os mamões recobertos SNADES apresentaram melhor eficiência na captura H<sub>2</sub>O<sub>2</sub>, estando isso correlacionado com a maior atividade das enzimas CAT e APX no início do armazenamento, indicando frutos em melhor estado de conservação da qualidade. Também proporcionou mamões de melhor qualidade funcional com maiores teores de fenólicos extraíveis totais e maior atividade antioxidante por DPPH\*. A incorporação de óleo de laranja nos recobrimentos SNADES (SNADES+O) permitiu superiores acúmulos de carotenoides totais (T car.) durante o armazenamento dos mamões. Entretanto, propiciou menores teores de TEP e atividade antioxidante por DPPH\* e maior nível de H<sub>2</sub>O<sub>2</sub> no fim do armazenamento.

Em conjunto esses dados demonstram que o NADES de cloreto de colina e ácido oxálico apresenta potencial para ser incorporado a matriz polimérica como agente plastificante e funcional atuando na manutenção da qualidade e no retardo do amadurecimento, prolongando a vida útil pós-colheita de mamão 'Sunrise Solo' durante o armazenamento ao ambiente, bem como atua na melhoria da eficiência do sistema antioxidante enzimático e no incremento de compostos bioativos (TEP e T car.) e atividade antioxidante (DPPH\*).